

Ministerul Industriei Chimice
INSTITUTUL CENTRAL DE CHIMIE
CENTRUL DE CHIMIE TIMISOARA

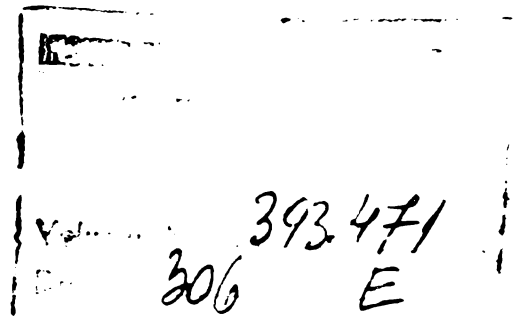
Ing.Jumanca V.Valeriu

RECUPERAREA SI VALORIZAREA UNOR
CIANHIDRINE DIN APELE REZIDUALE DE
LA FABRICAREA ACRILONITRILULUI

Teză de doctorat pentru obținerea
titlului de doctor inginer.

BIBLIOTECA CENTRALĂ
UNIVERSITATEA "POLITEHNICA"
TIMIȘOARA

CONDUCATOR STIINTIFIC
Conf.Dr.Ing.R.Vâlceanu



C U P R I N S

- INTRODUCERE -

	<u>Pag.</u>
1. DATE SEMNIFICATIVE DE LITERATURA	1
1.1. Reacțiiile asociate adiție - eliminare ale acidului cianhidric la derivații carbonilici.	1
1.2. Separarea și recuperarea cianhidrinelor din reziduurile apoase de la fabricarea acrilonitrilului.	2
1.3. Reacții secundare la separarea și recuperarea cianhidrinelor prin tratare alcalină a reziduurilor apoase de la fabricarea acrilonitrilului.	6
2. CONTRIBUTII ORIGINALE PRIVIND CINETICA SI MECHANISMELE REACTIILOR ASOCIATE ELIMINARE-ADITIE LA ACETALDEHIDCIANHIDRINA SI ACETONCIANHIDRINA.	7
2.1. Cinetica și mecanismul propus pentru reacția de adiție a acidului cianhidric la aldehida acetică în fază gazoasă.	7
2.2. Studiul eliminărilor β din acetaldehidcianhidrină și acetoncianhidrină.	15
2.2.1. Rezultate obținute	17
2.2.1.1. Efectul acidității mediului asupra descompunerii acetaldehidcianhidrinei și acetoncianhidrinei.	17
2.2.1.2. Efectul polarității mediului și dizolvantului asupra descompunerii acetaldehidcianhidrinei și acetoncianhidrinei.	18
2.2.1.3. Descompunerea acetaldehidcianhidrinei și acetoncianhidrinei în mediu bazic.	18
2.2.2. Interpretarea rezultatelor.	18
2.2.2.1. Efectul pH-ului asupra eliminării β din acetaldehidcianhidrină și acetoncianhidrină.	18

	<u>Pag.</u>
2.2.2.2. Efectul dizolvantului și al polarității mediu-lui.	23
2.2.3. Model propus pentru efectuarea măsurătorilor cinetice.	24
2.2.3.1. Măsurătorile cinetice în medii neutre acide și slab bazice.	24
2.2.3.2. Măsurătorile cinetice în medii puternic bazice.	25
2.2.4. Concluzii din studiul efectuat.	25
2.3. Cinetica reacțiilor succesiive determinate de baze tari la acetaldehidcianhidrină și acetoncianhidrină în mediu apos.	26
2.3.1. Reacțiile succesiive de eliminare și condensare aldolică la acetaldehidcianhidrină și acetoncianhidrină.	26
2.3.2. Reacțiile succesiv paralele de hidroliză a cianurii de sodiu și polimerizare a acidului cianhidric.	30
2.3.3. Modul de lucru.	33
3. CONTRIBUTII ORIGINALE PRIVIND TEHNICA SEPARARII PRIN DISTILARE A ACETALDEHIDCIANHIDRINEI SI ACETONCIANHIDRINEI DIN AMESTECURI APOASE CU POSIBILITATI DE APLICARE SI LA ALTE AMESTECURI.	35
3.1. Procedeu de distilare diferențială prin vaporizare adiabată. Relații propuse pentru calcule tehnice.	35
3.2. Procedeu de distilare în echilibru prin vaporizare adiabată. Relații propuse pentru calcule tehnice.	39
3.3. Aparate de separare prin vaporizare adiabată.	40
3.4. Procedeu de distilare prin vaporizare adiabată în trepte.	42
3.5. Posibilități de aplicare la alte amestecuri.	43
3.6. Procedeu de rectificare prin vaporizări adiabate și condensări succesiive.	44

	<u>Pag.</u>
3.7. Randamente obținute la separarea acetaldehid-	.
cianhidrinei din apele reziduale prin distila-	
re cu vaporizare adiabată.	45
3.7.1. Faza de laborator.	45
3.7.2. Faza pilot.	48
3.7.3. Faza industrială.	52
4. CONTRIBUTII PRIVIND RECUPERAREA SI VALORIZAREA	
CIANHIDRINELOR DIN REZIDUURILE APOASE.	53
4.1. Procedeu de scindare alcalină a cianhidrinelor.	53
4.2. Instalație experimentală.	54
5. CONCLUZII FINALE	56

BIBLIOGRAFIE

INTRODUCERE

Procedeele de fabricare a acrilonitrilului, atât cele care pornesc de la propilenă amoniac și aer / 1 - 14 /, cât și cele care introduc grupa nitril prin adiția acidului cianhidric la diferenți compuși / 15 - 32 /, implică, în majoritate, separarea acrilonitrilului din soluții apoase diluate și acide, provenite de la fază de absorbție a gazelor de sinteză, soluții care conțin în medie 2% acrilonitril, 0,25% cianhidrine, în general acetaldehidcianhidrină și acetonicianhidrină, exprimate în ion cian, și alți produsi. Procedeul aplicat pentru separarea produsilor de reacție din apele de absorbție, constă în antrenarea acestora cu abur în coloane de antrenare cu rectificare, urmată de fractionarea produsului brut obținut. Prin acest procedeu nu se realizează însă o separare avansată a acetaldehidcianhidrinei și acetonicianhidrinei din apele de absorbție, deoarece aceste cianhidrine, produsi greu volatili dar instabili, suferă un proces chimic reversibil de descompunere în zonele inferioare ale coloanelor, unde temperatura este mai ridicată, în produși ușor volatili, acidul cianhidric și componentul carbonilic respectiv, și reformare în zonele superioare, unde temperatura este mai coborită, proces chimic care este antagonist procesului fizic de separare prin rectificare / 33, 34 /. Ca urmare apele reziduale de antrenare conțin, pe lîngă produsi secundari și acrilonitril incomplet separați, o cantitate relativ mare de acetaldehidcianhidrină și acetonicianhidrină, în medie 0,15% exprimate în ion de CN^- . Din cauza diluției relativ mari, degă există preocupare pentru recuperarea cianhidrinelor, aceste ape reziduale foarte nocive, sănt, în general, epurate termic sau chimic împreună cu alte reziduuri cu conținut de cianhidrine rezultate la fractionarea produsului brut.

Din cele arătate reiese că recuperarea și valorificarea acetaldehidcianhidrinei și acetonicianhidrinei din apele reziduale, problemă care face obiectul acestei lucrări, este legată de separarea acestor cianhidrine incomplet realizată prin procedeele de distilare adoptate, datorită intervenției echilibrului eliminare - adiție a acidului cianhidric la componentul carbonilic respectiv. Ca urmare, s-a studiat și stabilit cinetica reacțiilor de adiție a acidului cianhidric la aldehyda acetică și acetona în fază gazoasă, în domeniul de presiune aplicată în coloanele de distilare, precum și cinetica și mecanismele reacțiilor de eliminare la acetaldehidcianhidrina și acetonicianhidrina în medii apoase neutre și acide. În

ceea ce privește separarea avansată a acetaldehidcianhidrinei din apele reziduale prin procese de distilare continuă, intervenția reacției de reformare a acesteia în fază gazoasă, implică realizarea unor viteze relativ mari de vaporizare și respectiv de separare a fazei de vapozi de fază lichidă. Aceasta s-a realizat, în mare măsură, prin vaporizare adiabatică, respectiv prin procedeele / 35, 36 / și aparatelor / 37, 38 / de "supraîncălzire - expandare - condensare" elaborate și totodată experimentate (la scară pilot și industrial) în vederea aplicării lor și la separarea altor amestecuri lichide / 39 - 42 /. Procedeele elaborate permit de asemenea, ca urmare a procesului de supraîncălzire a apelor reziduale, descompunerea rapidă a cianhidrinelor și, prin răcirea fazei de vapozi expandate, separarea și respectiv recuperarea lor într-un condensat apos. Pentru valorificarea cianhidrinelor recuperate s-a elaborat și experimentat, la scară pilot semiindustrial un procedeu de scindare alcalină a acestora, în condensatul apos obținut la distilare, și separare a componentelor carbonilice prin antrenare concomitentă cu abur / 43 /. În acest caz soluția de cianuri de sodiu rezultată să reziduu de antrenare are un conținut foarte redus de prodigi organici și poate fi utilizată ca atare, de exemplu la fabricarea clorurii de cianură, sau la generarea acidului cianhidric. Totodată, în vederea obținerii unor randamente maxime de recuperare a componentelor de scindare alcalină, s-a studiat și stabilit cinetică și mecanismele reacțiilor de eliminare la acetaldehidcianhidrina și acetona cianhidrina în mediu apos alcalinizat cu hidroxid de sodiu și respectiv, cinetica reacțiilor succeseive de eliminare și condensare aldolică determinate de acest mediu.

1. DATE SEMNIFICATIVE DE LITERATURA

1.1. Reactiile asociate aditie - eliminare ale acidului cianhidric la derivatii carbonilici.

Aditia acidului cianhidric la aldehyde si cetone este o reactie reversibila ducind la un echilibru / 44 / :



(I)

Primele studii au fost făcute de Lapworth, care constată că reacția se accelerează prin adăugare de baze sau săruri de acizi slabii și se înceștează prin adăugare de acizi. Din aceste date rezultă în primul rând că acidul cianhidric nu se aditionează sub formă de molecule. Dacă ionii H^+ și CN^- să arătă simultan, reacția ar fi trimoleculară, viteza ei ar depinde de concentrația a doi ioni și nu să arătă modifică la adăugarea unor cantități mici de baze sau săruri. Deoarece creșterea concentrației ionilor H^+ duce la micșorarea vitezei de formare a cianhidrinelor, este evident că ionii H^+ nu participă la etapa lentă a reacției. La această etapă participă ionii CN^- deoarece la creșterea concentrației acestora, viteza de formare a cianhidrinelor crește (adăugarea de baze deplasează echilibrul (I) spre dreapta) / 44 /. Actualmente este unanim recunoscut mecanismul nucleofil de aditie / 44 - 50 /. Aditia foarte lentă a acidului cianhidric la aldehyde și cetone în mediu anhidru, este atribuită de asemenea mecanismului nucleofil și gradului de disociere foarte mic în ioni al acidului cianhidric / 51 - 56 /.

In ceea ce privește reversibilitatea reacției de aditie a acidului cianhidric la aldehyde și cetone și respectiv cinetica și mecanismul reacției de eliminare, este studiată cu preponderență influența grupărilor atrăgătoare și respingătoare de electroni asupra poziției echilibrului și implicit asupra vitezelor de reacție / 57 /. În acest sens, substituentei electronegativi care ușurează eliminarea ionului H^+ din gruparea $-\text{OH}$, îngreunează separarea ionului negativ CN^- din anionul cianhidrinic, la echilibru / 57 /.

Anionul cianhidrinic se stabilizează cu astfel de substituenții față de aldehydi. Grupările respingătoare de electroni ușurează separarea ionului CN^- și implicit măresc viteză reacției de eliminare. O măsură a stabilității cianhidrinelor respectiv a reactivității aldehidelor și cetonelor față de acidul cianhidric, o cons-

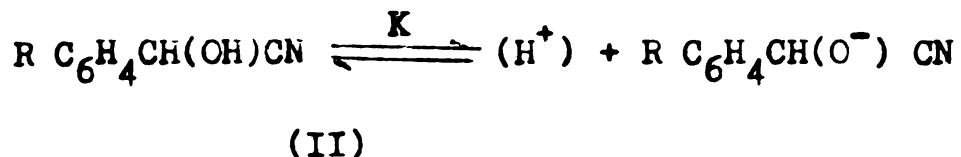
TABELUL 1 / 58 /

**Reactivitatea unor compusi carbonilici cu
acidul cianhidric la formarea cianhidrinelor**

Compus carbonilic	$K \times 10^2$ la $20^\circ C$	ΔG la $20^\circ C$ cal/mol
Acetaldehida	0,1 (aprox)	-
Benzaldehida	0,472	- 3119
O-clorbenzaldehida	0,0962	- 4045
m-clorbenzaldehida	0,250	- 3498
p-clorbenzaldehida	0,494	- 3093
p-dimetilaminobenzaldehida	39,0	- 548,4
Acetona	3,06	- 2031
Metilizopropilcetona	1,53	- 2433
Ciclopentanona	1,49	- 2449
Ciclohexanona	0,092	- 4072
α -hidrindona	610	+ 1053
α -cetotetrahidronaftalena	806	+ 1216
Acetofenona	129	+ 147,4

$$\Delta G = -RT\ln K, \text{ unde } R = 1,9864$$

tituie valoarea constantei de echilibru, K, respectiv a energiei libere de reacție calculată pe baza relației, $\Delta G = RT \ln K$. Valorile lui ΔG , respectiv K, determinate experimental pentru mai multe aldehyde și cetone, sunt redate în tabelul 1 / 58*. Cind K, este mic, ΔG , este mare și negativ ceea ce indică o stabilitate mare a cianhidrinelor, respectiv o căldură a reacției de formare, negativă (reacție exotermă). Cind K, este mare, cianhidrina se formează în cantități mici și reacția este endotermă. Informații suplimentare privind mecanismele reacțiilor asociate eliminare / 59 / - adiție, rezultă din studiul relațiilor liniare de energie liberă / 60 /. Astfel, constantele de echilibru pentru formarea cianhidrinelor din $R C_6H_4 CHO$ ($R = H, 4 - NO_2, 4 - Cl,$ $4 - OCH_3, 4 - CH_3, 4 - N(CH_3)_2$) sau $3,4 - Cl_2C_6H_3 CHO$ și acid cianhidric, precum și constantele de echilibru pentru disociația protonică la $R C_6H_4 CH(O^-)CN$, reacția (II), sau $3,4 - Cl_2C_6H_3 CH(O^-)CN$, în soluție



apoase diluate la $25^\circ C$, prezintă relație liniară de energie liberă cu $\rho^+ 1,01$ și respectiv 1,49. De asemenea pK_A -ul acestor cianhidrine reprezintă o relație liniară de energie liberă cu $\rho 0,70$. Vitezele de formare prezintă o relație liniară de energie liberă cu $\rho^+ 1,18$ iar constanta de proporționalitate ρ^+ pentru scindarea legăturii C-C de la oxianionul cianhidrinic este 0,19. Absența unui pH, la scindarea acestor cianhidrine, indică că pentru eliminarea ionului CN^- , este necesară o disociație protonică completă cu formarea oxianionului / 60 /. Acest mecanism este în acord cu creșterea stabilității cianhidrinelor în medii slab acide. Astfel, cianhidrinele care se descompun ușor pot fi stabilizate prin adăugarea unor acizi organici, cu o constantă de disociere între $10^{-2} - 10^{-5}$, precum și a unor acizi minerali / 61-67 /. Mediile puternic acide descompun însă cianhidrinele / 58 /.

1.2. Separarea și recuperarea cianhidrinelor din reziduurile apoase de la fabricarea acrilonitrilului

Procedeele de separare și recuperare a cianhidrinelor se referă, în general, la apele de absorbție a gazelor de la sinteza acrilonitrilului, precum și la unele reziduuri de distilare relativ concentrate în cianhidrine.

* Sinteză de date de literatură începând cu anul 1927.

Separarea și recuperarea acestora se realizează prin procedee de distilare și respectiv frăționare, stabilizare prin acidulare și distilare, scindare termică sau alcalină în componenta carbonilică și acid cianhidric, urmată de frăționare și scindare cu schimbători de ioni. Se redau în continuare în mod succint procedeele cele mai semnificative.

Procedeu de separare a acetaldehidcianhidrinei
din apele de absorbție a gazelor de la sinteza
acrilonitrilului /68/

Apele de absorbție conținând 2% acrilonitril și 0,26% acetaldehidcianhidrină, se distilă continuu la presiunea atmosferică într-o coloană cu umplutură și vaporii supraîncălziti. Produsul de vîrf se condensează în două straturi, stratul inferior fiind separat, acidulat cu HCl, H_2SO_4 sau H_3PO_4 și recirculat ca reflux cu coloană. Aproximativ 95% din acetaldehidcianhidrină se concentrează în partea inferioară a coloanei dacă pH-ul se menține între valorile 2 - 3,0 și numai 14,5% dacă pH-ul este 6,6.

Procedeu de separare a acetaldehidcianhidrinei
din concentrate apoase de acrilonitril / 69 /

Concentratul apos de acrilonitril conținând 2,5% acetaldehidcianhidrină și alți prodigi greu volatili, se introduc la mijlocul unei coloane de frăționare cu 14 talere de distilare care lucrează la presiunea de 140 mmHg. Componentele de scindare, respectiv acidul cianhidric și aldehida acetică, se condensează la vîrful coloanei iar o parte din condensat se utilizează ca reflux. Acrilonitrilul se colectează la talerul 6, iar la fundul coloanei se separă un concentrat de acetaldehidcianhidrină.

Procedeu de recuperare a acidului cianhidric din
reziduurile de acetaldehidcianhidrină și acrilo-
nitril /70/

Reziduurile de distilare bogate în acetaldehidcianhidrină și acrilonitril se pulverizează, în coloane fără umplutură și se stripează cu abur. Produsele care pătrăsesc coloana pe la partea superioară se condensează, prin răcire cu apă, pentru separarea acrilo-

nitrilului, și prin răcire cu solă, pentru separarea acidului cianhidric.

Procedeu de separare a acetaldehidcianhidrinei din acrilonitrilul brut și recuperare a acidului cianhidric și aldehydei acetice /71/

Acrilonitrilul brut este trecut continuu printr-o coloană de frăționare încălzită la o temperatură superioară temperaturii de fierbere a acrilonitrilului. Produsul de vîrf este supus rapid unei, frăționări în vederea separării acidului cianhidric și aldehydei acetice.

Procedeu de recuperare a acidului cianhidric din amestecurile apoase rezultate la scindarea acetaldehidcianhidrinei /72/

Acidul cianhidric se separă, din amestecuri apoase de aldehydă acetică și acid cianhidric, prin distilare frăționată cu ajutorul unui blaz de distilare prevăzut cu o coloană. În blaz, la temperatura de 55°C și la pH 0,1 - 0,5, distilă un amestec azeotropic format din acid cianhidric și aldehydă acetică. În coloană, în prezență de acizi puternici și nevolatili, aldehyda acetică trimizează continuu la paraldehydă care este reciclată în blaz, în timp ce, acidul cianhidric pur este separat la capul coloanei. Drept umplutură pentru coloană se poate utiliza un schimbător de ioni puternic acid.

Procedeu de scindare alcalină a acetoncianhidrinei și separare a acidului cianhidric și acetonei /73/

Soluția apoasă de acetoncianhidrină se stipează într-o coloană cu abur. Simultan se introduce NaOH 1%, astfel încât să se mențină pH-ul fazei apoase la valoarea 4,8. Curentul de vaporii care ieșe din coloana de stîrpare este trecut printr-o coloană cu 24 etale de distilare la care la vîrf se separă acidul cianhidric și la bază acetona. Recombinarea componentelor de scindare/ 74, 75/ este evitată prin asigurarea unui pH acid.

Procedeu de separare a acetaldehidcianhidrinei din apele reziduale rezultate la distilarea acrilonitrilului /76/

Separarea se realizează în două trepte. În prima treaptă se antrenează, cu abur, acrilonitrilul din apele de absorbție, men-

ținindu-se pH-ul între limitele valorice 2 - 4, pentru a se preveni descompunerea acetaldehidcianhidrinei. Apele reziduale rezultate se alcalinizează la pH 6,5 - 8,5 , după care se trece la treapta a două de antrenare cu abur la care la vîrful coloanei se separă acetaldehidcianhidrina.

Procedeu de scindare alcalină a acetaldehidcianhidrinei din reziduurile apoase și separare a acidului cianhidric și aldehydei acetice / 77 /

Procedeul prevede descompunerea acetaldehidcianhidrinei în prezența unor substanțe alcaline și îndepărțarea produselor de descompunere, pe măsura formării lor, prin stripare cu abur. Curentul de vaporii rezultat la stripare este condensat într-un mediu apă și acid, având pH-ul sub 3,2 pentru a se impiedica recombinarea aldehydei acetice cu acidul cianhidric.

Procedeu de separare a acetaldehidcianhidrinei din apele de absorbtie a gazelor de la sinteza acrilonitrilului / 78 /

Procedeul prevede o concentrare a acetaldehidcianhidrinei în blazul coloanelor de stripare, determinată de creșterea volatilității amestecului azeotropic acrilonitruil - apă, ca urmare a introducerii de acid cianhidric înainte și în timpul distilării. Concentrația acidului cianhidric în coloanele de stripare, la condițiile procedeului, este de 8 - 20%.

Procedeu de scindare termică a cianhidrinelor din reziduurile apoase / 79 /

Procedeul prevede eliminarea proceselor de rezinificare a cianhidrinelor, și respectiv a produselor lor de descompunere termică, în blazurile coloanelor de stripare, prin menținerea unui pH superior lui 3,4 , de preferință 5. Amestecul de vaporii care rezultă la vîrful coloanelor, se supune unei distilări succesive pen-

tru separarea acidului cianhidric și a componentelor carbonilice respective.

Procedeu de scindare a cianhidrinelor în soluții apoase prin tratare cu schimbări de ioni / 80 /

Prin trecerea soluțiilor apoase peste răsini de amoniu cuaternar, cianhidrinele se scindează și acidul cianhidric rezultat este absorbit.

1.3. Reactii secundare la separarea și recuperarea cianhidrinelor prin tratare alcalină a reziduurilor apoase de la fabricarea acrilonitrilului

Odată cu scindarea alcalină a cianhidrinelor pot interveni, funcție de compoziția reziduurilor, pH, temperatură și durată, reacții de hidroliză a nitrililor, de cianoetilare, de polimerizare a acidului cianhidric, de policondensare a componentelor carbonilice etc., reacții în general bine cunoscute. Se redau câteva date cinetice mai semnificative.

Hidroliza alcalină a nitrililor / 81 - 84 /

Din constantele de viteză ale hidrolizei acetonitrilului și acrilonitrilului la 60 - 70 - 80 - 90 - 100°C, în prezență de NaOH, rezultă că hidroliza alcalină a nitrililor, așa cum există în apele reziduale de la fabricarea acrilonitrilului, are loc după o cinetică de ordinul unu, nu numai la concentrații de NaOH mai mari de 2%, cum s-a presupus înainte, ci la orice concentrații. În ceea ce privește mecanismul de reacție, hidroliza decurge ca o reacție bimoleculară la care etapa determinată de viteză este atacul nucleofil al $\text{^{\circ}OH}$, asupra atomului de carbon din grupa funcțională nitril.

Poliomerizarea acidului cianhidric / 85 /

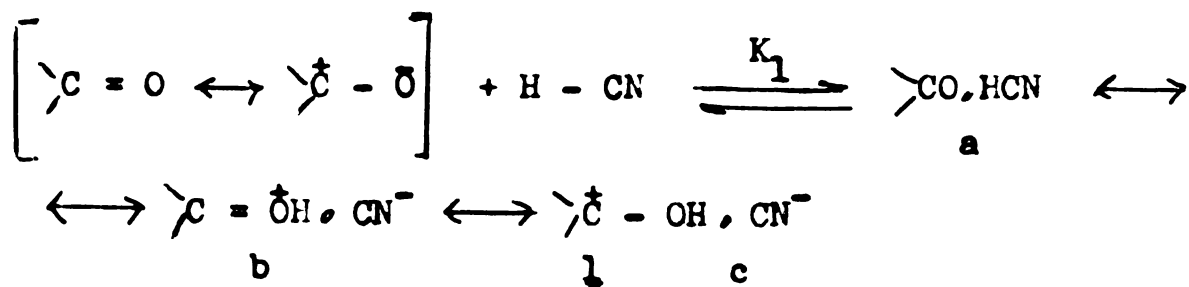
Acidul cianhidric polimerizează în prezență reactivilor alcalini cu formarea unui produs amorf brun închis. Măsurarea concentrațiilor de alcalii paralel cu pH-ul, cu ajutorul unui electrod de sticlă, arată că polimerizarea poate avea loc la pH 3 și în mod deosebit în domeniul de pH 7-9. Măsurările calorimetrice la 10-25°C indică, pentru polimerizarea acidului cianhidric, o reacție cu stare staționară. Viteza de reacție este proporțională cu concentrația alcaliilor iar energia de activare ipotetică este 9,2 Kcal/mol. Se conchiude asupra unei polimerizări anionice, inițiator fiind ionul CN^- .

2. CONTRIBUTII ORIGINALE PRIVIND CINETICA SI MECANISMELE REACTIILOR ASOCIADE ELIMINARE - ADITIE LA ACETALDEHIDCIANHIDRINA SI ACETONCIANHIDRICA.

2.1. Cinetica si mecanismul propus pentru reactia de aditie a acidului cianhidric la aldehyda acetică în fază gazoasă / 86 /

Din studiul termodinamic al reacției de adiție a acidului cianhidric la aldehydă acetică sau la acetonă rezultă că la 100°C , temperatură care interesează la separarea prin distilare a acetaldehidcianhidrinei și acetoncianhidrinei din amestecuri apoase, adiția are loc spontan. Într-adevăr, calculele arată (tabelul 2) că în cazul echilibrului (I), ΔG° are valori negative mari, indicând deplasarea echilibrului spre produsul de adiție.

După cum este cunoscut, dacă o reacție are într-adevăr loc aceasta depinde numai de vitezele de reacție. Este știut faptul că acidul cianhidric, în soluție, este un reactant mult prea slab pentru a putea reacționa cu compușii carbonilici. Pentru ca reacția să poată avea loc este nevoie, așa cum s-a arătat, de un catalizator. Evident, în fază gazoasă, în absență de catalizatori, mecanismul adiției acidului cianhidric la dubla legătură carbonilică trebuie să difere esențial de mecanismul acestei adiții în soluție. Este foarte probabil că înseși moleculele de acid cianhidric să joace în acest caz un rol de catalizator al adiției. Nu este exclus, ca într-o primă fază, acidul cianhidric să formeze complexe labili cu compușii carbonilici:



(III)

Asemenea complexe pot avea o structură mezomeră, în care polarizarea legăturii carbonilice să fie mult mai puternică decât în derivații carbonilici necomplexe. Această polarizare poate constitui motorul adiției acidului cianhidric în fază gazoasă.

În scopul de a găsi o dovedă în sprijinul formării complexului b , într-un recipient încălzit s-a injectat acid cianhidric

TABLEU 2 / 88 - 91 /

Entalpii libere de reacție standard(ΔG°) ale reacțiilor de adiție a acidului cianhidric la aldehida acetică și acetona

Reacția	ΔG° $T = 298^{\circ}\text{K}$ KJ/MOL	ΔG° $T = 400^{\circ}\text{K}$ KJ/MOL	ΔG° $T = 500^{\circ}\text{K}$ KJ/MOL
$\text{CH}_3\text{CHO} + \text{HCN} = \text{CH}_3\text{CBOHON}$	- 58,46	- 56,84	- 54,57
$(\text{CH}_3)_2\text{CO} + \text{HCN} = (\text{CH}_3)_2\text{COHCN}$	- 79,58	- 80,24	- 79,36

$$\Delta G^{\circ} = \sum \Delta G_i^{\circ} \text{ prod.} - \sum \Delta G_f^{\circ} \text{ react.}$$

$$\Delta G_f^{\circ} = \text{entalpia liberă de formare standard.} / 88 /$$

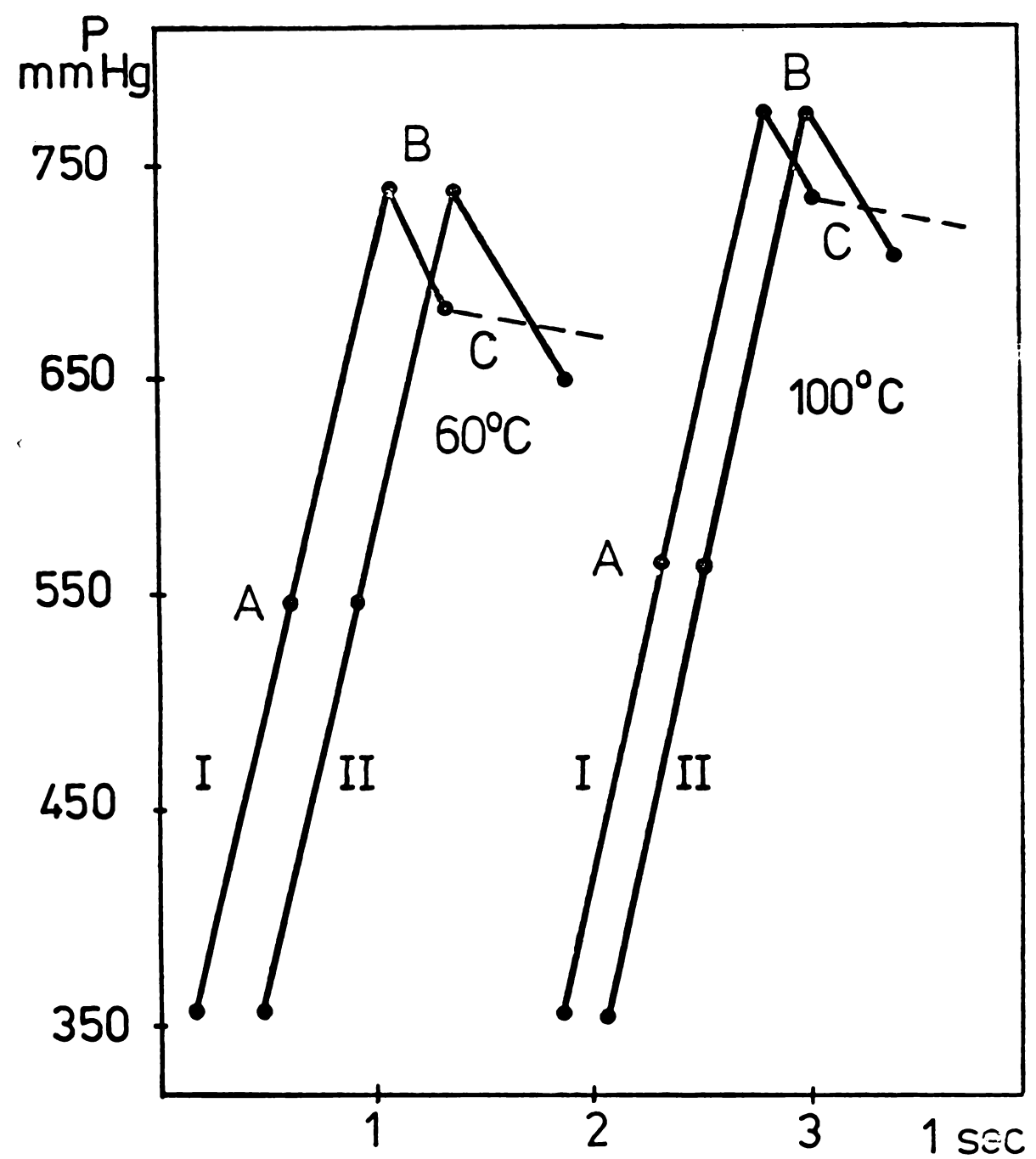
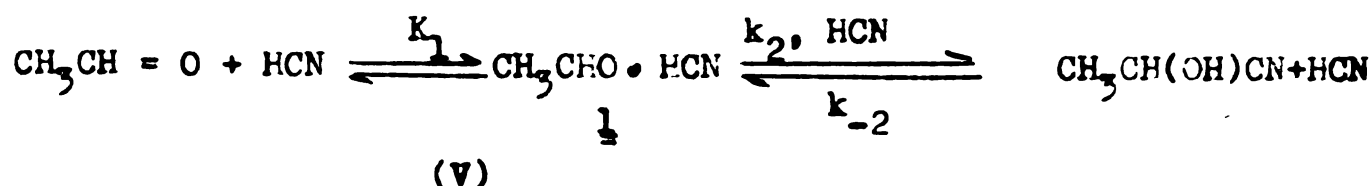
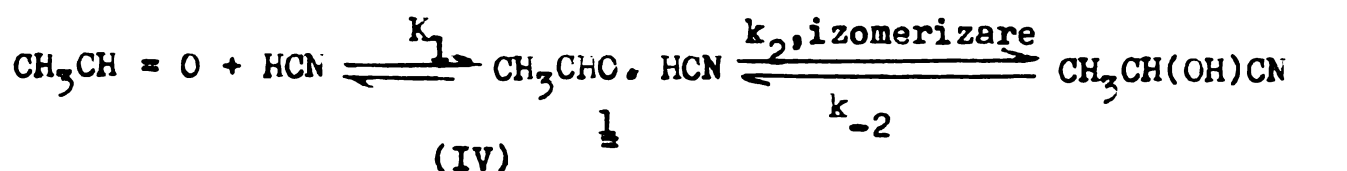


Fig.1 Variația presiunii la injectarea succesivă
în recipient a acidului cianhidric și aldehydei
acetice(I) și a acidului cianhidric și acetonei(II)
A-presiunea primului component
B-presiunea amestecului
(B-C)-scăderea rapidă de presiune

și aldehidă acetică, respectiv acetonă, în raport molar 1 : 1. Se constată în ambele cazuri o scădere rapidă a presiunii amestecului gazos, mai pronunțată la amestecul acid cianhidric - acetonă și la temperaturi mai scăzute (fig.1). În cazul amestecului acetonă - acid cianhidric, după stabilirea rapidă a presiunii în amestec, presiunea rămâne constantă. Nu se formează cianhidrină; analiza spectrală (IR) a amestecului gazos arată numai benzile caracteristice ale acidului cianhidric și ale acetonei. La amestecul acid cianhidric - aldehidă acetică, prima etapă de scădere rapidă a presiunii, respectiv de formare a complexului molecular, este urmată de o a doua etapă de scădere lentă a presiunii. Dar fiind că în acest caz se detectează formarea de acetaldehidcianhidrină, etapa aceasta poate fi considerată etapa formării produsului de adiție la dubla legătură carbonilică (fig.2).

Scăderea presiunii amestecului gazos după injectarea celor două componente poate fi desigur interpretată în favoarea formării complexului molecular $\underline{\text{I}}$. Faptul că analiza spectrală (IR) nu permite identificarea unei modificări a grupei carbonilice pare însă, să infirme această supozitie. Totuși, schema (III) poate fi corectă și dacă: a) constanta K_1 în echilibrul (III) este mult prea mică pentru a permite detecția prin (IR) a complexului $\underline{\text{I}}$; b) modificarea repartiției electronice în grupa carbonil din complexul $\underline{\text{I}}$ diferă mult prea puțin de repartiția inițială pentru a produce o schimbare radicală a spectrului (IR), respectiv structura "a" în complexul $\underline{\text{I}}$ are ponderea cea mai mare.

În continuare s-a studiat cinetica adiției acidului cianhidric la aldehida acetică. Se pot imagina două mecanisme diferite (IV) și (V), ambele presupunând formarea unui complex în etapa rapidă, astă cum sugerează experiența descrisă:



Cele două mecanisme trebuie să se diferențieze prin cinetica lor.

În cazul mecanismului (IV) la concentrații inițiale egale ale celor doi reactanți $[\text{CH}_3\text{CHO}] = [\text{HCN}] = a$, respectiv la $x \text{ mol/l}$ de reactanți transformați în acetaldehidcianhidrină la $t = t_0$,

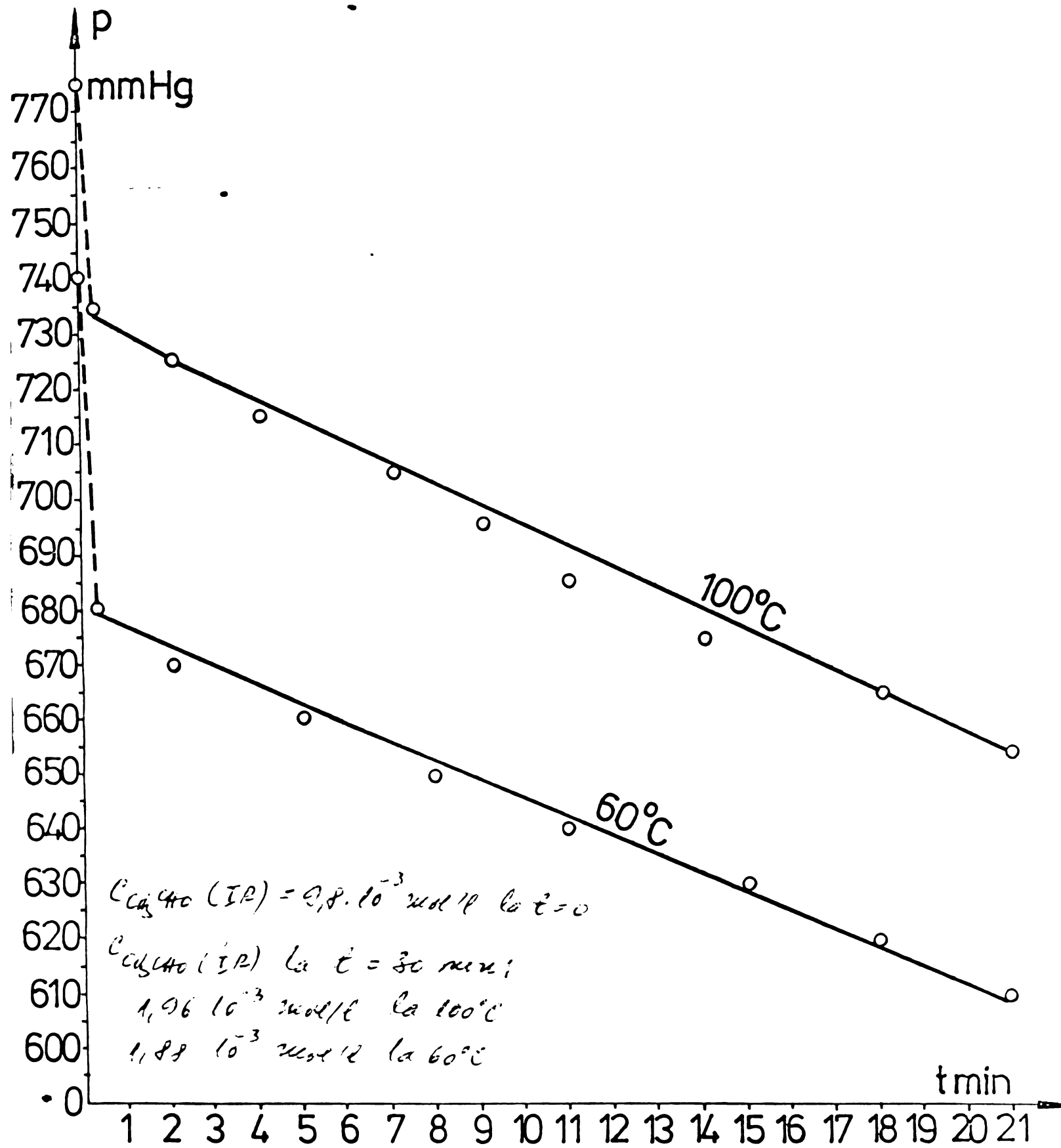


Fig.2 Desfășurarea reacției de adiție a acidului cianhidric la aldehida acetică la temperatura de 60°C și 100°C

ecuația de viteze a reacției reversibile de formare a cianhidrinei este dată de expresia:

$$\frac{dx}{dt} = k_1 k_2 (a - x)^2 - k_{-2} x$$

respectiv:

$$\frac{dx}{dt} = k_3^1 (a - x)^2 - k_{-3} x \quad (1)$$

La atingerea stării de echilibru ecuația (1) devine:

$$(\frac{dx}{dt})_{\text{ech.}} = k_3^1 (a - x_e)^2 - k_{-3} x_e = 0$$

respectiv:

$$K = \frac{k_3^1}{k_{-3}} = \frac{x_e}{(a-x_e)^2} \quad (2)$$

în care:

x_e - concentrația la echilibru a cianhidrinei

K - constanta de echilibru

Prin rezolvarea ecuației (1) se obține:

$$\frac{dx}{dt} = (k_3^1 - k_{-3}) \left[\frac{k_3^1}{k_3^1 - k_{-3}} \cdot x^2 - \frac{2ak_3^1 + k_{-3}}{k_3^1 - k_{-3}} \cdot x + \frac{k_3^1}{k_3^1 - k_{-3}} \cdot a^2 \right] \quad (3)$$

Introducind constanta K, ecuația (3) devine:

$$\frac{dx}{dt} = (k_3^1 - k_{-3}) \left[\frac{K}{K-1} \cdot x^2 - \frac{2ak+1}{K-1} \cdot x + \frac{ka^2}{K-1} \right] \quad (4)$$

Rădăcinile ecuației de gradul al doilea dintre acolade, sunt:

$$m_{1,2} = \frac{(2ak+1) \pm \sqrt{4ak+1}}{2K} \quad (5)$$

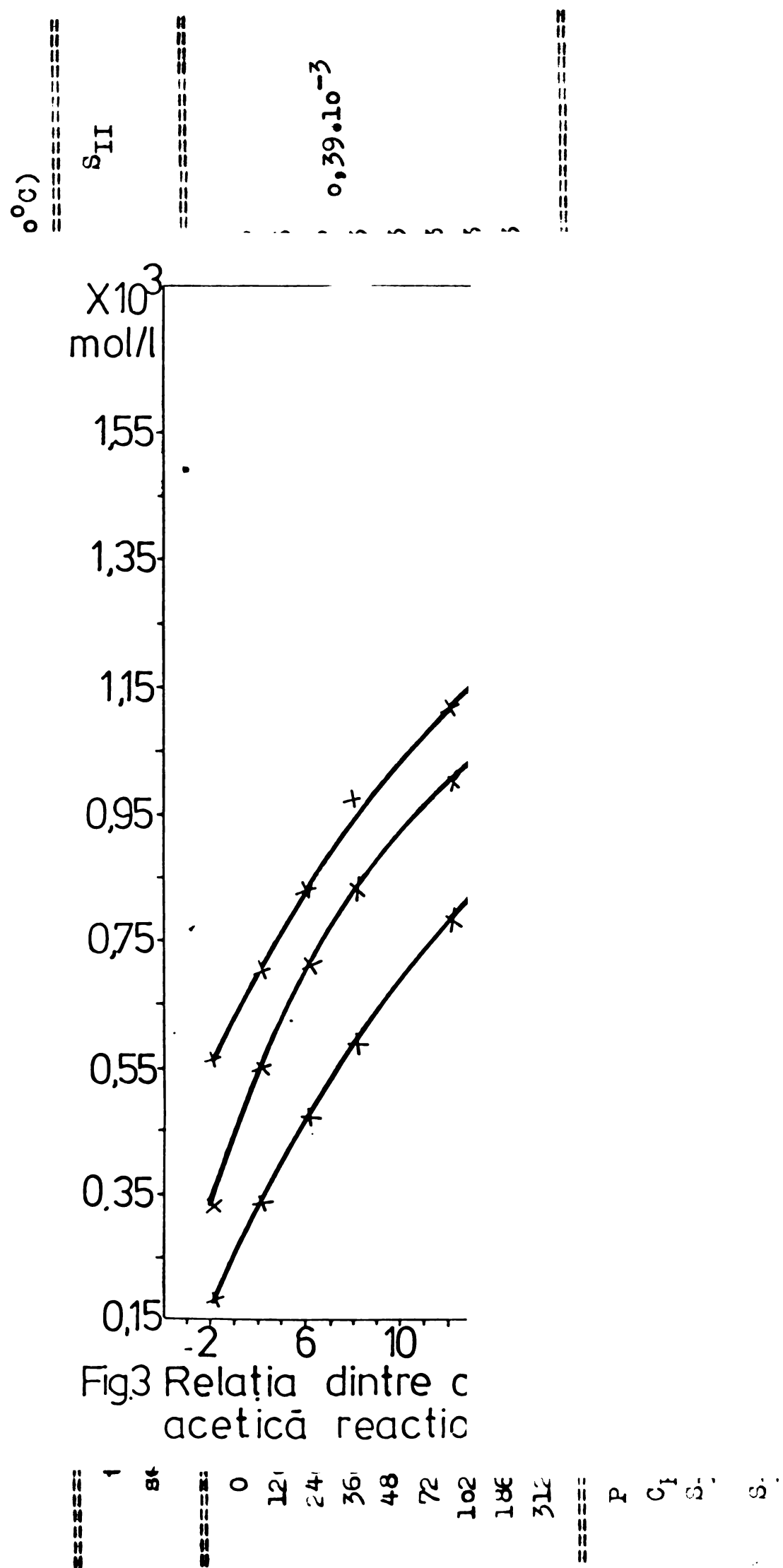
Expresia dintre acolade poate fi exprimată ca un produs de doi factori. Utilizând rădăcinile m_1 și m_2 ecuația (4) devine:

$$\frac{dx}{dt} = (k_3^1 - k_{-3}) (m_1 - x) (m_2 - x) \quad (6)$$

respectiv prin separarea variabilelor:

$$\int_0^x \frac{dx}{(m_1 - x)(m_2 - x)} = (k_3^1 - k_{-3}) \int_0^t dt \quad (7)$$

Se aduce la o formă integrabilă:



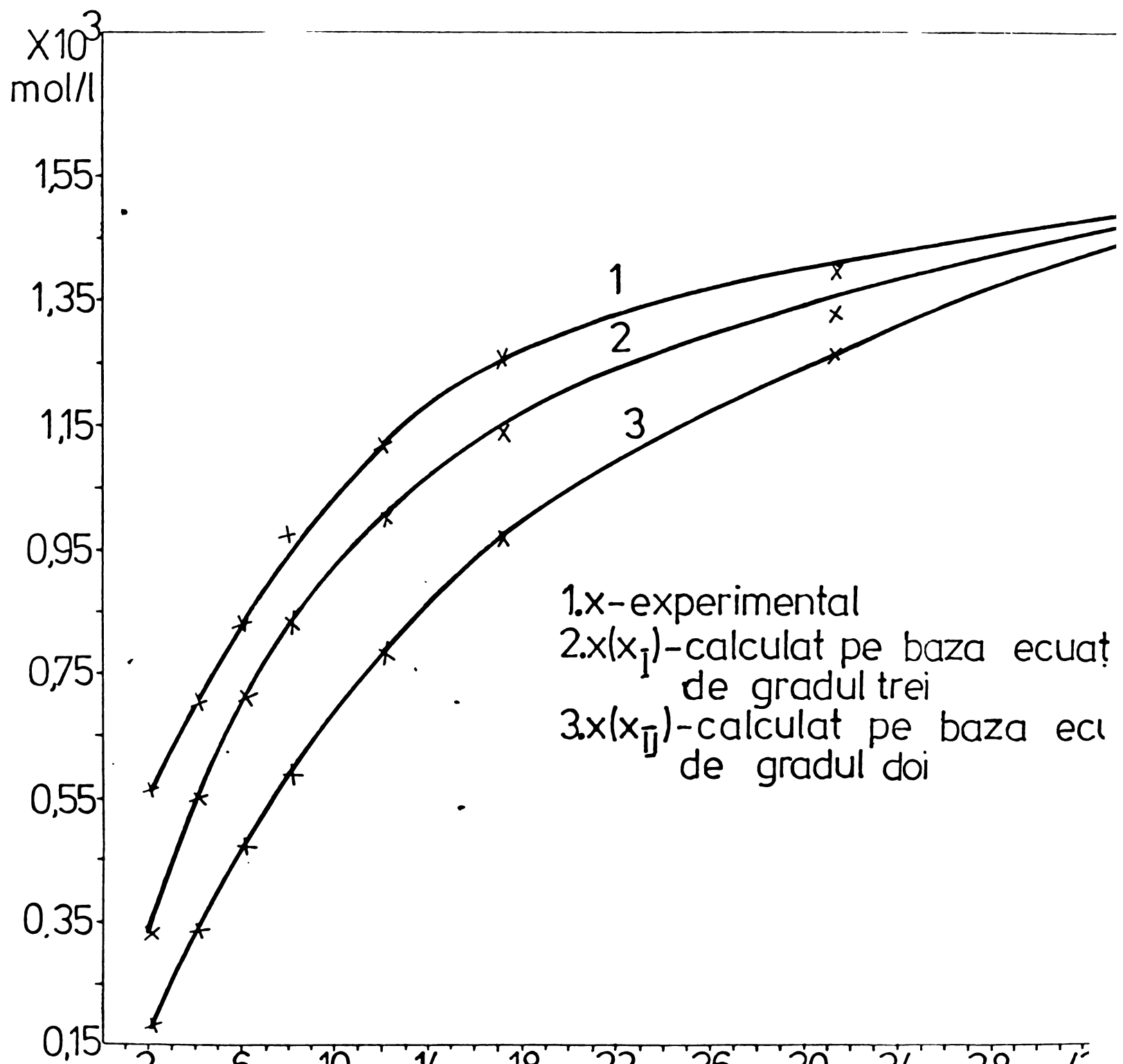
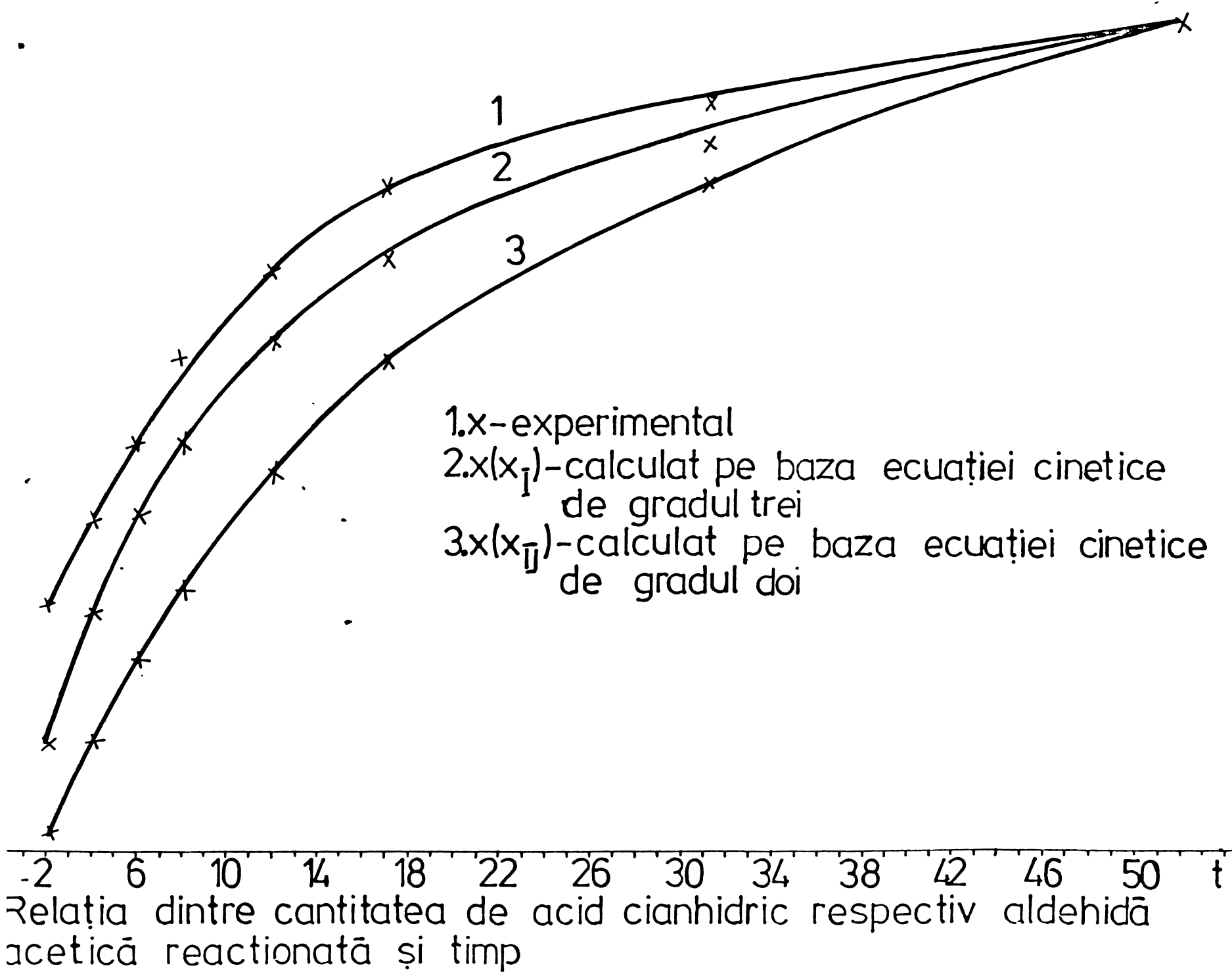
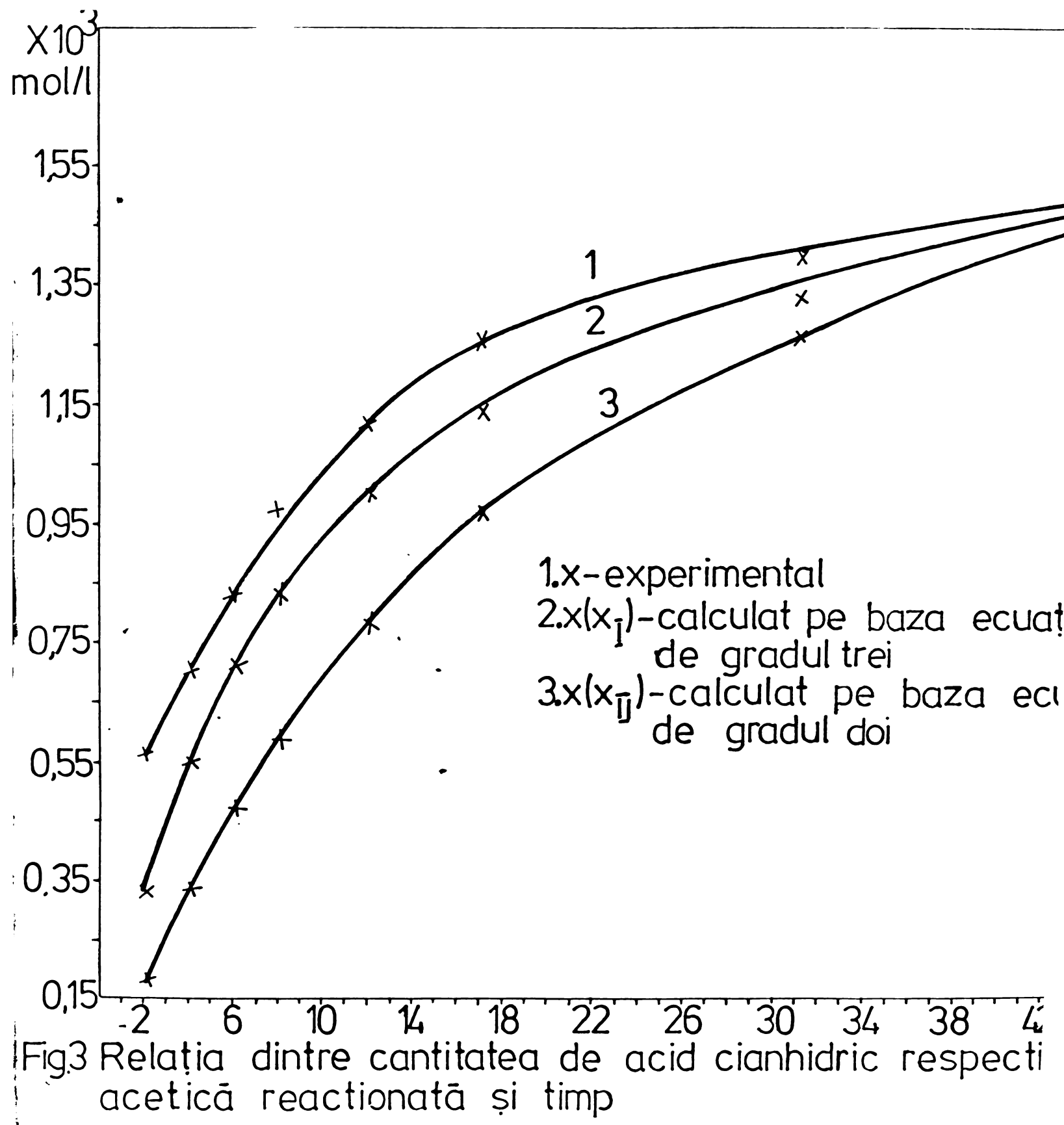


Fig.3 Relația dintre cantitatea de acid cianhidric respectiv acetică reactionată și timp





TABELUL 3Verificarea experimentală a ecuațiilor cinetice (IV) și (V) ($T = 200^\circ\text{C}$)

t sec.	P atm	C_{HCN} (a-m) mol/l	x x_I mol/l	$s_I/92/$ s_{II} mol/l
0	0,20	$2,74 \cdot 10^{-3}$	0	0
120	0,18	$2,19 \cdot 10^{-3}$	$0,55 \cdot 10^{-3}$	$0,17 \cdot 10^{-3}$
240	0,175	$2,05 \cdot 10^{-3}$	$0,69 \cdot 10^{-3}$	$0,32 \cdot 10^{-3}$
360	0,170	$1,92 \cdot 10^{-3}$	$0,82 \cdot 10^{-3}$	$0,46 \cdot 10^{-3}$
480	0,165	$1,78 \cdot 10^{-3}$	$0,96 \cdot 10^{-3}$	$0,57 \cdot 10^{-3}$
720	0,160	$1,64 \cdot 10^{-3}$	$1,10 \cdot 10^{-3}$	$0,77 \cdot 10^{-3}$
1020	0,155	$1,50 \cdot 10^{-3}$	$1,24 \cdot 10^{-3}$	$0,95 \cdot 10^{-3}$
1460	0,150	$1,36 \cdot 10^{-3}$	$1,38 \cdot 10^{-3}$	$1,24 \cdot 10^{-3}$
3120(t_∞)	0,145	$1,22 \cdot 10^{-3}$	$1,52 \cdot 10^{-3}$	$1,52 \cdot 10^{-3}$

P – presiunea amestecului gazos

 C_{HCN} – concentrația acidului cianhidric, respectiv a sălăbidielui acetice $s_I/92/$ – abaterea medie patratnică a datelor experimentale față de ecuația cinetică de ordinul doi. s_{II} – abaterea medie patratnică a datelor exper. față de ecuația cinetică de ordinul trei.

$$\frac{1}{(m_1-x)(m_2-x)} = \frac{1}{m_2-m_1} \cdot \frac{1}{m_1-x} + \frac{1}{m_1-m_2} \cdot \frac{1}{m_2-x}$$

respectiv:

$$\int_0^x \frac{dx}{(m_1-x)(m_2-x)} = \frac{1}{m_2-m_1} \int_0^x \frac{dx}{m_1-x} + \frac{1}{m_1-m_2} \int_0^x \frac{dx}{m_2-x}$$

In acest caz integrind ecuația (7) se obține:

$$\frac{1}{m_1-m_2} \ln \frac{m_1}{m_2} - \frac{|m_1-x|}{|m_2-x|} = (k_3^1 - k_{-3}) t \quad (8)$$

respectiv:

$$x = \frac{\frac{m_1 m_2}{m_1} \left[e^{(m_1-m_2)} (k_3^1 - k_{-3}) t - 1 \right]}{m_1 e^{(m_1-m_2)} (k_3^1 - k_{-3}) t - m_2} \quad (9)$$

Determinarea diferenței $(k_3^1 - k_{-3})$ se face din condițiile de echilibru $t = t_\infty$ și $x = x_e$, respectiv:

$$(k_3^1 - k_{-3}) = \frac{1}{t_\infty} \cdot \frac{1}{m_1 - m_2} \ln \frac{m_2}{m_1} \cdot \frac{|m_1 - x_e|}{|m_2 - x_e|} \quad (10)$$

In baza datelor experimentale (tabelul 3) și a relațiilor (2), (5), (10) și (9) se obține (pentru temperatura de 200°C):

$$K = 1,0212 \cdot 10^3 \text{ l/mol}$$

$$k_3^1 = 2,34 \cdot 10^{-1} \text{ l/mol} \cdot \text{s}$$

$$k_{-3} = 2,78 \cdot 10^{-4} \text{ s}^{-1}$$

$$x_I = \frac{7,2643 \left[e^{984,622 \cdot 10^{-6} t} - 1 \right]}{4,939 e^{984,622 \cdot 10^{-6} t} - 0,2859} \cdot 10^{-3} \text{ mol/l} \quad (11)$$

După cum rezultă din fig. 3 și tabelul 3, soluția x_I , respectiv ecuația cinetică (IV) nu este în acord cu datele experimentale. In cazul mecanismului (V), în condiții similare, ecuația de viteză a reacției reversibile de formare a acetaldehidcianhidrinei este dată de expresia:

$$\frac{dx}{dt} = K_1 k_2 (a - x) (a - x)^2 - k_{-2} x (a - x)$$

respectiv:

$$\frac{dx}{dt} = k_2^1 (a-x)^3 - k_{-2} x(a-x) \quad (12)$$

La atingerea stării de echilibru ecuația (12) devine:

$$\left(\frac{dx}{dt} \right)_{\text{ech.}} = k_2^1 (a-x_e)^3 - k_{-2} x_e (a-x_e) = 0$$

respectiv:

$$k = \frac{k_2^1}{k_{-2}} = \frac{x_e}{(a-x_e)^2}$$

Separind variabilele, ecuația (12) se scrie:

$$\int_0^x \frac{dx}{k_2^1 (a-x)^3 - k_{-2} x(a-x)} = \int_0^t dt \quad (13)$$

Exprimând ecuația de la numitor ca produsul diferențelor dintre variabile și rădăcinile sale și dând în factor comun diferența ($k_2^1 - k_{-2}$), ecuația (13) devine:

$$\int_0^x \frac{dx}{(a-x)(m_1-x)(m_2-x)} = (k_2^1 - k_{-2}) \int_0^t dt \quad (14)$$

în care, m_1 și m_2 se calculează conform relației (5). Se aduce la o formă integrabilă:

$$\frac{1}{k_2^1 (a-x)^3 - k_{-2} x(a-x)} = \frac{1}{(a-x)[k_2^1 (a-x)^2 - k_{-2} x]} = \frac{1}{(a-x)(m_1-x)(m_2-x)}$$

respectiv:

$$\frac{1}{(a-x)(m_1-x)(m_2-x)} = \frac{A}{a-x} + \frac{B}{m_1-x} + \frac{C}{m_2-x} \quad (15)$$

Aplicând metoda egalării coeficienților se obține:

$$A = \frac{\Delta_A}{\Delta_0}; \quad B = \frac{\Delta_B}{\Delta_0}; \quad C = \frac{\Delta_C}{\Delta_0}$$

în care:

$$\begin{aligned} \Delta_A &= m_1 - m_2 \\ \Delta_B &= (a - m_2) \end{aligned}$$

$$\Delta_C = a - m_1$$

$$\Delta_o = m_1 m_2 (m_1 - m_2) + a m_1 (a - m_1) - a m_2 (a - m_2)$$

Înlocuind înlocuirile, relația (15) devine:

$$\frac{1}{(a-x)(m_1-x)(m_2-x)} = \frac{1}{\Delta_o} \left[\frac{\Delta_A}{a-x} + \frac{\Delta_B}{m_1-x} + \frac{\Delta_C}{m_2-x} \right]$$

In acest caz ecuația (14) se scrie:

$$\int_0^x \frac{1}{\Delta_o} \left[\frac{\Delta_A}{a-x} + \frac{\Delta_B}{m_1-x} + \frac{\Delta_C}{m_2-x} \right] dx = (k_2^1 - k_{-2}) \int_0^t dt \quad (16)$$

Integrind ecuația (16) se obține:

$$\ln \frac{\left(\frac{m_1-x}{m_1}\right)^{\frac{a-m_2}{\Delta_o}}}{\left(\frac{a-x}{a}\right)^{\frac{m_1-m_2}{\Delta_o}} \left(\frac{m_2-x}{m_2}\right)^{\frac{a-m_1}{\Delta_o}}} = (k_2^1 - k_{-2}) t \quad (17)$$

Determinarea lui $(k_2^1 - k_{-2})$ se face din condițiile de echilibru, respectiv:

$$(k_2^1 - k_{-2}) = \frac{1}{t_\infty} \ln \frac{\left(\frac{m_1-x_e}{m_1}\right)^{\frac{a-m_2}{\Delta_o}}}{\left(\frac{a-x_e}{a}\right)^{\frac{m_1-m_2}{\Delta_o}} \left(\frac{m_2-x_e}{m_2}\right)^{\frac{a-m_1}{\Delta_o}}} \quad (18)$$

In baza datelor experimentale (tabelul 3) se obține (pentru temperatură de $200^\circ C$):

$$K = 1,0212 \cdot 10^3 \text{ l/mol}$$

$$k_2^1 = 1,70 \cdot 10^2 \text{ l}^2/\text{mol}^2 \text{ s}$$

$$k_{-2} = 1,66 \cdot 10^{-1} \text{ l/mol s}$$

$$\ln \frac{\left(\frac{1 - 4,939 \cdot 10^{-3} - x}{4,939 \cdot 10^{-3}}\right)^{1,2692} \left(\frac{1,4708 \cdot 10^{-3} - x}{1,4708 \cdot 10^{-3}}\right)^{2,199}}{\left(\frac{2,74 \cdot 10^{-3} - x}{2,74 \cdot 10^{-3}}\right)^{3,4682}} = -1,644,7266 \cdot 10^{-6} t \quad (19)$$

TABELUL 4
**Constantele de viteză la $T = 185^{\circ}\text{C}$, calculate din condițiile
 de echilibru pe baza ecuației cinetice (12)**

t	P	x	C_{HCl} $(a - x)$	$\frac{M\text{ol}}{L}$
0	0,195	0	$2,74 \cdot 10^{-3}$	$2,74 \cdot 10^{-3}$
90	0,18	$0,42 \cdot 10^{-3}$	$2,32 \cdot 10^{-3}$	$0,42 \cdot 10^{-3}$
150	0,175	$0,56 \cdot 10^{-3}$	$2,18 \cdot 10^{-3}$	$0,56 \cdot 10^{-3}$
300	0,165	$0,84 \cdot 10^{-3}$	$1,90 \cdot 10^{-3}$	$0,84 \cdot 10^{-3}$
540	0,160	$0,98 \cdot 10^{-3}$	$1,76 \cdot 10^{-3}$	$0,98 \cdot 10^{-3}$
1320	0,145	$1,40 \cdot 10^{-3}$	$1,34 \cdot 10^{-3}$	$1,40 \cdot 10^{-3}$
3120(t_{∞})	0,140	$1,54 \cdot 10^{-3}(x_0)$	$1,2 \cdot 10^{-3}$	$1,54 \cdot 10^{-3}(x_0)$

Ecuatia (19) avind o formă transcendentală, x nu se poate explicita. Valorile lui x respectiv x_{II} (tabelul 3) s-au determinat prin rezolvarea numerică (la calculator) a ecuației (19), prin metoda înjumătățirii intervalului.

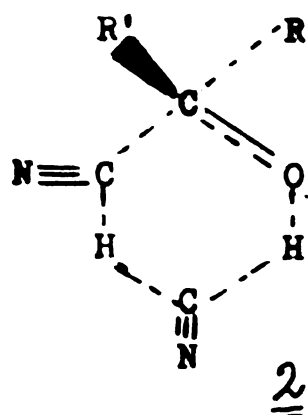
După cum rezultă din figura 3 și tabelul 3, soluția x_{II} , respectiv ecuația cinetică de ordinul trei (12), este destul de bine verificată de datele experimentale.

Verificarea relației (12) nu indică cu certitudine că mecanismul de reacție este mecanismul (V), implicând formarea complexului molecular \underline{I} . O cinetică similară ar fi putut fi observată și dacă mecanismul formării cianhidrinei ar presupune o ciocnire trimoleculară între reactanți. O dovadă suplimentară în favoarea mecanismului (V) s-a obținut din examinarea variației constanțelor de viteză cu temperatură. Este știut faptul că ridicarea temperaturii produce o accelerare a vitezelor de reacție. Rezultatele experimentale obținute (tabelul 4) arată însă o scădere a constanțelor de viteză cu creșterea temperaturii. O astfel de observație nu poate fi rationalizată decât dacă se admite mecanismul (V). Într-adevăr, pe baza mecanismului (V) se poate ugă demonstra:

$$k_2^1 = k_2 K_1$$

Constanta de viteză k_2 , așa cum este normal, va crește cu temperatura. Creșterea temperaturii va favoriza însă disocierea complexului \underline{I} , K_1 va descrește. Efectul global observat ar putea fi o creștere ugoară sau chiar o scădere a constanțelor de viteză observate k_2^1 odată cu creșterea temperaturii / 87 /. Această observație din urmă este probabil observația cea mai convingătoare în favoarea formării complexului molecular \underline{I} .

In ceea ce privește structura stării de tranziție a etapei determinante de viteză, rezultatele obținute sunt încă insuficiente pentru a permite tragerea unei concluzii cerne. Este foarte probabil o stare de tranziție ciclică, $\underline{2}$.



Adoptarea unei astfel de structuri a stării de tranziție explică satisfăcător necesitatea incluziei a două molecule de acid cianhidric în stare de tranziție. Cele două molecule exercită un efect de "push-pull" asupra legăturii carbonilice/ 45, 46/, urmărind polarizarea acesteia. Starea de tranziție și poate explica și neractivitatea acetonei; două grupe voluminoase R și R', cum sunt grupele metil, se pot opune adoptării structurii . Dacă R' = H, cerințele sterice sunt mult mai mici iar starea de tranziție și se poate forma. În orice caz o asemenea interpretare necesită și alte dovezi.

Determinările experimentale:

Intr-o cuvă de gaz pentru analiză la spectrofotometru (IR), având volumul de 0,170 l și presiunea inițială de 355 mmHg, prevăzută cu un sistem de încălzire, termometru și racord la o coloană cu mercur, s-au injectat pe rînd în raport molar 1:1, 0,065 ml acid cianhidric lichid și 0,095 ml aldehidă acetică lichidă, respectiv $1,67 \cdot 10^{-3}$ mol (tabelul 5). Experimentările s-au condus la temperaturile de 60°C și 100°C , temperaturi care pe întreaga durată a experimentelor s-au menținut constante. După injectarea fiecărui component presiunea în cuvă a crescut cu cîte 193 mmHg la 60°C , respectiv cu cîte 210 mmHg la 100°C (fig.1). Presiunile inițiale ale amestecurilor gazoase de 741 mmHg la 60°C și 775 mmHg la 100°C , au scăzut în prima etapă rapid, în cîteva secunde, cu 40 mmHg la experimentările la 100°C și 60 mmHg la cele la 60°C , după care au scăzut lent, cu circa 10 mmHg la 2-3 minute (fig.1 și fig.2).

În domeniul de temperaturi 60 - 100°C , variațiile de presiune nu se coreleză cu concentrațiile, deoarece acetaldehidcianhidrina condensează (tabelul 5). Cinetica aparentă de ordinul zero (fig.2) se datorează în acest caz, în cea mai mare măsură, procesului de condensare a acetaldehidcianhidrinei. Ca urmare formarea acetaldehidcianhidrinei s-a urmat calitativ prin înregistrări succesive. La experimentările cu acetonă și acid cianhidric scăderile rapide de presiune la aceleasi concentrații molare și presiune inițială, au fost de 70 mmHg la 100°C și 90 mmHg la 60°C , după care timp de 30 minute, cît s-au urmat probele, presiunile au rămas invariabile (fig.1). La ambele experimentări nu apare acetoncianhidrina în spectrul (IR).

Pentru efectuarea măsurărilor cinetice în fază omogenă, s-a lucrat în domeniul de temperaturi 185 - 200°C . Experimentările s-au făcut la un recipient metalic, având volumul de 0,610 l și presiunea inițială cea atmosferică, prevăzut cu un sistem de în-

TABEULĂ 5 - 92 - 95 - 4

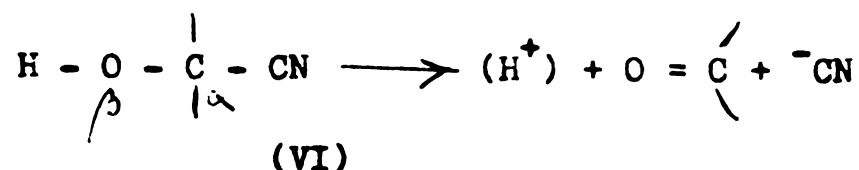
Constante fizice ale cianhidrinelor studiate
și ale componentelor acestora

Produs	T_f	D_4^0	M
O_C			6
CH_3CHO	20,1	0,7830	44,050
$(CH_3)_2CO$	56,1	0,7906	58,078
HCN	25,6	$D_4^{18} = 0,6969$	27,026
		$D_4^0 = 0,7156$	
$CH_3CHOHCN$	180	0,9877	71,080
cu descomp.			
$(OH_3)_2COHCO$	90	0,9320	85,100
la 20 mmHg	la 20 mmHg		

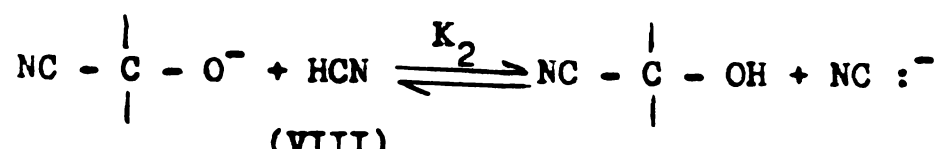
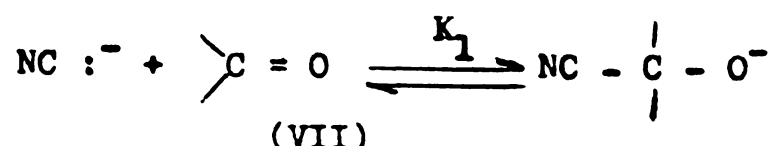
călzire, manometru de înaltă precizie și termometru. S-au injectat aceleasi cantități de acid cianhidric și aldehidă acetică. După injectarea fiecărui component presiunea în recipient a crescut cu cîte 0,10 at la temperatura de 200°C și 0,0975 at la temperatura de 185°C . Presiunea inițială a amestecului gazos a fost de 0,20 respectiv 0,195 at. (tabelul 3). Temperatura pe întreaga durată a experimentării, s-a menținut constantă. Formarea acetaldehidcianhidrinei s-a urmărit prin scăderea presiunii. Concentrațiile la timpii date s-au calculat pe baza presiunilor măsurate, avîndu-se în vedere raportul dintre reacții și produs. Diferențele între concentrațiile în cianhidrină, x , calculate pe baza presiunilor măsurate (tabelul 3 și fig. 3) și concentrațiile în cianhidrină, x_{II} , calculate pe baza relației (19) stabilită din condițiile finale ale reacției, se datorează probabil efectului cumulativ de scădere a presiunii la formarea complexului de asociere moleculară și respectiv la formarea cianhidrinei. Adiția acidului cianhidric la acetona nu a avut loc, după cum era de așteptat, nici la temperatura de 200°C .

2.2. Studiul eliminărilor β din acetaldehidcianhidrină și acetona cianhidrină / 96 /

Descompunerea cianhidrinelor în derivați carbonilici și acid cianhidric (VI) poate fi privită drept o eliminare β :



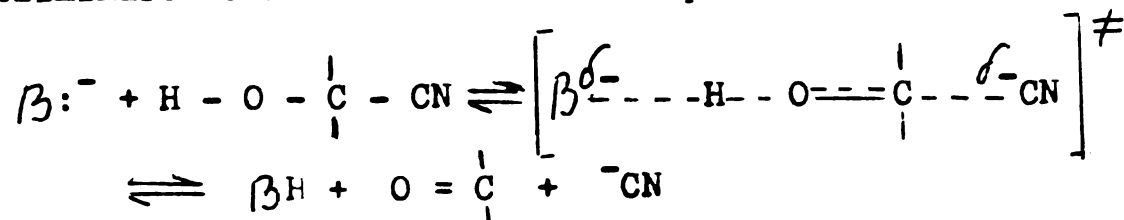
In realitate reacția (VI) nu este decît inversul reacției de obținere a cianhidrinelor prin adiția catalizată de ion cian a acidului cianhidric la derivați carbonilici / 45, 46 / :



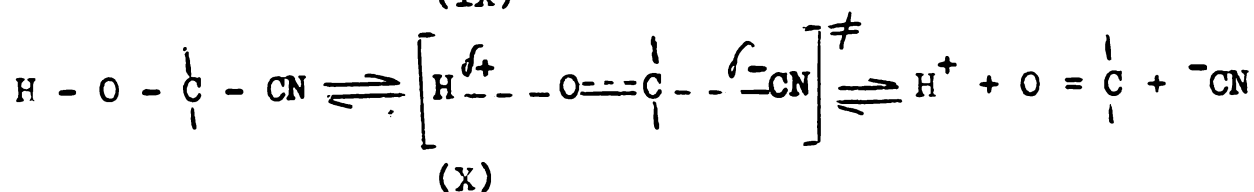
Reacțiile de eliminare β pot decurge după trei mecanisme / 45, 97 / :

1. Mecanism prin rupere sincronă a grupelor care se eli-

mină; acest mecanism intervine cel mai frecvent în eliminările bazice (grupa din β este un proton) și este desemnat ca mecanism E 2, dar poate interveni și în eliminările unimoleculare. Eliminarea E 2 poate fi formulată / 34 / în cazul cianhidrinelor prin relația (IX), respectiv eliminarea unimolecular sincronă prin (X) :

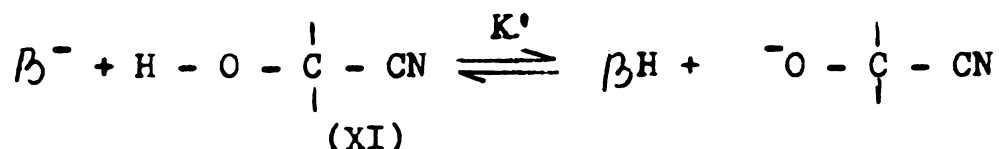


(IX)

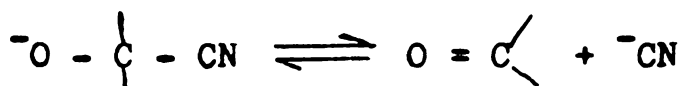


(X)

2. Mecanism asincron cu formarea intermediară a unui carbanion. Aplicând acest mecanism în cazul cianhidrinelor, reacția cu bazele poate duce la un alcoolat, acesta suferind o descompunere spontană în derivatul carbonilic (mecanism E 1 c β) :



(XI)



(XII)

Prin compararea reacțiilor (XI) și (XII) cu reacțiile (VII) și (VIII) se poate deduce modul în care se poate influența poziția echilibrului reacției cianhidrinei: în mediu bazic, echilibrul va fi practic complet deplasat spre derivatul carbonilic, într-un mediu având abilitatea de cedare de proton a unei soluții de acid cianhidric, echilibrul va fi deplasat spre cianhidrină. Este puțin cunoscut cum influențează pH-ul soluției acest echilibru. Unul din obiectivele acestui studiu a fost stabilirea unei astfel de dependențe.

3. Mecanism asincron cu formarea unui carbocation. În cazul descompunerii cianhidrinelor, acest mecanism ar implica heteroliza unei legături C - CN. După cum este știut, grupa CN este o grupă fugace de eficacitate foarte mică / 45 /. Heteroliza acestei legături este înălțită / 45 / în eliminări E 1 c β : heteroliza este în acest caz provocată de necesitatea stabilizării carbanio-

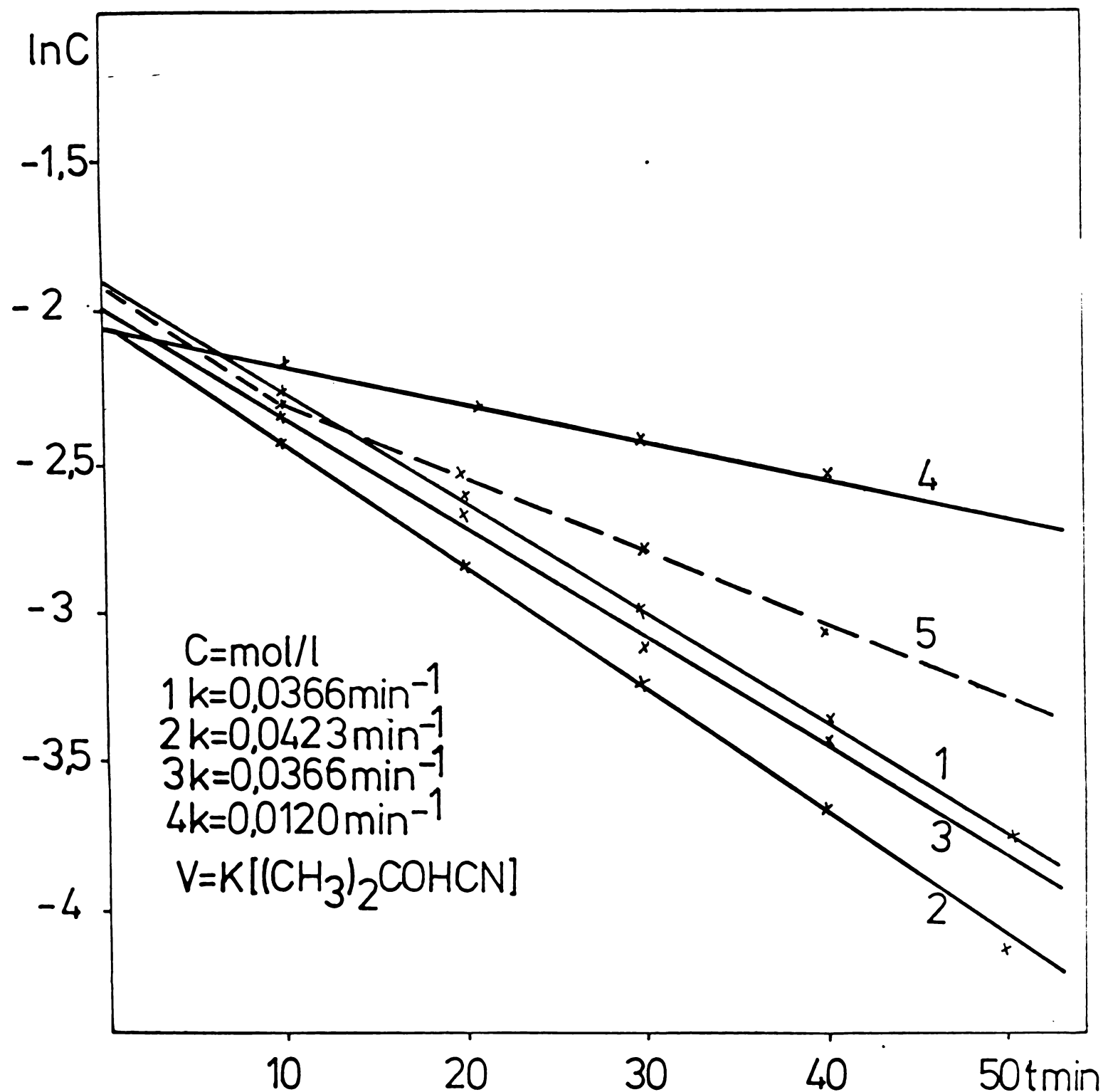


Fig.4 Stabilirea ordinului și calculul constantelor de viteză ale reacției de eliminare la acetoncianhidrină în apă: 1-la 85°C și pH 7; 2-la 91°C și pH 7; 3-la 91°C și pH 5; 4-la 91°C și pH 3; 5 la 85°C și pH 9

TABLEUL 6

Constantele specifice relative ale reacțiilor de eliminare
la acetonicienhidrindă în diverse medii la temperatură de 91°C

Dizolvant	H_3PO_4	DMF - H_2O	H_2O	H_3PO_4	DMF - H_2O	H_2O	H_2O
	42,5%	95% vol.	pH=3	85%	75% vol.	pH=5	pH=7
Constanta specifică relativă	1	1,62	1,84	2,77	5,87	7,58	8,43

Constanta
specifică
relativă

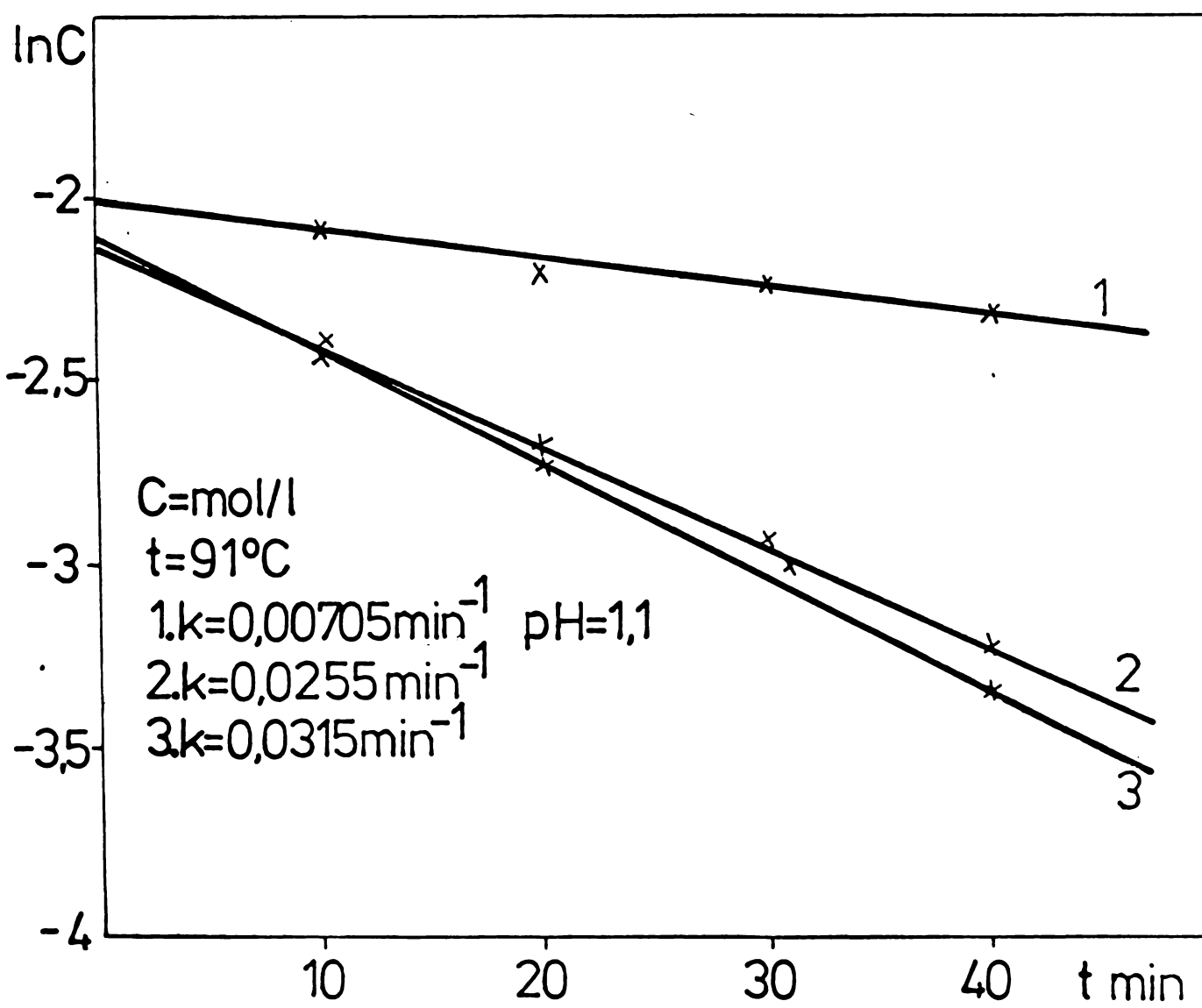
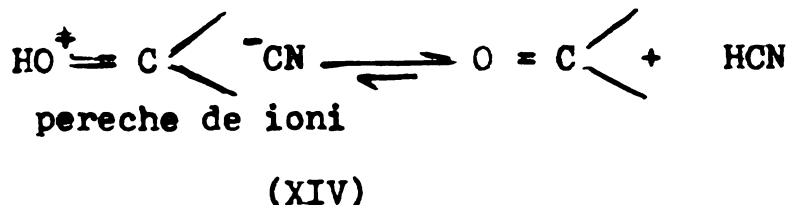
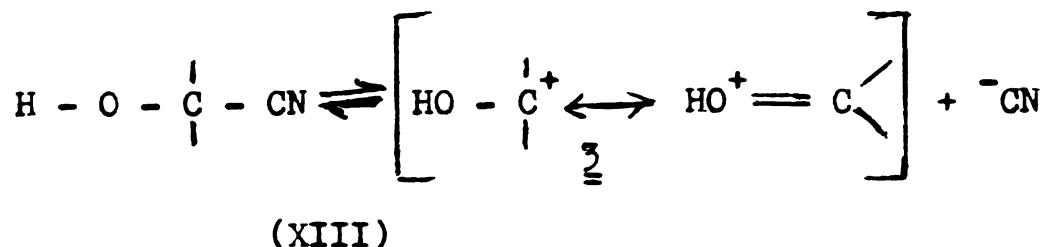


Fig.5 Calculul constantelor de viteză ale reacției de eliminare în acid fosforic:
 1-acetoncianhidrină în acid fosforic 42,5%
 2-acetoncianhidrină în acid fosforic 85%
 3-acetaldehidcianhidrină în acid fosforic 85%

nului prin expulzarea anionului $\text{^-\text{CN}}$ și formarea unei molecule stable. Acest mecanism ar putea surveni și în cazul descompunerii cianhidrinelor:



Reacțiile (XIII) și (XIV) pot explica din ce cauză acidul cianhidric "pur" nu se aditionează decât în cataliză bazică, deci în prezență de ion cian, la aldehyde și cetone. Dacă echilibrul (XIII) trebuie să fie mult deplasat spre stînga, formarea derivatului carbonilic prin reacția (XIV) poate constitui un motor al reacției.

2.2.1. Rezultate obținute

2.2.1.1. Efectul acidității mediului asupra descompunerii acetaldehidcianhidrinei și acetoncianhidrinei.

Efectul acidității mediului asupra cianhidrinelor studiate în această lucrare este redat în fig.4 și fig.5, și în parte prin datele din tabelul 6.

Figura 4, arată faptul că la acidități moderate viteza de descompunere a acetoncianhidrinei descrește cu scăderea pH-ului soluției. Eliminarea β are loc mult mai încet în soluție acidă decât în soluție neutră sau slab bazică (viteza de descompunere a acetaldehidcianhidrinei la pH acid este prea mică pentru a putea fi măsurată prin metoda folosită).

Tabelul 6, arată că în apă viteza de descompunere a acetoncianhidrinei este de trei ori mai rapidă la pH 5, decât este la pH 3. În același timp atât în tabelul 6, cât și figura 5, indică faptul că în acid fosforic de 85%, reacția este de patru ori mai rapidă decât în acid fosforic de 42,5%. În acid fosforic de 85%, descompunerea acetaldehidcianhidrinei este de 1,25 ori mai rapidă decât cea a acetoncianhidrinei.

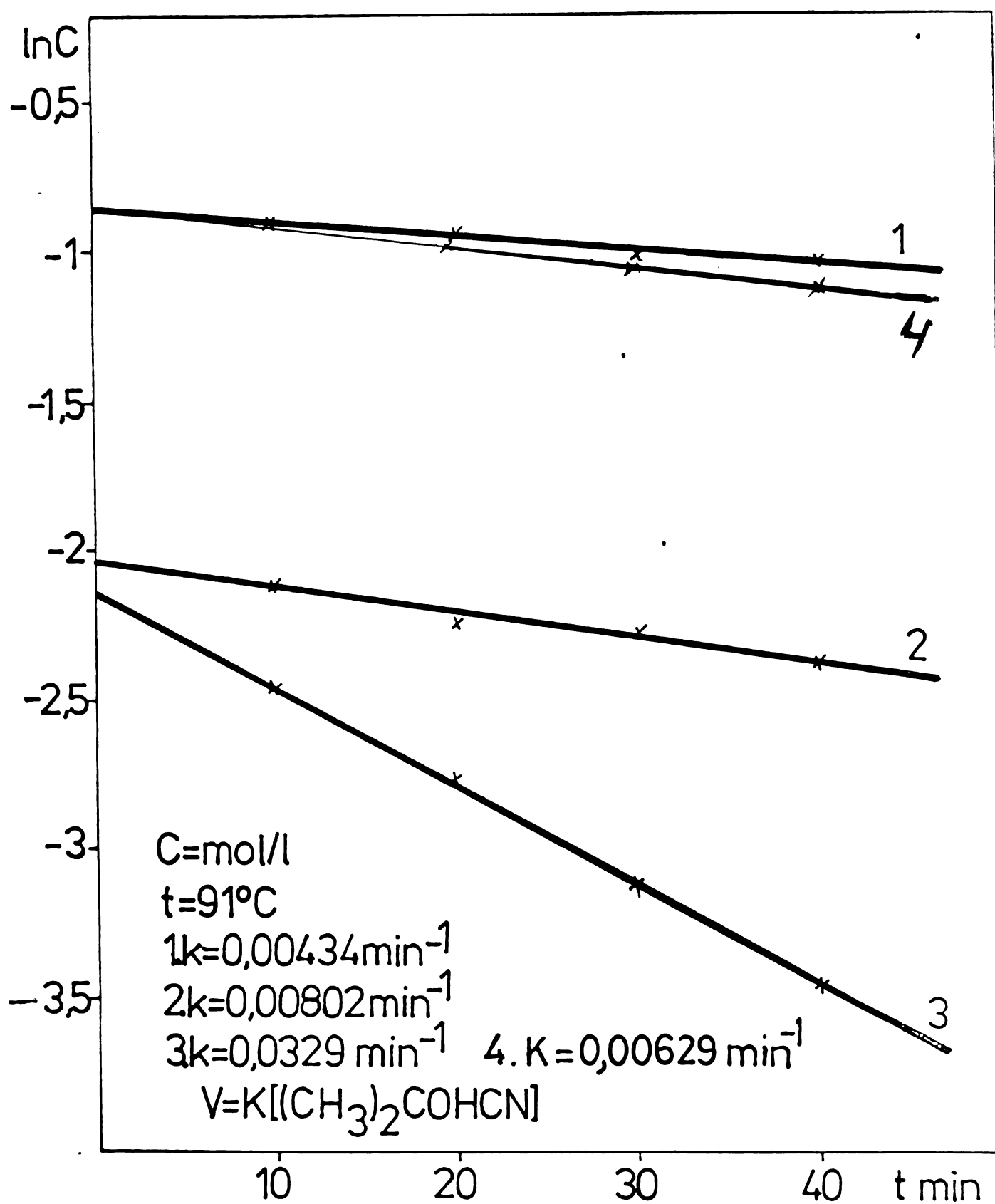


Fig.6 Calculul constantelor de viteză ale reacției de eliminare la acetoncyanhydrină în dimetilformamidă: 1-DMF 100%
 2-DMF-H₂O 95% vol, 3-DMF-H₂O 75% vol.
 4-DMS 100%

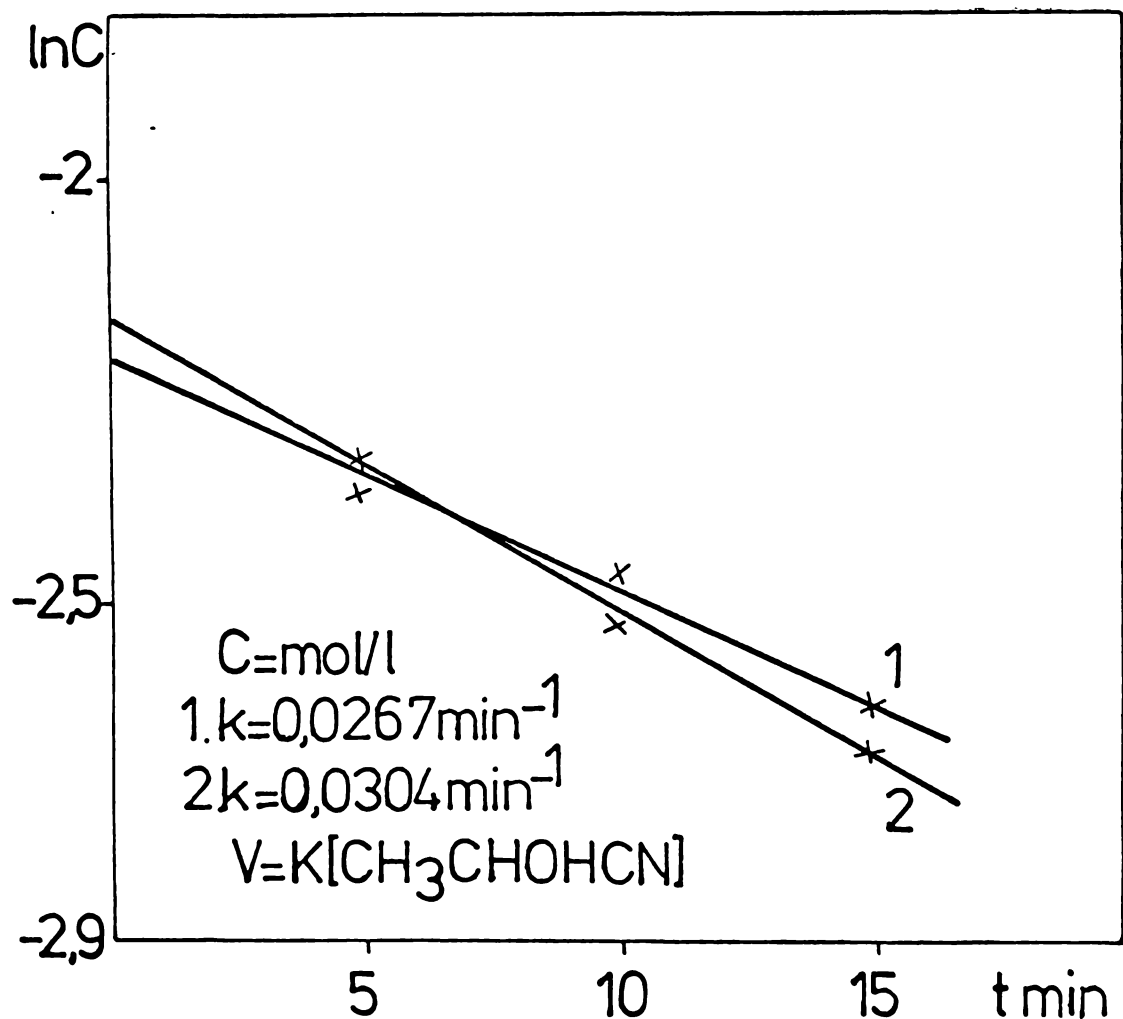


Fig.7 Stabilirea ordinului și calculul constantelor de viteză ale reacției de eliminare la acetaldehidcianhidrină în soluție apăsă saturată în clorură de sodiu la pH 7: 1-la 100°C ; 2-la 103°C

2.2.1.2. Efectul polarității mediului și dizolvantului asupra descompunerii acetaldehidcianhidrinei și acetoncianhidrinei.

Efectul mediului de reacție asupra descompunerii cianhidrinelor studiate, este în parte redat în tabelul 6 și în fig. 6 și 7. Astfel, descompunerea acetoncianhidrinei s-a studiat în dimetilformamidă (DMF) și amestecuri de DMF-apă (fig. 6). În amestecurile de dimetilformamidă-apă, se constată că adaosul unor mici cantități de apă provoacă o creștere moderată a vitezei de reacție, viteză crescând mult mai rapid la adăosuri mai mari de cosolvent. Viteză de descompunere în DMF curată este de aprox. 10 ori mai încreătă decât în apă la pH 7.

În apă, la pH 7, viteză descompunerii acetoncianhidrinei este de cca. 2 ori mai mare decât viteză descompunerii acetaldehidcianhidrinei (compară fig. 4, cu fig. 7).

2.2.1.3. Descompunerea acetaldehidcianhidrinei și acetoncianhidrinei în mediu bazic.

Descompunerea acetoncianhidrinei la pH 9 și 91°C , este practic la fel de rapidă, în etapa inițială, ca și la pH 7 (fig. 4). Descompunerile celor două cianhidrine în soluție apoasă de hidroxid de sodiu (conc. 1,25 M) asupră de o cinetică de ordinul doi:

$$\text{viteză} = k_0 [RR'\text{C(OH)CN}] [NaOH] \quad (20)$$

Tinând seama de această relație și de datele din fig. 8, rezultă că în caz că se compară vitezele specifice ($k_0 / [NaOH]$) cu constantele unimoleculare determinate în absență hidroxidului de sodiu), eliminarea în mediu bazic este de 255 de ori mai rapidă decât eliminarea la pH 7. În același timp, în condiții similare, eliminarea din acetaldehidcianhidrină este de cca. 2,5 ori mai rapidă decât cea din acetoncianhidrină.

2.2.2. Interpretarea rezultatelor

2.2.2.1. Efectul pH-ului asupra eliminării β din acetaldehidcianhidrină și acetoncianhidrină.

Datele prezentate arată că pH-ul soluției poate afecta puternic viteza eliminării β din cianhidrine. Viteză mult mai rapidă a eliminării în mediu bazic decât în mediu neutru sau slab acid, înglobarea concentrației hidroxidului de sodiu în expresia cons-

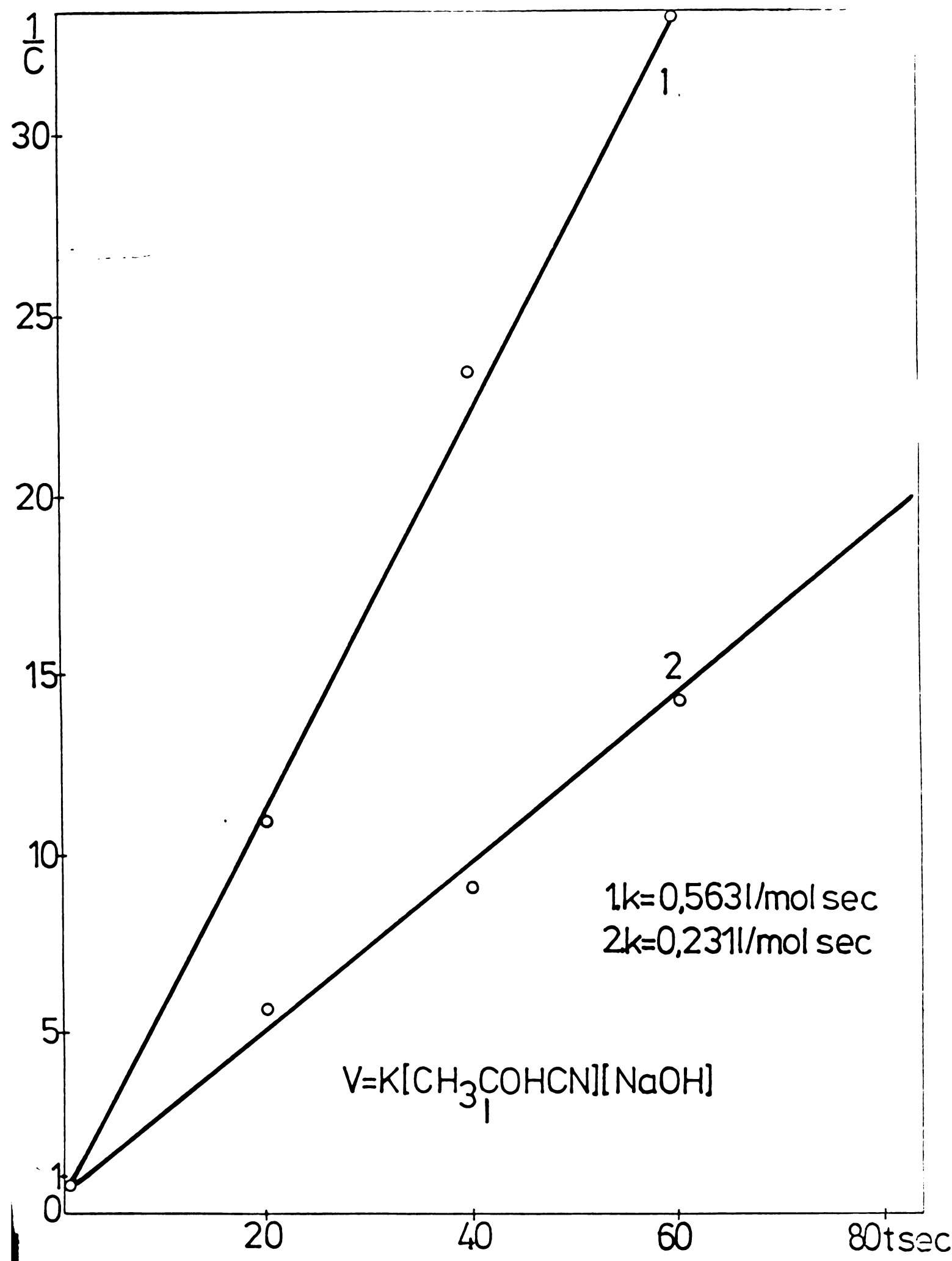
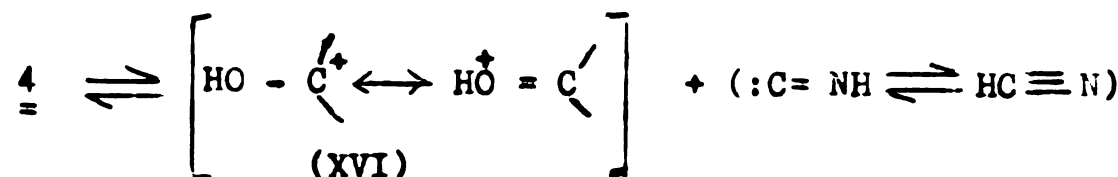
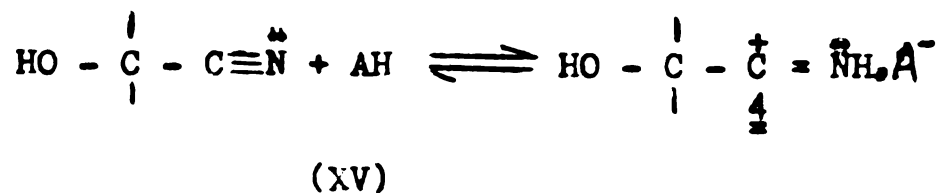


Fig. 8 Stabilirea ordinului si calculul constantelor de viteza ale reacției de eliminare la acetăldehidcianhidrină(1) si acetoncianhidrină(2) în soluție apoasă de hidroxid de sodiu la 94°C

tantei de viteza indică drept probabil fie mecanismul (IX), eliminarea E 2 - bazică, fie mecanismul asincron de tip E 1 c β (XI) și (XII). Se consideră că diferențele de viteza între viteza descompunerii acetaldehidcianhidrinei și viteza descompunerii acetoncianhidrinei sunt edificate în alegerea dintre cele două mecanisme. Într-adevăr, intervenția unui mecanism sincron E 2 ar presupune că acele grupe care pot să stabilizeze starea de tranziție a reacției (IX), trebuie să aibă un efect pozitiv asupra mersului reacției. Grupele donoare de electroni, de exemplu grupele alchil, ar trebui să accelereze viteza eliminării. Aceleasi grupe, dacă etapa determinantă de viteza este formarea alcoxidului (XI), trebuie să destabilizeze starea de tranziție, să aibă un efect de întirziere asupra vitezelor de reacție. Viteza mai mare de descompunere a acetaldehidcianhidrinei (de 2,5 ori) decât a acetoncianhidrinei face foarte probabil mecanismul de tip E 1 c β (XI) și (XII). Această diferență se inversează la pH neutru și acid (compară fig. 4, cu figura 7) indicând intervenția mecanismului unimolecular sincron (X).

Datele obținute arată că odată cu creșterea acidității vitezele de reacție, care la început scad, pot apoi să crească și încă destul de semnificativ (tabelul 6). Această observație, necesită o discuție:

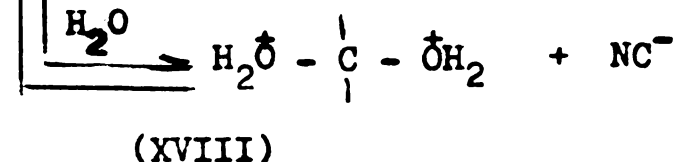
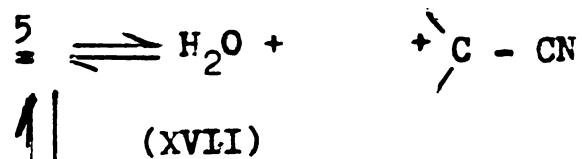
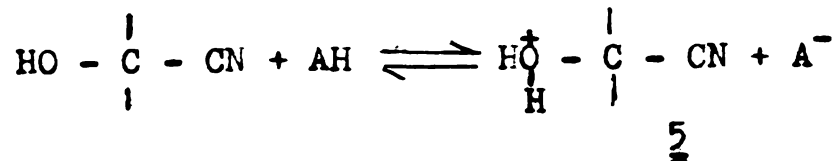
Se cunoaște faptul / 45 / că aciditatea mediului, sau mai bine zis abilitatea mediului de a ceda protoni, influențează foarte puternic vitezele reacțiilor de solvolizație unimoleculară. O aciditate crescândă a mediului de reacție, în cazul descompunerii cianhidrinelor, poate ugura expulzarea grupei fugace CN. În acest caz efectul acidității poate fi redat prin reacțiile (XV) și (XVI).



Este de așteptat că în medii puternic acide, dacă nu se poate capta cationul $\frac{1}{4}$ cu un nucleofil din soluție (cu apă, hidroliza acidă a nitrilului, etc.), cianhidrinele să se descompună în componente. Rezultatele obținute confirmă această supozиie.

Intr-adevăr, experiențele efectuate în acid fosforic arată faptul că în medii puternic acide, acetoncianhidrina se

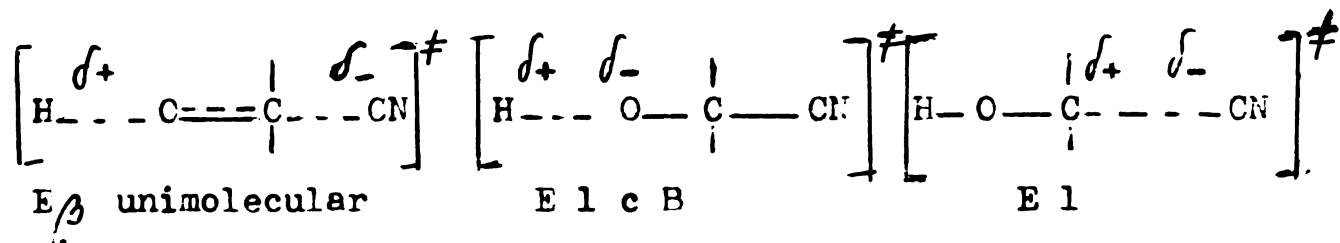
poate descompune în elemente(acetonă și acid cianhidric)mult mai ușor la aciditate mai mare decât la acidități mai scăzute de acid fosforic. Această observație este fie în acord cu reacția(XV),fie cu reacțiile (XVII) și (XVIII):



Din nou, diferențele observate între vitezele eliminărilor din cele două cianhidrine pledează în favoarea mecanismului(XV).Intr-adevăr, așa cum rezultă din fig.5, eliminarea β din acetaldehidcianhidrină în acid fosforic 85% este de 1,2 ori mai rapidă decât eliminarea în condiții asemănătoare din acetonicianhidrină. Mecanismul(XVII) - (XVIII) ar sugera contrariul, carbocationii terțiari fiind mai ușor generați decât carbocationii secundari. În schimb, scindarea cationului 4 în compus carbonilic protonat conform ecuației(XVI) trebuie să decurgă mai ușor în cazul acetaldehidcianhidrinei,așa cum se și observă.

Revenind la mecanismele (XIII) și (XIV) și respectiv la efectul structural de accelerare a reacției de eliminare β respectiv la stabilizarea ionului de carbogniu β prin conjugarea electronilor neparticipanți ai oxigenului cu orbitalul p vacant al intermediarului cationic, este de așteptat ca acest efect să fie amplificat în cazu mecanismului de eliminare sincronă a grupelor H^+ și NC^- . După cum este cunoscut, ruperea concertată a celor două legături /45/ este intuită ca un proces în care inițial începe să se rupă una din legături, în acest caz legătura H-O, polarizând atomul de oxigen, polarizare transmisibilă atomului de carbon vecin ale cărui legături vor fi de asemenea slăbite. Înainte ca prima legătură, respectiv legătura H-O, să fie complet ruptă, începe să se rupă a doua legătură, respectiv legătura $\text{C} \frac{\delta^+}{\delta^-} \text{CN}$. Având în vedere cele arătate, este de așteptat ca odată cu scăderea pH-ului în domeniul acid,

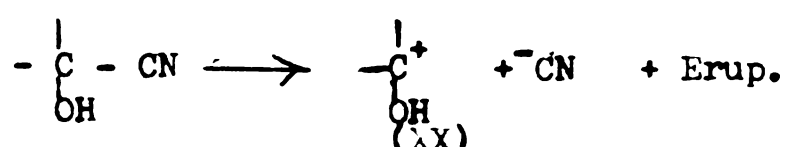
șă aibă loc o îngreunare a procesului de disociere a legăturii H-O / 98 / și în consecință o deplasare a geometriei stării de tranziție E_β / 45 / unimolecular sincrone spre E 1 c B și respectiv spre E 1, în acizi concentrați:



(XIX)

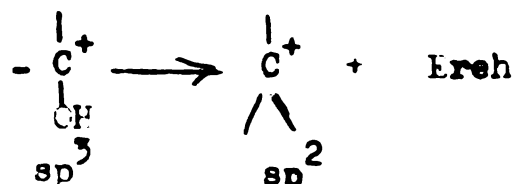
Legat de cele arătate, inversarea raportului dintre vitezele reacțiilor de descompunere a acetoncianhidrinei și acetaldehidcianhidrinei la pH alcalin și respectiv la pH neutru și acid, sugerează existența în paralel a mecanismului E 1 c B și unimolecular sincron, E 1 c B preponderent la pH bazic iar E_β unimolecular sincron preponderent la pH neutru și acid. Tot în acest sens pledează și alte considerente teoretice. Astfel, în cazul ionizării unimoleculare la acetoncianhidrin și acetaldehidcianhidrin se pot admite, din punct de vedere energetic, următoarele etape ipotetice limită.

1. Ionizarea



E_{rup} - energia de rupere heterolitică a legăturii polarizate C—CN, dependentă de efectele electronice inductive și respectiv de afinitatea pentru electroni a grupării nitrilice.

2. Rehbridizarea

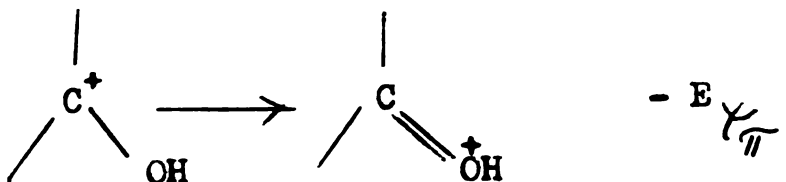


de (XXI)

E_{reh} - energia rehbridizare

- 22 -

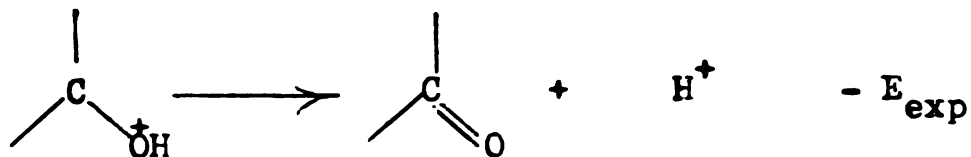
3. Formarea orbitalului π dublu ocupat.



(XXII)

E_{π} - energia orbitalului π ocupat cu doi electroni

4. Expulzarea protonului



(XXIII)

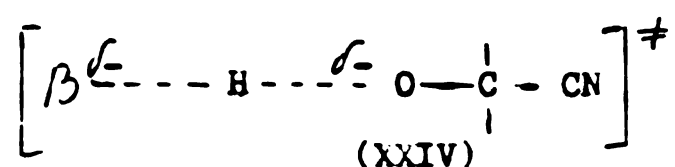
E_{exp} - energia de expulzare a protonului.

In acest caz, energia de activare a reacției de eliminare unimoleculară β , independentă de solvent, poate fi considerată în cazul mecanismului sincron ca sumă a energiilor etapelor ipotetice limite 1, 2, 3, 4 (ecuația 21), și respectiv 1, 2, 3 (ecuația 22) în cazul mecanismelor asincrone E 1 și prin analogie E 1 c B.

$$E^{\ddagger} = E_{rup} + E_{reh} - E_{\pi} - E_{exp} \quad (21)$$

$$E^{\ddagger} = E_{rup} + E_{reh} - E_{\pi} \quad (22)$$

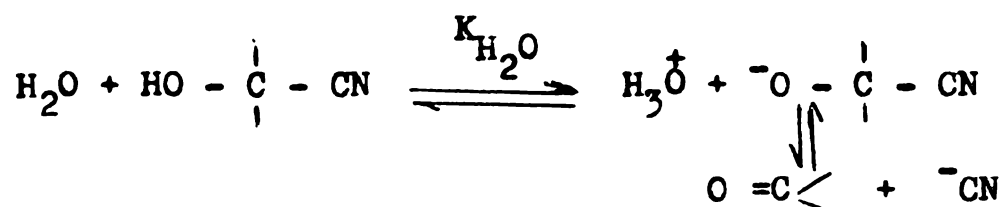
Săderea accentuată a energiei de activare în cazul mecanismului E 1 c B desfășurat în mediu relativ puternic bazic, este determinată de disociere legăturii H - O, facilitată în acest caz de asistență nucleofilului B^- :



(XXIV)

2.2.2.2. Efectul dizolvantului și al polarității mediului.

Descompunerea acetoncianhidrinei în apă la 91°C (pH 7) este de circa 10 ori mai rapidă decât în DMF. Adaosul de apă în DMF provoacă la început o creștere lentă, creșterea devenind mult mai rapidă la cantități mai mari de apă(tabelul 6). Se consideră că aceste variații de viteze de eliminare sunt la rândul lor în acord cu eliminarea de tip E 1 c β . Într-adevăr, transformând concentrațiile volumetrice în fracții molare se constată o dependență practic liniară a constantelor de viteze cu fracția molară a apei. Acest fapt se poate explica în modul următoră



(xxv)

Spre deosebire de alcoolii obisnuiti care sunt acizi foarte slabii, cianhidrinele, datorită efectului atrăgător de electroni al grupelor cian, trebuie să fie acizi mai puternici, astfel încât stabilirea rapidă a echilibrului (XXV) să permită și disocierea cianhidrinei în componente. Desigur, la pH neutru, la temperatura camerei, echilibrul va fi deplasat spre cianhidrină. La temperatura la care s-a lucrat, reacția de eliminare directă devine măsurabilă. Dacă se are însă în vedere și intervenția mecanismului unimolecular sincron efectele de solvent și respectiv ale polarității mediului / 99 - 111 / pot fi interpretate și în sensul accelerării reacției ca urmare a creșterii polarității mediului la adăos de apă. În acest sens, teoria calitativă a influenței solventului, a lui Hughes și Ingold, asupra vitezei reacțiilor de eliminare β / 102 - 104 /, prevede o creștere a vitezei de reacție odată cu creșterea polarității solventului, în cazul mecanismelor cu separare de sarcini electrice, similare mecanismului de eliminare unimoleculară sincronă propus. Într-adevăr datele experimentale arată că eliminarea la acetonicianhidrină în dimetilsulfoxid (DMSO), un solvent aprotic mai puternic polar decât dimetilformamida / 112 /, este de 1,45 ori mai rapidă decât în dimetilformamidă.

2.2.3. Model propus pentru efectuarea măsurătorilor cinetice.

Modelul propus pentru efectuarea măsurătorilor cinetice vizează controlul kinetic al reacției de eliminare, respectiv evitarea reacției asociate de adiție și a reacțiilor produselor de eliminare.

2.2.3.1. Măsurătorile cinetice în medii neutre, acide și slab bazice.

Procedeul elaborat și respectiv propus, pentru controlul kinetic al reacției de eliminare în medii neutre, acide și slab bazice constă în expulzarea, în cea mai mare parte, a produșilor de eliminare din sistemul de reacție prin conducerea reacției la temperaturi de peste 80°C într-un vas cilindric deschis. Diametrul cilindrului termostatat ($d_i = 30 \text{ mm}$) și durata de reacție sunt relativ reduse astfel ca erorile, introduse ca urmare a vaporizării solventului, să nu afecteze sensibil rezultatele experimentale (condiții care limitează însă domeniile de experimentare). Concentrațiile molare de lucru impuse de obținerea datelor cinetice în timp relativ scurt, au fost de $0,11 - 0,43 \text{ mol/l}$, funcție de mediul de reacție. Concentrațiile în cianhidrină la timpii date s-au obținut prin diferență între concentrația totală a ionului CN^- , și concentrația acidului cianhidric liber determinată prin titrare cu azotat de argint, în mediu de hidroxid de sodiu, metoda Liebig / 113 / și respectiv în prezență de acid azotic, metoda Volhaod / 113 /.

La reacțiile de eliminare în apă, aducerea la $\text{pH } 3$ și 5 s-a făcut cu acid sulfuric, iar la $\text{pH } 9$ cu soluție amoniacală.

Eliminarea la $\text{pH } 9$ (fig.4) decurge, în primele 10 minute, practic cu aceeași viteză ca și la $\text{pH } 7$ (reacțiile au aproximativ aceeași constantă de viteză / 114 /), după care se evidențiază efectul reacției opuse de adiție asupra procesului global eliminare - adiție.

Experimentările cu acetaldehidcianhidrină s-au făcut cu soluții apoase saturate în clorură de sodiu.

2.2.3.2. Măsurările cinetice în medii puternic bazice.

Că urmare a vitezei mari de scindare alcalină a acet-aldehidcianhidrinei și acetoncianhidrinei și a reactivității mari a produsilor de eliminare respectiv a reacțiilor successive și succesiiv paralelă de condensare aldolică, hidroliză a cianurii de sodiu și polimerizare a acidului cianhidric, reacția de eliminare este controlată termodinamic în timp relativ scurt.

Pentru controlul cinetic al reacției de eliminare este necesară, în acord cu cele arătate, expulzarea rapidă a produșilor de eliminare carbonilici din amestecul de reacție, fapt ce se poate realiza la temperaturi de peste 90°C , și respectiv o durată scurtă a determinării. Scindarea alcalină s-a realizat într-un vas de reacție termostatat prevăzut cu agitator, refrigerant descendant și cilindru gradat, ambele cu răcire la -10°C , pentru măsurarea distilatului, precum și cu un răcitor de captare și răcire a probelor din amestecul de reacție. Datele cinetice pentru calculul constantelor de viteză / 114 /, s-au obținut prin analiza în paralel a distilatului și respectiv a amestecului de reacție, prin metodele chimice arătate și chromatografic (pentru componente carbo-nilice).

2.2.4. Concluzii din studiul efectuat

Prin studierea vitezelor de descompunere a acetoncianhidrinei și acetaldehidcianhidrinei la pH-uri foarte diferite, între puternic acid și puternic bazic, a fost posibil să se demonstreze că această reacție prezintă toate caracteristicile unei eliminări β . Astfel:

- s-a arătat că mecanismul de descompunere cel mai probabil în mediu bazic, este cel corespunzător unei eliminări E 1 c β (anionic); acest mecanism este demonstrat de studiul eliminării din cele două cianhidrine;
- se consideră că s-a identificat pentru prima oară, în condi-

țiile unor medii puternic polare și la temperaturi relativ ridicate, un mecanism sincron de eliminare β unimolecular la cianhidrine. Aceast mecanism este demonstrat de studiul eliminărilor din cele două cianhidrine la pH neutru în apă, precum și de eliminările din acetona cianhidrină în dimetilformamidă și dimetilsulfoxid.

- se consideră că s-a identificat pentru prima oară un mecanism de tip E 1 în eliminările din cianhidrine, mecanism care are loc numai în medii puternic acide. Prin studiul comparativ al eliminării din cele două cianhidrine s-a putut demonstra că acidul exercită un efect similar asupra grupei cian ca efectul solventului proetnic într-o ionizare tipică ce intervine fie într-o solvoliză SN 1, fie într-o eliminare E 1.

In felul acesta, eliminările β din cianhidrine par să prezinte un spectru de mecanisme la fel de complet ca și eliminările β ducind la alchene.

2.3. Cinetica reactiilor successive determinate de baze
tarila acetaldehidcianhidrină și acetona cianhidrină în mediu apoi
/ 115 /.

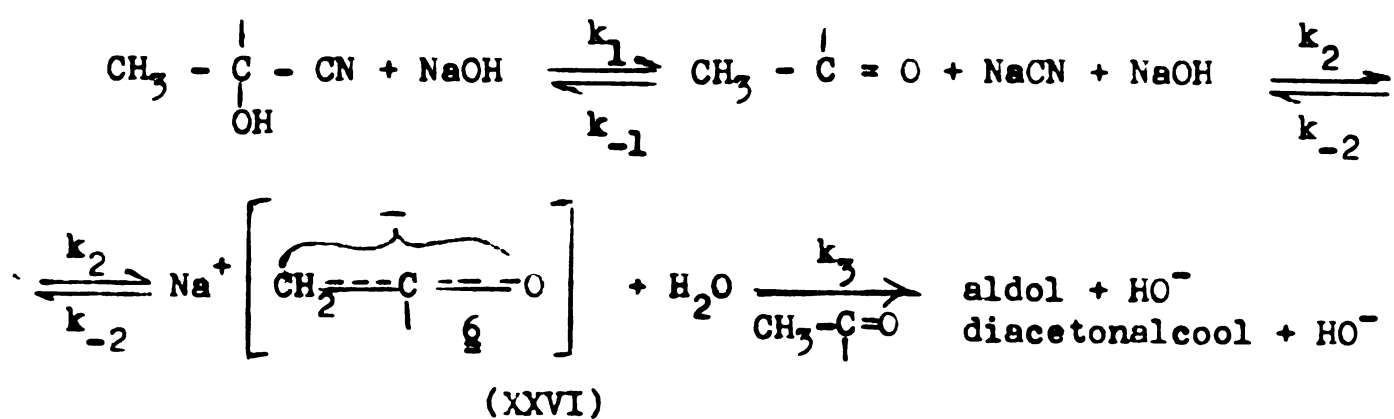
2.3.1. Reacțiile successive de eliminare și condensare al-dolică la acetaldehidcianhidring și acetoniccianhidrina.

Reacția de eliminare a acidului cianhidric la acet-

aldehidcianhidrină și acetoncianhidrină în soluție apoasă alcali-

nizată cu hidroxid de sodiu este succedată de reacția de condensa-

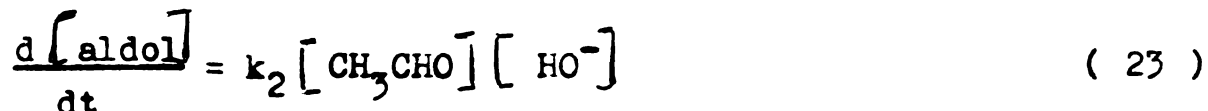
re aldolică:



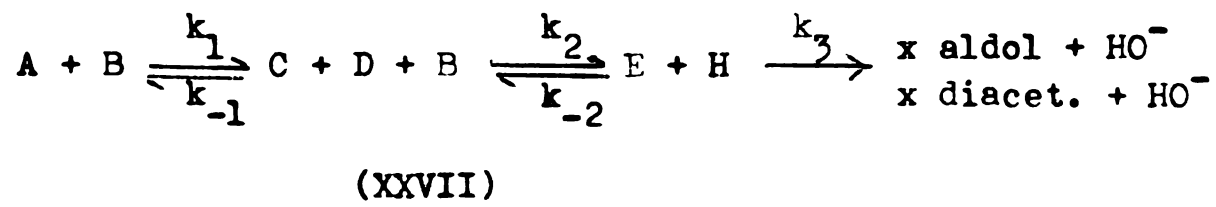
Carbonionul mezomer δ , generat în primă etapă se aditionează la componenta carbonilică formând aldolul respectiv diacetonalcoolul. Condensarea aldolică a aldehidei acetice și

acetonei în mediu bazic este reversibil*, echilibrul fiind deplasat în spre produsul de condensare / 54, 116 /.

Vitezele reacțiilor de condensare stabilite prin metoda stării staționare sunt date de ecuațiile / 54 /:



Pentru simplificare, reacțiile successive de eliminare și condensare aldolică (XXVI) se redau sub forma:



Ecuația de viteză a reacției reversibile de eliminare este în acest caz dată de expresia:

$$-\frac{d[A]}{dt} = k_1 [A][B] - k_{-1} [C][D] \quad (25)$$

Pentru condițiile initiale $[A] = a$; $[B] = b$; $[C] = 0$; $[D] = 0$; $t = 0$, respectiv pentru x mol/l de componente A și B transformate în C și D la $t = t$, ecuația (25) devine:

$$\frac{dx}{dt} = k_1 (a - x)(b - x) - k_{-1} x^2 \quad (26)$$

respectiv:

$$\int_a^x \frac{dx}{k_1 ab - k_1(a+b)x + (k_1 - k_{-1})x^2} \int_0^t dt \quad (27)$$

se notează:

$$\alpha = k_1 - k_{-1}; \beta = -k_1(a+b); \gamma = k_1 ab$$

$$\delta = \beta^2 - 4\alpha\gamma; m_1 = \beta + \sqrt{\delta}; m_2 = \beta - \sqrt{\delta}$$

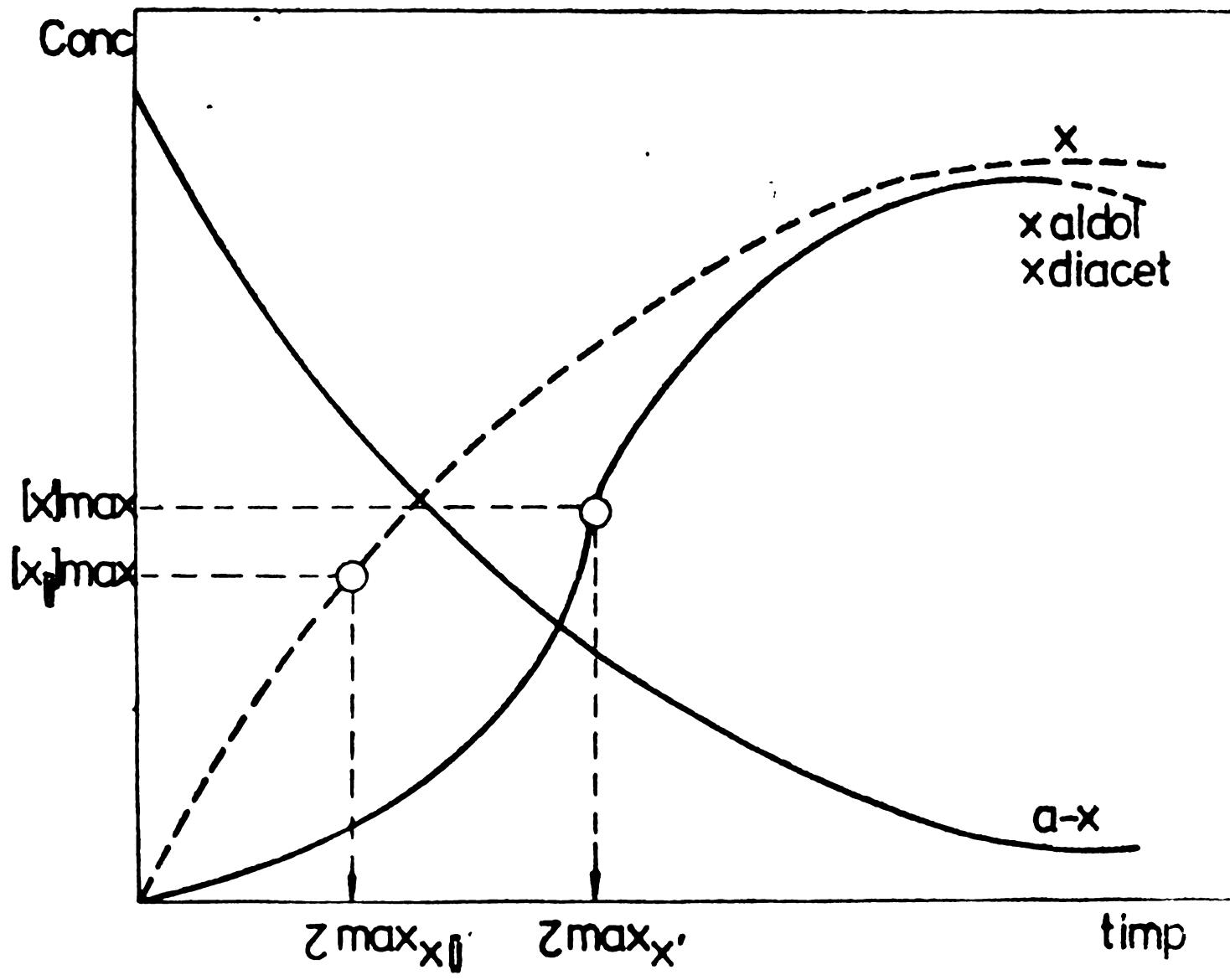


Fig.9 Curbele cinetice ale reacțiilor succesive de eliminare și condensare aldolică la acetaldehidcianhidrină și acetoncianhidrină

Soluțiile sunt:

$$t = \frac{1}{\sqrt{\delta}} \ln \left| \frac{(2\alpha x + \beta - \sqrt{\delta}) (\beta + \sqrt{\delta})}{(2\alpha x + \beta + \sqrt{\delta}) (\beta - \sqrt{\delta})} \right| \quad (28)$$

$$x = \frac{2\delta (1 - e^{t\sqrt{\delta}})}{m_2 e^{t\sqrt{\delta}} - m_1} \quad (29)$$

Ecuatia cinetică a reacției successive de condensare aldolică la acetaldehidcianhidrina se stabilește în baza ecuației (23) și a relației (XXVII):

$$\frac{dx_{aldol}}{dt} = k_2 x(b-x) = k_2 (bx - x^2) \quad (30)$$

Timpul de inducție, τ_{max} / 114 /, pentru aldehida acetica calculat din condițiile: $\frac{d(x-x_{aldol})}{dt} = 0$; $x_{aldol} < x$ și

x_{aldol} să aibă un maxim (fig.9), condiție valabilă dacă se are în vedere atât reversibilitatea reacției de condensare aldolică cât și reversibilitatea reacției de eliminare, este dat de relația (31) obținută prin introducerea soluției x_{II} în ecuația (28).

$$\tau_{max} = \frac{1}{\sqrt{\delta}} \ln \left| \frac{(2\alpha x_{II} + \beta - \sqrt{\delta}) (\beta + \sqrt{\delta})}{(2\alpha x_{II} + \beta + \sqrt{\delta}) (\beta - \sqrt{\delta})} \right| \quad (31)$$

în care:

$x_{II} = [x]_{max}$. este soluția pozitivă a ecuației de ordinul doi obținută la derivare:

$$x_{II} = \frac{k_2 b + k_1 (a+b) - \sqrt{(k_2 b + k_1 a + k_1 b)^2 + 4 k_1 ab (k_{-1} + k_2)}}{-2 (k_{-1} + k_2)} \quad (32)$$

Timpul de inducție, τ_{max} , pentru aldehida acetica calculat din condiția $\frac{d^2 x_{aldol}}{dt^2} = 0$:

$$\frac{d^2x_{\text{aldol}}}{dt^2} = k_2 \frac{dx}{dt} (b - 2x) = 0$$

$$\frac{dx}{dt} = 0 \quad \text{nereal fizic}$$

$b - 2x = 0$, real fizic cu condiția ca b să fie echivalent cu a , respectiv și b să fie în raport molar 1/1.

$$x^1 = \frac{b}{2} = \frac{a}{2} = [x]_{\text{max.}} \quad (33)$$

$\theta_{\text{max.}}$, se obține prin introducerea soluției x^1 în ecuația (28).

Ecuția de viteză a reacției succesive de condensare aldolică la acetonianhidrină se stabilește în baza ecuației (24) și a relației (XXVII):

$$\frac{dx_{\text{diacet.}}}{dt} = \frac{k_2 k_3}{k_{-2}} x^2 (b-x) = \frac{k_2 k_3}{k_{-2}} (bx^2 - x^3) \quad (34)$$

Timpul de inducție, $\theta_{\text{max.}}$, pentru acetonă calculat din condiția $\frac{d^2x_{\text{diacet.}}}{dt^2} = 0$.

$$\frac{d^2x_{\text{diacet.}}}{dt^2} = \frac{k_2 k_3}{k_{-2}} x \frac{dx}{dt} (2b - 3x) = 0$$

$x = 0$ nereal fizic

$$\frac{dx}{dt} = 0 \quad \text{nereal fizic}$$

$2b - 3x = 0$, real fizic cu condiția ca b să fie echivalent cu a , respectiv și b să fie în raport molar 1/1.

$$x^1 = \frac{2}{3} b = \frac{2}{3} a = [x]_{\text{max.}} \quad (35)$$

$\theta_{\text{max.}}$, se obține prin introducerea lui x^1 în ecuația (28).

TABELUL 2

Date experimentale privind realizarea reacției de eliminare la acetaldehidcianhidrina în soluție apăsă la $t = 100^{\circ}\text{C}$, prin alcalinizare cu hidroxid de sodiu și antrenare concomitentă cu abur. Concentrația acetaldehidcianhidrinei este exprimată în g/l aldehidăacetice (A.Ac) și ion CN^- , echivalente.

Separarea aldehidelor acetice prin antrenare cu abur și condensare.						
Nr. crt.	Compoz. sol. CN^- g/l	Volum sol. initială ml	Compoz. condensat CN^- g/l	Volum con- densat ml	Compoz. condensat abur și condensare	Volum condensat ml
1.	A.Ac...4,60	250	CN^- ...0,062	93	3,41	100
2.	A.Ac...4,60	250	CN^- ...0,041	65	5,57	72

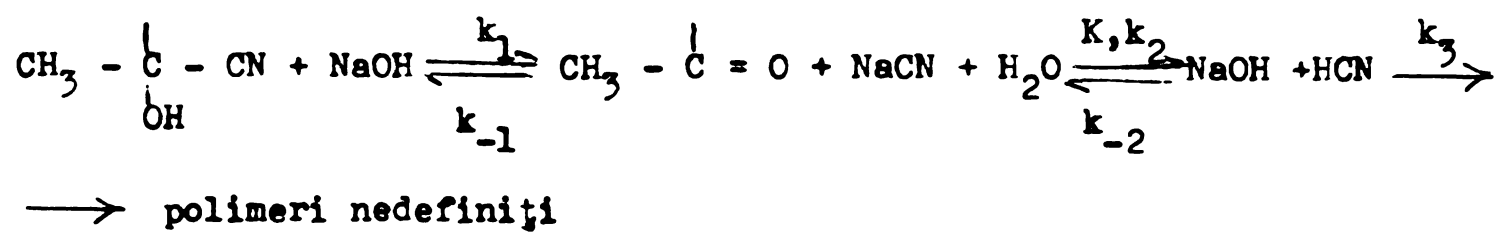
Compoziția reziduului după alcalinizare și antrenare cu abur timp de 30 minute:

1. A.Ac 0,0094%
2. CN^- 49 - 58% din cantitatea inițială
3. Polimer amorf de culoare brună în cantitate mare.

Din relațiile (33) și (35) rezultă că concentrațiile maxime ale produsilor intermediari aldehida acetică și acetona sunt egale cu 1/2 respectiv 2/3 din concentrația echivalentă de acetaldehidcianhidrină respectiv acetoncianhidrină, concentrații ce pot fi atinse numai atunci când raportul molar cianhidrină / NaOH este 1/1. Cu această condiție se poate controla cinetic reacția de eliminare la acetaldehidcianhidrină și acetoncianhidrină în soluție apoasă și separa cu randamente mari derivatul carbonilic, prin alcalinizare cu hidroxid de sodiu și antrenare concomitentă cu abur la temperaturi de peste 90°(tabelă 7). Cantitatea mică de cianhidrină antrenată din sistemul de reacție se explică prin viteza mare a reacției de eliminare.

2.3.2. Reacțiile succesiv-paralele de hidroliză a cianurii de sodiu și polimerizare a acidului cianhidric.

Paralel cu reacțiile successive de eliminare și condensare aldolică la acetaldehidcianhidrină și acetoncianhidrină în mediu apăs, în prezență de hidroxid de sodiu, au loc și reacțiile successive de hidroliză a cianurii de sodiu și polimerizare a acidului cianhidric(acidul cianhidric este transformat de urme de substanțe alcaline în polimeri nedefiniți / 54 /:



Viteza reacției de hidroliză este dată de ecuația:

$$\frac{d[\text{NaCN}]}{dt} = k_2 [\text{NaCN}] [\text{H}_2\text{O}] - k_{-2} [\text{NaOH}] [\text{HCN}] \quad (36)$$

Variatia concentrației acidului cianhidric din sistem,determinată de reacțiile de hidroliză și polimerizare este dată (dacă se admite că $v_{\text{polimerizare}} = k_3 [\text{HCN}]$) de ecuația:

$$\frac{d[\text{HCN}]}{dt} = k_2^1 [\text{NaCN}] - k_{-2} [\text{NaOH}] [\text{HCN}] - k_3 [\text{HCN}] \quad (37)$$

$$[\text{H}_2\text{O}] \gg [\text{NaCN}] \text{ respectiv } k_2 [\text{H}_2\text{O}] = k_2^1$$

Din datele experimentale prezentate în tabelă 7, privind separarea aldehydei acetice și acidului cianhidric prin alcalinizare cu hidroxid de sodiu a soluției apoase de acetaldehidcianhidrină (în raport molar acetaldehidcianhidrină : hidroxid de sodiu, 1 : 1) și antrenare concomitentă cu abur, urmată de acidularea reziduului de antrenare cu acid clorhidric și o nouă antrenare, se remarcă următoarele aspecte:

- cantitatea mică (concentrația mică de ioni CN^-) de acet aldehidcianhidrină și acid cianhidric ieșită din sistemul de reacție prin antrenare cu abur timp de 30 de minute.
- randament slab de recuperare a acidului cianhidric din reziduu după această antrenare, respectiv 49 - 58%.
- formare în cantitate mare a polimerului amorf de culoare brună.

Aceste date și observații experimentale atestă viteza mare a reacției de eliminare și permit să se tragă următoarele concluzii privind cinetica reacțiilor succesive de hidroliză a cianuri de sodiu și polimerizarea acidului cianhidric:

- etapa determinată de viteza la formarea polimerului o constituie hidroliza cianurii de sodiu.
- acidul cianhidric rezultat din reacția de hidroliză se transformă rapid în polimer.

Din ecuația de echilibru a reacției de hidroliză a cianurii de sodiu:

$$K = \frac{[\text{NaOH}][\text{HCN}]}{[\text{NaCN}][\text{H}_2\text{O}]} = \frac{k_2}{k_{-2}} \quad (38)$$

TABELUL 8

Date experimentale privind degradarea acetaldehidcianhidrinei (CN^-) în soluție apoasă la $pH = 10$ și $t = 100^{\circ}C$, respectiv hidroliza cianuri de sodiu și polimerizarea acidului cianhidric

timp minute	Concentrația CN^- , mg/l		
	conc. inițială	a	a-x polim.
0	2409	2409	0
5		2010	399
10		1802	607
20		1352	1057
30		1300	1109

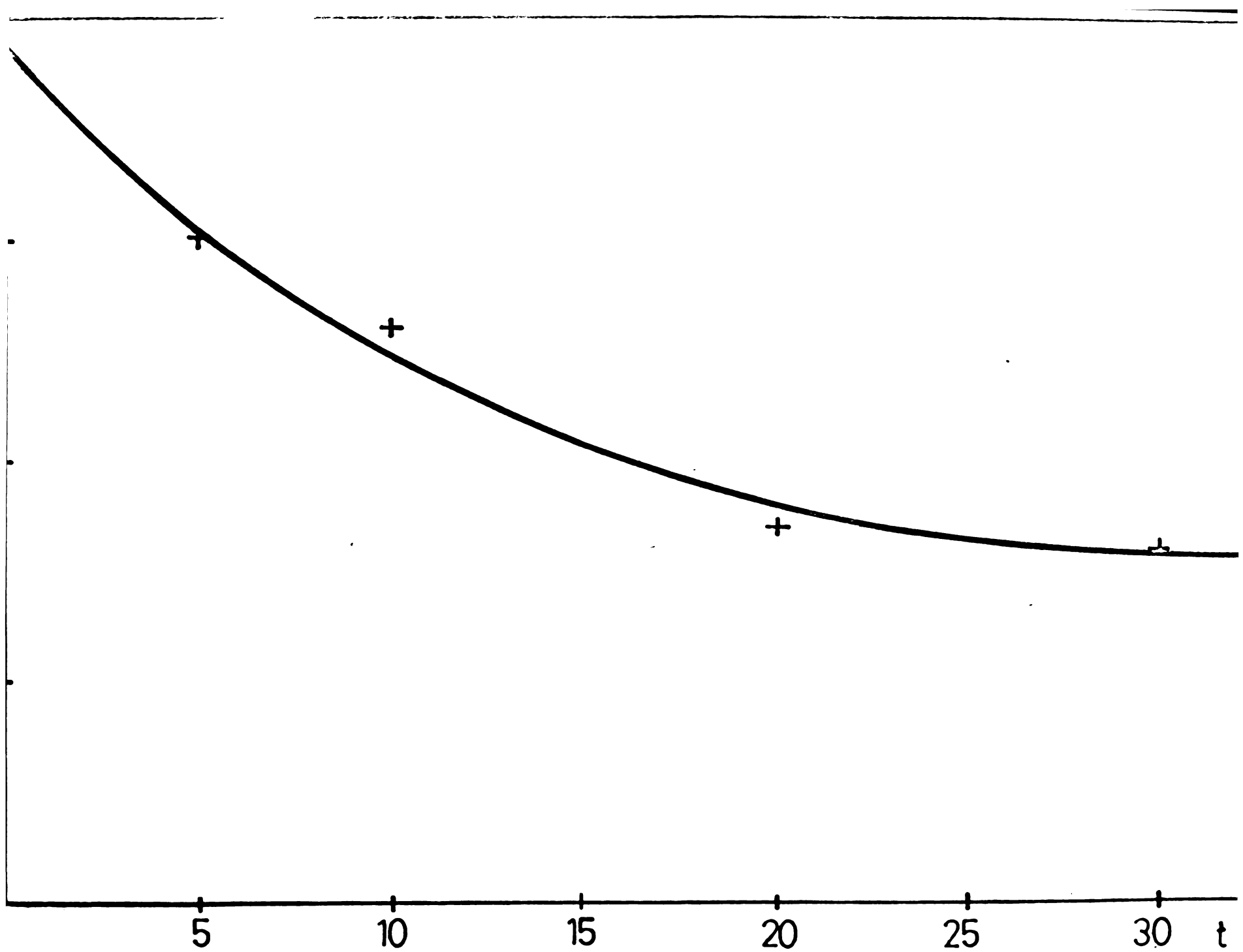


Fig.10 Relația dintre cantitatea de acid cianhidric polimerizată și timp,
la soluția apoasă de acetaldehidcianhidrină cu $pH=10$ și $t=100^{\circ}C$

rezultă:

$$[\text{HCN}] = \frac{k_2^1 [\text{NaCN}]}{k_{-2} [\text{NaOH}]} \quad (39)$$

Că urmare ecuația de viteză a reacției succesive de polimerizare a acidului cianhidric, devine:

$$\frac{dx_{\text{polim.}}}{dt} = \frac{k_3 k_2^1 [\text{NaCN}]}{k_{-2} [\text{NaOH}]} \quad (40)$$

Reiese deci că pierderile de acid cianhidric prin polimerizare scad cu creșterea concentrației în hidroxid de sodiu (fapt de altfel cunoscut și utilizat în practică la conservarea cianurii de sodiu în mediu apă). Concentrația în hidroxid de sodiu nu poate fi însă considerabil multă deoarece scade randamentul de separare a derivaților carbonilici care după cum s-a arătat este optim la raportul molar cianhidrină/hidroxid de sodiu, 1/1.

Randamentele cele mai bune de recuperare, de circa 95%, atit pentru cianura de sodiu cît și pentru aldehida acetică, din condensatul obținut la procesul de supraîncălzire - expandare-condensare, a apelor reziduale cu conținut de acetaldehidcianhidrină, prin alcalinizare cu hidroxid de sodiu și antrenare concomitentă cu abur, la pilotul prezentat în fig.20, s-au obținut la pH 10. În acest sens, pentru calculele de proiectare a coloanei de antrenare, s-a stabilit pe calculator / 92 / funcția experimentală:

$x_{\text{polim.}} = f(\text{conc. initială în acetaldehidcianh., timp})$ la $\text{pH} = 10$
și $t = 100^\circ\text{C}$ (tabela 8 și fig.10).

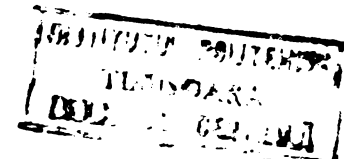
$$x_{\text{polim.}} = a - e^{(\beta_0 + \beta_1 t + \beta_2 t^2)} \quad (41)$$

în care:

a = concentrația initială de acetaldehidcianhidrină exprimată în mg/l CN⁻

t = minute

$$\beta_0 = 7,79 \text{ pentru } a = 2409$$



$$\beta_0 = \frac{\lg a}{0,434} \text{ pentru } a \neq 2409$$

$$\beta_1 = -4,02 \cdot 10^{-2}$$

$$\beta_2 = 6,31 \cdot 10^{-4}$$

Coeficientul de incredere / 92 / = 0,9890

2.3.3. Modul de lucru

Intr-o instalație de laborator compusă dintr-un balon de termostatat la 100°C , conținând soluție apoasă de acetaldehidcianhidrină și prevăzut cu un sistem de dispersie (frită) racordat la un generator de abur și un refrigerent descendant racordat la un balon de captare, ambele cu răcire la $0 - 1^{\circ}\text{C}$, se introduce soluție apoasă de hidroxid de sodiu de concentrație 25%, în raport molar hidroxid de sodiu : acetaldehidcianhidrină, 1 : 1. Concomitent se începe antrenarea cu abur care se menține timp de 30 de minute. Produsul de antrenare se colectează în balonul de captare. În a doua etapă se introduce acid clorhidric în balonul de antrenare, în raport molar 1 : 1 față de hidroxidul de sodiu respectiv acetaldehidcianhidrina din prima etapă și se face antrenarea cu abur. Acidul cianhidric se colectează de asemenea în balonul de captare. Concentrația în aldehidă se determină prin analiză la cromatograful cu detectori de ionizare în flacără, concentrația în ion CN^- , prin metoda Liebig, iar concentrația în acid cianhidric prin metoda Volhard. Randamentele bune de recuperare a aldehydei acetice, 95 % la experimentarea nr. 1 și 86 % la experimentarea nr. 2 (tabela 7), sunt urmăre, așa cum s-a arătat, atât vitezei mari a reacției de eliminare, cât și vitezei mari de deplasare a echilibrului eliminare-adiție în sensul reacției de eliminare, și respectiv perioadei de inducție mare de formare a aldolului, datorită antrenării aldehydei acetice din sistemul de reacție. Din datele experimentale prezentate în tabela 7, rezultă de asemenea că randamentele de recuperare respectiv perioada de inducție pentru formarea aldolului sunt considerabil afectate, după cum era de prevăzut, de viteza de antrenare respectiv de debitul de abur (volumul condensatului), fapt ce s-a avut în vedere la proiectarea instalației pilot de recuperare a aldehydei acetice și acidului cianhidric din soluții apoase de acetaldehidcianhidrină.

Datele experimentale privind degradarea acetaldehidcianhidrinei în soluții apoase la $pH = 10$ și $t = 100^{\circ}C$, respectiv hidroliza cianurii de sodiu și polimerizarea acidului cianhidric (tabela 8), s-au obținut la aceeași instalație de laborator, unde la timpul dat s-a acidulat cu acid clorhidric amestecul de reacție, după care s-a antrenat cu abur și respectiv dozat acidul cianhidric, în produsul condensat și colectat.

3. CONTRIBUTII ORIGINALE PRIVIND TEHNICA SEPARARII PRIN
DISTILARE A ACETALDEHIDCIANHIDRINEI SI ACETONCIANHIDRINEI
DIN AMESTECURI APOASE CU POSIBILITATI DE APLICARE SI LA
ALTE AMESTECURI / 42 /

Descompunerea reversibilă în fază lichidă a acetaldehidcianhidrinei și acetoncianhidrinei, produși greu volatili, în acid cianhidric și componentul carbonilic respectiv, produși ușor volatili (tabelul 5) și respectiv reformarea în fază gazoasă a acetaldehidcianhidrinei, implică, în vederea separării lor avansate din apele reziduale prin distilare continuă, accelerarea reacțiilor de descompunere și viteze mari de vaporizare și separare a fazei lichide de fază de vaporii. Aceste necesități s-au realizat, în mare măsură, prin procedeele și aparatelor elaborate de distilare prin vaporizare adiabatică respectiv prin supraîncălzirea apelor reziduale urmată de expandare, separarea fazei lichide de fază de vaporii din jetul de expansiune și condensarea fazei de vaporii.

Că urmare a rezultatelor bune obținute la separarea fazei lichide de fază de vaporii din jetul de expansiune, procedeele au fost experimentate și la separarea unor amestecuri lichide de produși termic stabili. În acest sens se propun, pentru calculele tehnice, unele relații relativ simple și în acord cu tehnica procedeului.

3.1. Procedeu de distilare diferențială prin vaporizare adiabatică. Relații propuse pentru calculele tehnice.

Distilarea prin vaporizare adiabatică / 117 / se caracterizează prin aceea că sistemul dispune anticipat de întreaga cantitate de energie necesară pentru separare. Vaporizarea are loc în acest caz practic instantaneu și în consecință adiabatic, pe seamă disponibilului caloric ΔH / 42 /, format prin încălzire respectiv supraîncălzire^{*)}. Ea poate fi realizată în echilibru sau diferențial.

*) Utilizat în sensul de încălzire a amestecurilor lichide inchise sub presiune la o temperatură mai mare decât temperatura lor de fierbere la presiune normală.

In cazul amestecurilor lichide binare supraîncălzite, cantitatea vaporizată diferențial sau în echilibru prin expandare, respectiv. cantitatea de distilat, se poate calcula cu destulă exactitate cu ajutorul relației (42):

$$L_i - L_f = \frac{L_i \Delta H}{y_1 r^I + (1-y_1) r^{II}} \quad (42)$$

Ecuatiile (43) și, respectiv, (45) propuse pentru calculele tehnice la distilarea diferențială prin vaporizare adiabatică rezultă din ecuația lui Rayleigh, în care L_i și L_f , reprezentând cantitățile inițiale și finale de lichid în fierbere, sunt substituite cu ΔH din relația (42).

$$\ln \frac{1}{1 - \frac{\Delta H}{y_1 r^I + (1-y_1) r^{II}}} = \int_{x_f}^{x_i} \frac{x_i dx}{y - x} \quad (43)$$

În care:

L_i ; L_f - reprezintă cantitățile inițiale și finale de lichid în fierbere, respectiv cantitățile de lichid la supraîncălzire și după expandare, kg, respectiv kg/h în cazul distilării în echilibru;

x ; y - compozitia în component ușor volatil a amestecului lichid binar în fierbere, respectiv compozitia în component ușor volatil a vaporilor în echilibru cu amestecul lichid binar, fracții de masă;

x_i ; x_f - concentrațiile inițiale și finale de component ușor volatil în amestecul lichid binar, fracții de masă;

ΔH - disponibilul caloric, respectiv diferența dintre entalpia amestecului lichid binar cu compozitia x_i la temperatura

de supraîncălzire, și entalpia amestecului lichid binar cu aceeași compoziție, la temperatura de fierbere corespunzătoare presiunii la care are loc expandarea, J/kg.

$r^I; r^{II}$ - căldurile latente de vaporizare ale componentului ușor volatil și greu volatil la temperatura medie de vaporizare calculată de pe curba $t - x$ pentru x_i și x_f , la presiunea la care are loc expandarea, J/kg;

$y_1; (1-y_1)$ - concentrațiile componentului ușor volatil și greu volatil în distilat, fracții de masă.

Căldura sensibilă pe seama căreia are loc vaporizarea adiabatică, este în acest caz anticipat definită prin disponibilul calorice ΔH , ceea ce permite obținerea unor relații de calcul relativ simple.

Calculul temperaturii de supraîncălzire și al compozitiei distilatului

La obținerea formulelor pentru calculele tehnice s-au utilizat relațiile (42), (43) și bilanțul de materiale (a) / 118 /, din care rezultă formula (44), pentru calculul concentrației componentului ușor volatil în distilat, și ecuația (45), funcție de disponibilul calorice, căldurile latente de vaporizare și concentrațiile initiale și finale ale amestecului lichid binar.

$$L_i x_i = L_f x_f + (L_i - L_f) y_1 \quad (a)$$

$$y_1 = \frac{x_i r^{II} + x_f (\Delta H - r^{II})}{(x_i - x_f) (r^{II} - r^I) + \Delta H} \quad (44)$$

$$\ln \frac{r^{II} - x_f (r^{II} - r^I)}{r^{II} - x_i (r^{II} - r^I) - \Delta H} = \int \frac{x_i}{x_f} \frac{dx}{y-x} \quad (45)$$

Ecuatia (45) permite calculul disponibilului calorice functionie de concentratiile x_i si x_f . Valoarea temperaturii de suprafincalzire necesara pentru formarea disponibilului calorice respectiv, se obtine cu ajutorul formulei (48) care deriva din relatiile (46) si (47):

$$\Delta H = H_{T_s} - H_{T_v} \quad (46)$$

respectiv:

$$\Delta H = \left[x_i C_{p_{T_s}}^I T_s + (1 - x_i) C_{p_{T_s}}^{II} T_s \right] - \left[x_i C_{p_{T_v}}^I T_v + (1 - x_i) C_{p_{T_v}}^{II} T_v \right]$$

In care:

H_{T_s} - este entalpia amestecului lichid binar cu componitia x_i la temperatura de suprafincalzire (sau fincalzire), J/kg;

H_{T_v} - entalpia amestecului lichid binar cu componitia x_i la temperatura de fierbere corespunzatoare presiunii la care are loc expandarea, J/kg;

T_s ; T_v - Temperatura de suprafincalzire (sau fincalzire) a amestecului lichid binar cu continutul de component ugor volatil x_i , respectiv temperatura de fierbere a amestecului lichid binar cu aceeasi componitia, corespunzatoare presiunii la care are loc expandarea, °C;

C_p^I ; C_p^{II} - Caldurile specifice ale componentelor ugor si respectiv greu valatil, J/kg grad.

Pentru procesul de fincalzire, respectiv suprafincalzire a amestecului lichid binar cu componitia x_i , de la temperatura T_v la temperatura T_s , se poate scrie relatie:

$$\frac{H_{T_s}}{H_{T_v}} = \frac{T_s}{T_v} \quad (47)$$

respectiv:

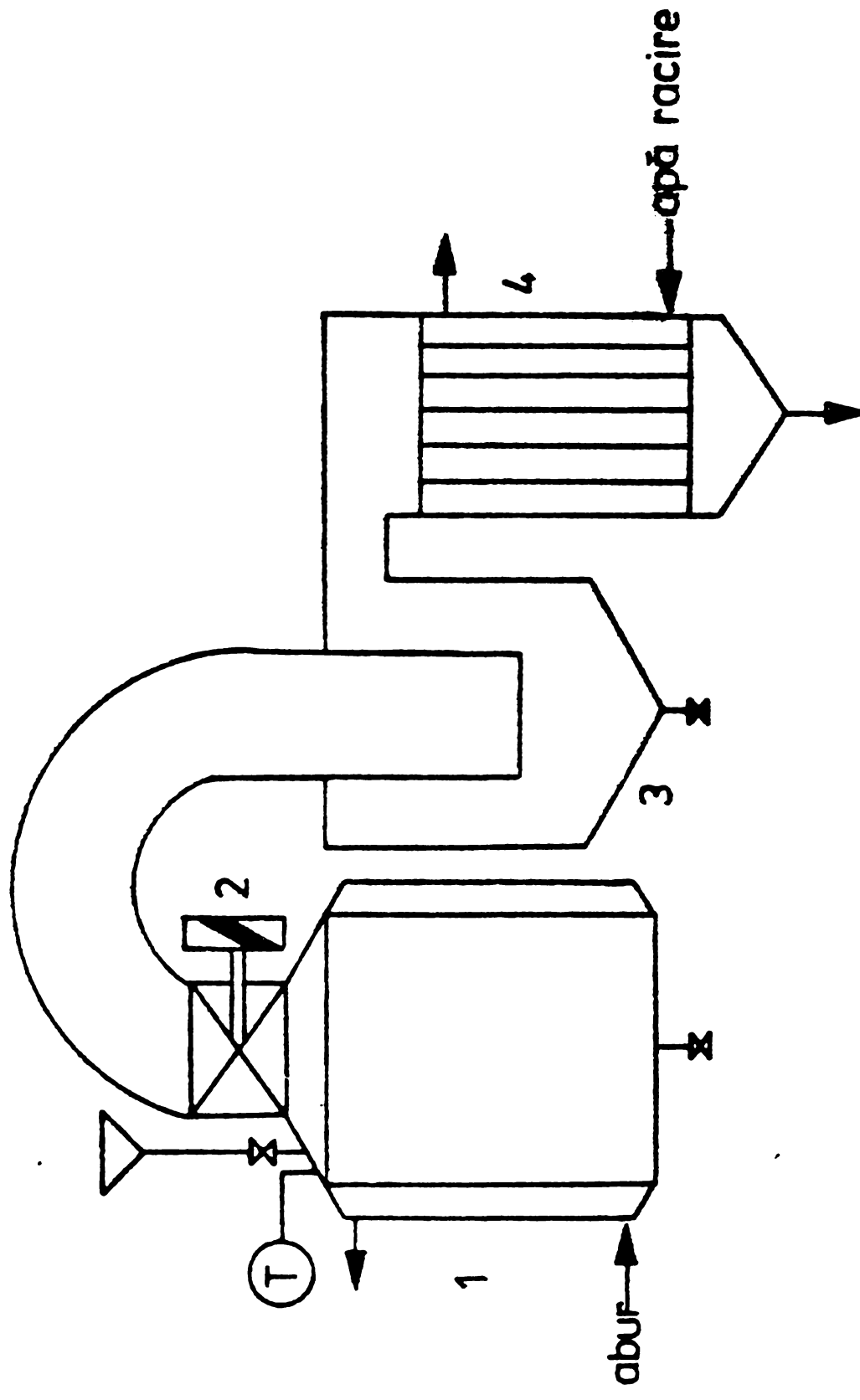


Fig.11 Aparat pentru distilarea diferențială prin vaporizarea adiabată a amestecurilor

TABELUL 9

Rezultate experimentale obtinute la distilarea
diferențială prin vaporizare adiabatică a amestecurilor

=====

A pă - Acetonă

Experimental			Calculat		
x_i	$T_s, {}^\circ C$	x_p	y_1	K	y_1
0,368	107	0,172	0,902	1,011	0,970
					104

Benzen - acetonă

0,352	160	0,165	0,440	1,186	0,480	165

/119,120 / : Valorile C_p, r

$$T_s = \frac{T_v (\Delta H + H_{T_v})}{K H_{T_v}} \quad (48)$$

Constanta de proporcionalitate se calculează din relația (47) pentru valori ale temperaturilor T_s și T_v date din domeniile de lucru. Distilarea discontinuă, diferențială prin vaporizare adiabatică, s-a realizat practic cu ajutorul unui aparat, fig.11, format dintr-un recipient de presiune 1, prevăzut cu un sistem de încălzire, un separator de picături 3, și un condensator 4. Expandarea rapidă a amestecului lichid supraîncălzit are loc prin intermediul ventilului electromagnetic 2. Secțiunea traseului de vapori s-a dimensionat la viteze minime ale acestora, pentru a se evita antrenarea lichidului dispersat la expandare. Capacitatea recipientului 1, este de 5 litri. În tabelul 9, sunt redate rezultatele experimentale comparativ cu cele obținute din calcul. Expandările s-au făcut la presiunea normală. Nu s-a realizat o separare totală a fazelor lichide de faza de vapori.

Compoziția amestecurilor s-a determinat chromatografic.

3.2. Procedeu de distilare în echilibru prin vaporizare adiabatică. Relații propuse pentru calcule tehnice

Caracteristica cea mai importantă a procedeului de distilare în echilibru prin supraîncălzire - expandare - condensare / 35, 36 /, constă în realizarea practic instantanee, a vaporizării și a echilibrurilor termodinamice, lichid-vaporii la nivelul duzelor de expansiune / 42 /. În figura 16, se prezintă o instalație - pilot de distilare continuă în echilibru prin procedeul de supraîncălzire - expandare - condensare. Vaporizarea are loc la nivelul duzei cu secțiune circulară și deschiderea conică de expandare, iar jetul de expansiune format din lichid fin dispersat și vaporii care sunt antrenați de lichid este distribuit în pîlnia cu nivel de lichid sau tangent la o suprafață curbată (fig.15), unde odată cu scăderea vitezei jetului de expansiune se reomogenizează fază lichidă și se separă fază

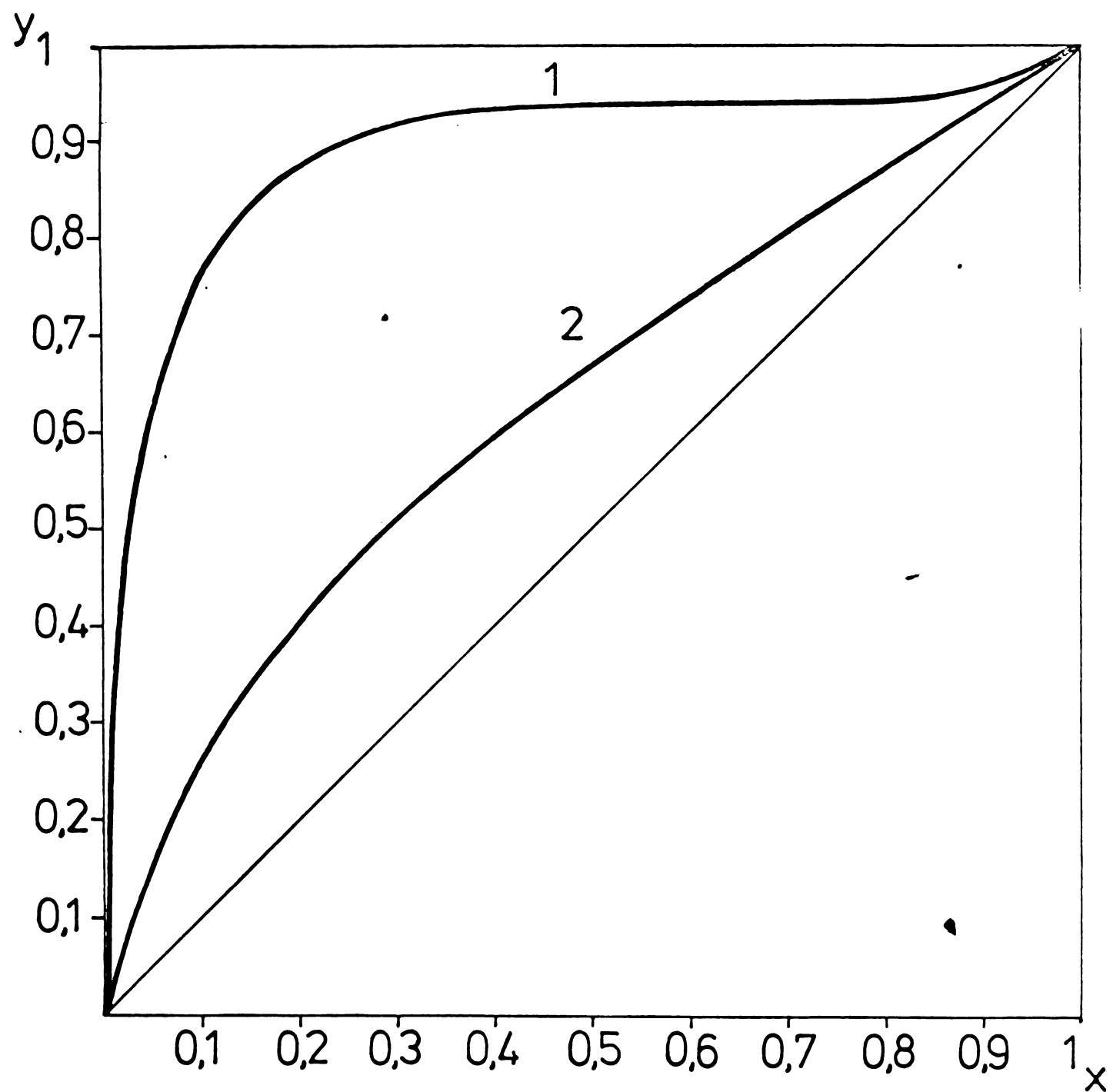


Fig.12 Curbele de echilibru x,y (fracții de masă)
la p=760torr pentru amestecurile:
1.apă-acetonă
2.benzen-acetonă

TABELUL 10

Rezultate experimentale obținute la distilarea
în echilibru prin vaporizare adiabatică a amestecurilor

=====

A pă - Acetonă

Experimental			Calculat		
x_1	T_s , °C	x_p	y_1	K	y_1
0,308	138	0,102	0,360	1,026	0,777
					136,8

Benzen - acetonă

0,301	146	0,202	0,386	1,186	0,394	151
=====						

de vaporii (proces ce se poate urmări și prin observare directă). Pentru volume reduse de expandare, cazul aparatului de rectificare prin expandări - condensări successive prezentat în fig. 18, s-au utilizat sisteme mai complexe pentru diminuarea vitezei jetului de expansiune și separare a fazelor.

Formula de calcul pentru disponibilul calorice la distilarea în echilibru prin procedeul de suprafăcălzire - expandare - condensare, rezultă din bilanțul de materiale(a), relația (42) și, respectiv relația (49):

$$\frac{\Delta H}{y_1 r^I + (1-y_1)r^{II}} = \frac{x_i - x_f}{y_1 - x_f} \quad (49)$$

$$\Delta H = \frac{(x_i - x_f) [y_1 r^I + (1-y_1)r^{II}]}{y_1 - x_f} \quad (50)$$

Temperatura de suprafăcălzire se poate calcula cu destulă exactitate cu relația (48), iar concentrația componentului ușor volatile în distilat y_1 se obține de pe curbele de echilibru lichid - vaporii (fig. 12), respectiv din ecuația echilibrului lichid - vaporii.

In tabelul 10, sunt redate rezultatele experimentale comparativ cu cele obținute din calcul. Expandările s-au făcut la presiunea normală.

3.3. Aparate de separare prin vaporizare adiabatică

Din punct de vedere funcțional s-au construit două tipuri de aparate: aparate care realizează procesele de expandare, separare a fazelor, colectare a fazei lichide și condensare în același volum / 37 / și aparate cu volum de condensare separat de volumul de captare a fazei lichide / 38 /.

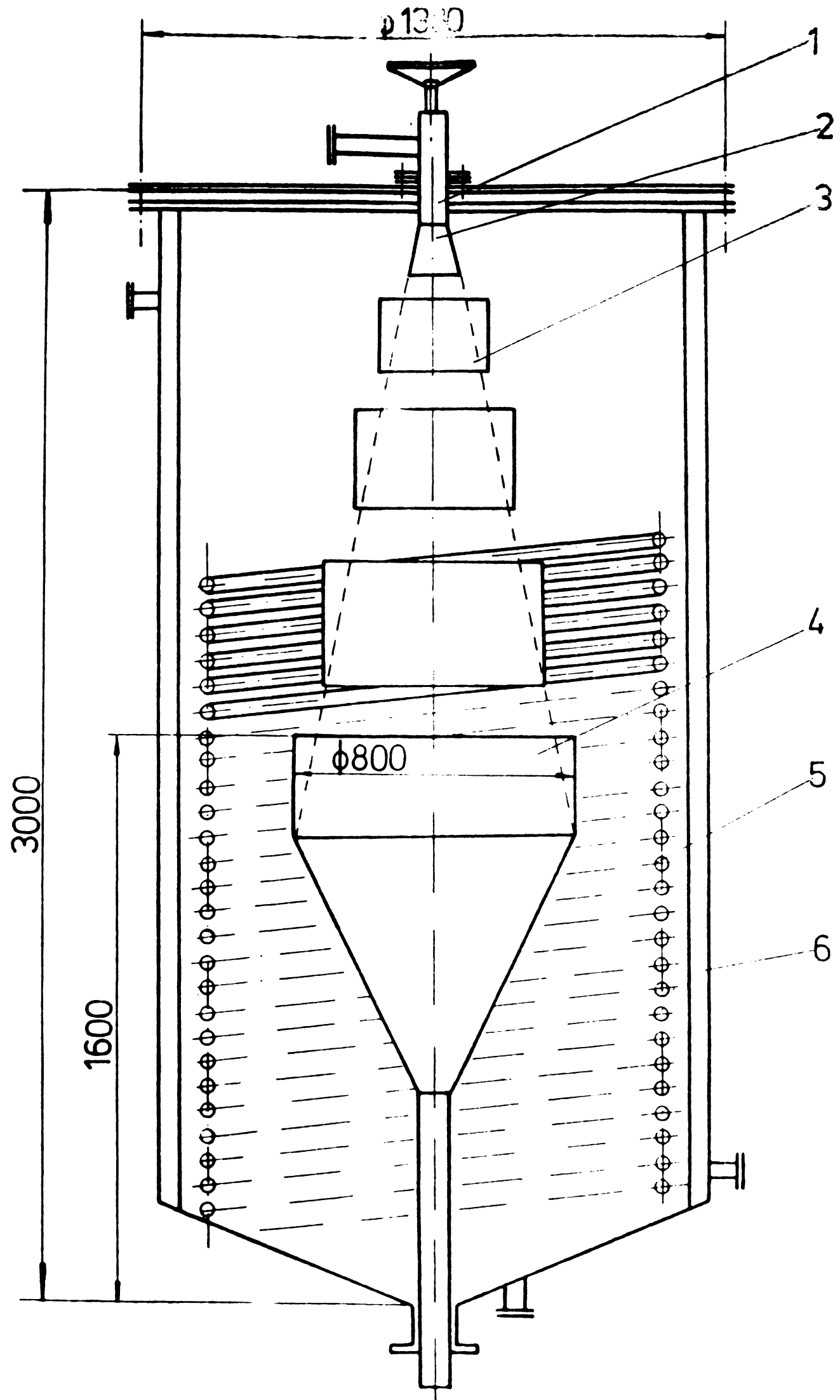


Fig.13 Aparat de expandare-condensare

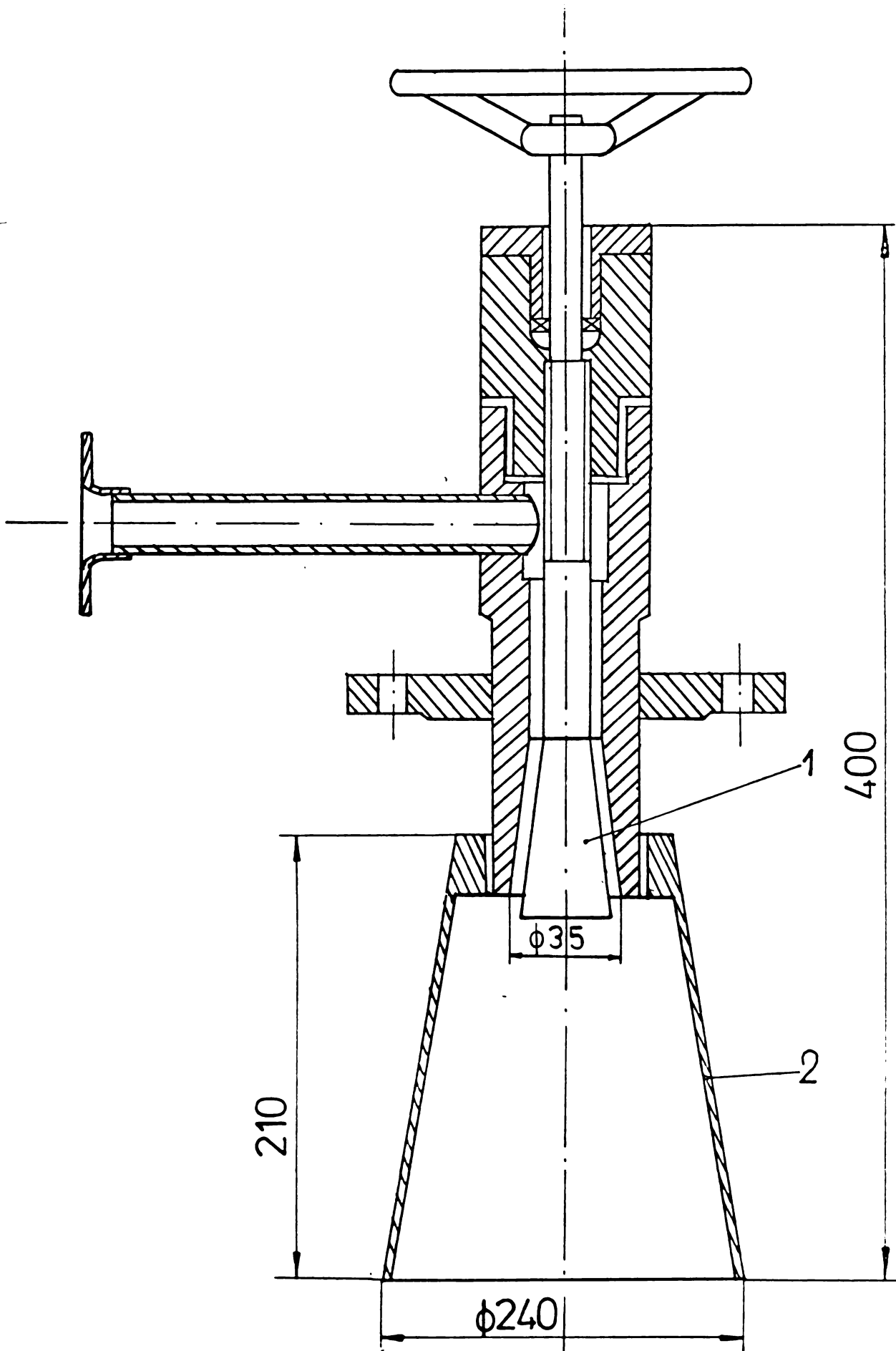


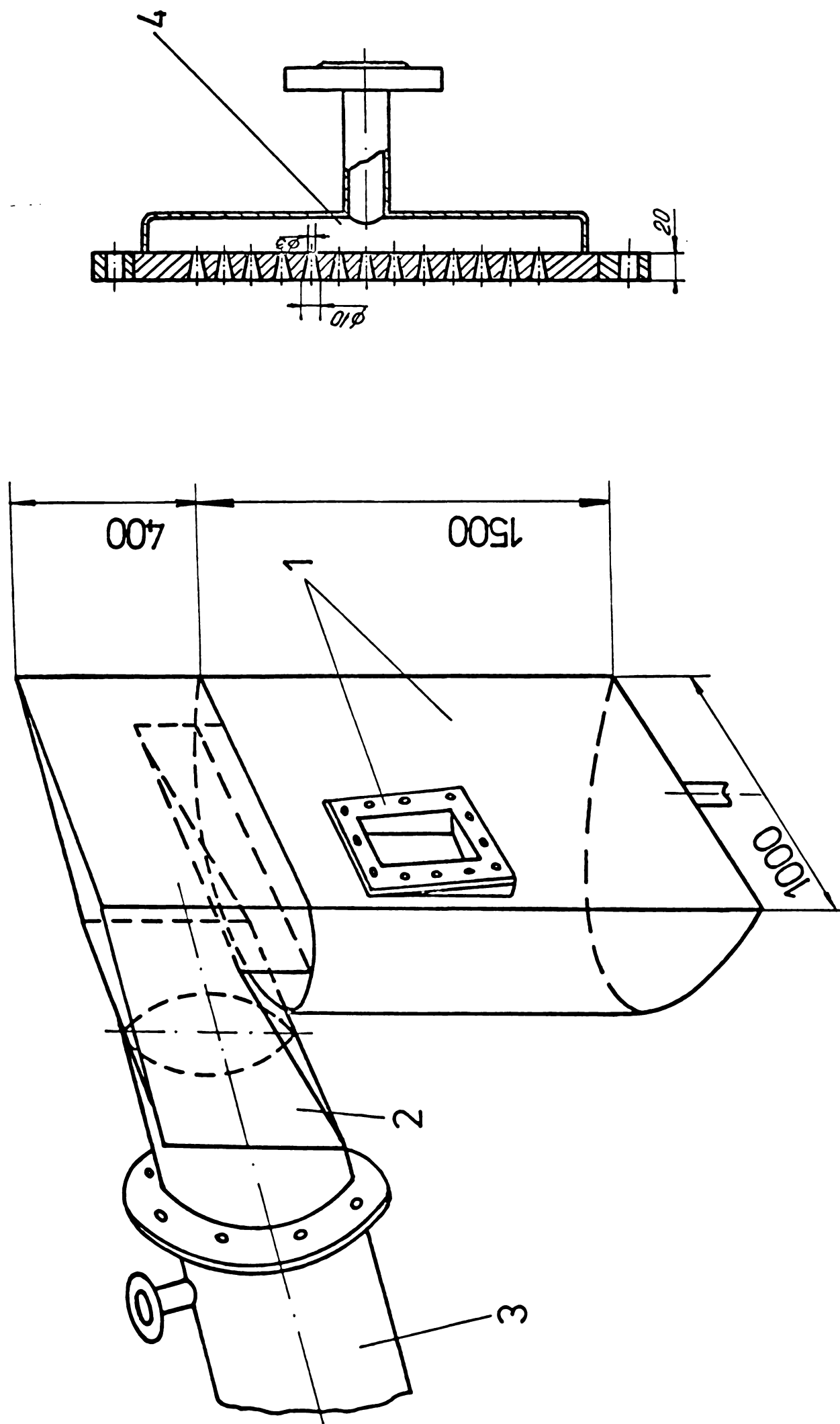
Fig.14 Duză cu secțiune inelară reglabilă

In fig.13, se prezintă un aparat de "expandare - condensare" cilindric care realizează procesele de expandare, captare a fazei lichide și condensare în același volum. La acest aparat, pentru separarea fazei lichide dispersate de faza de vapori sunt prevăzute limitatoare de jet 3, între duza 1, cu secțiune inelară reglabilă și deschidere conică de expansiune, distributiorul de jet 2 (fig.14), și pilnia colectoare cu nivel de lichid 4, pentru faza lichidă. Condensarea are loc la nivelul serpentinelor 5. Aparatul construit la o capacitate de 3500 - 6000 l/h amestecuri lichide supraîncălzite a permis separarea practic totală a fazei de vapori de faza lichidă.

In fig.15, este redat un aparat de expandare - condensare semicilindric, cu volum de condensare separat de volumul de captare a fazei lichide, format din: colector de fază lichidă cu flansă cu dublă înclinație în direcția laterală și în jos 1, pentru bateria de duze circulare cu deschidere conică de expansie 4, hotără de expandare 2, și condensator 3. Aparatul, construit la capacitatea de 3500 - 6000 l/h amestecuri lichide supraîncălzite, a permis de asemenea separarea practic totală a fazei de vapori de faza lichidă.

Deschiderea conică a duzelor, are rolul de a împiedica dispersia jetului de expansie în volumul de expandare - condensare. În acest sens alte tipuri de duze nu au dat rezultate satisfăcătoare. În ceea ce privește dimensionarea duzelor de expansie, trebuie menționat faptul că secțiunea efectivă de trecere a lichidului supraîncălzit este mai mică decât secțiunea duzei. Această micșorare se datorează faptului că la nivelul duzei are loc o destindere bruscă a lichidului supraîncălzit de la presiunea de alimentare a duzei la presiunea din aparatul de expandare - condensare, cu vaporizare practic totală. Micșorarea secțiunii de trecere este funcție de compozitia amestecului lichid și de disponibilul calorific. Pentru evitarea vaporizării înainte de duza trebuie avut în vedere raportul dintre secțiunea conductei de alimentare și sec-

Fig.15 Aparat de expandare-condensare



țiunea duzei și, respectiv, presiunea de alimentare.

3.4. Procedeu de distilare prin vaporizare adiabatică în trepte.

Procedeul s-a experimentat cu bune rezultate, la unele distilări azeotropice, de exemplu la separarea acrilonitrilului din apele de absorbție. În cazul apelor de absorbție de la sinteza acrilonitrilului din acid cianhidric și acetilenă, distilarea prin procedeul de supraîncălzire - expansare - condensare se poate face în două trepte: prima treaptă de supraîncălzire a apelor de absorbție la $105 - 120^{\circ}\text{C}$, pentru separarea azeotropului acrilonitril - apă (88% acrilonitril, 12% apă, temperatură de fierbere 71°C), și a doua treaptă de supraîncălzire la $170 - 180^{\circ}\text{C}$ a reziduului de la prima treaptă de expandare - condensare, pentru separarea avansată a acetaldehidcianhidrinei și acrilonitrilului / 36 /.

În continuare în figura 16, se prezintă fluxul tehnologic la un pilot cu capacitatea de 200 l/h ape de absorbție. Apele de absorbție din rezervorul colector 1, sunt trimise cu pompa 2, la o presiune mai mare decât cea strict necesară pentru menținerea amestecului în fază lichidă, în schimbătorul de căldură 3, unde se supraîncălzesc la 120°C , după care sunt expandate prin duza cu secțiune circulară și deschidere conică de expansie 4, în aparatul de expandare - condensare 5. Distilatul este trecut în vasul separator 6, unde se separă acrilonitrilul de apă. Reziduul de la prima expandare este trecut în rezervorul 7, de unde cu pompa de presiune 8, este trimis la schimbătorul de căldură 9, unde se supraîncălzește la $170 - 180^{\circ}\text{C}$, după care este expandat în aparatul de expandare - condensare 10.

Procedeul descris prezintă un dublu avantaj față de cel actualmente practicat (separarea în coloane de antrenare cu reflux) : se elimină infundările provocate de reacțiile de policondensare și polimerizare și se reduce consumul de hipoclorit pentru distrugerea acetaldehidcianhidrinei din apele reziduale cu cca. 80%.

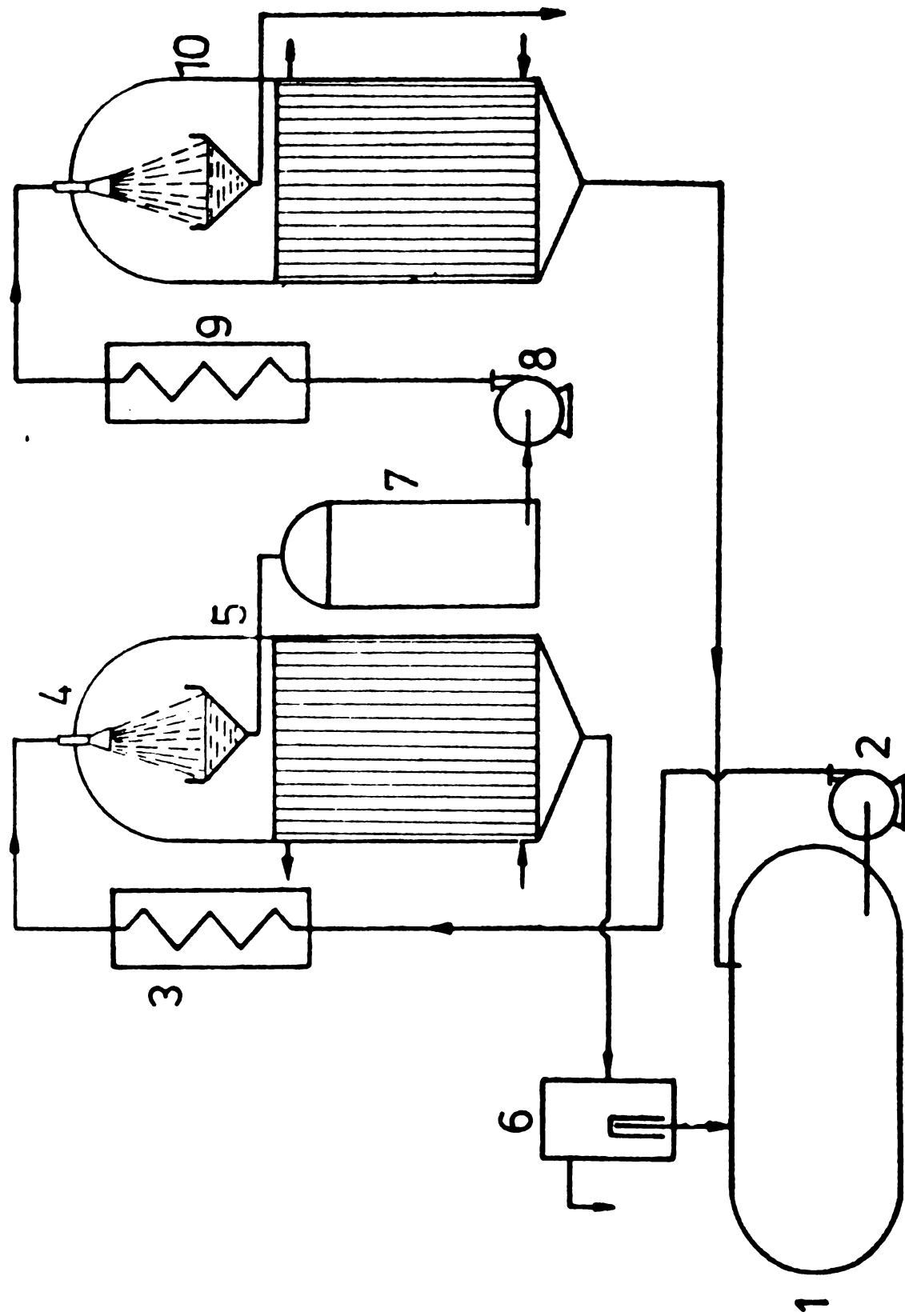


Fig.16 Instalație pilot pentru distilarea amestecurilor prin vaporizare adiabată în trepte

TABLELUL 11

Separarea acrilonitrillului (ACN) și a acetaldihidroanilinului (CN⁻) din apele de absorbție prin procedeu de suprăîncălzire-expandare-condensare în două trepte:

Treapta a I-a

Ape de absorbție-compoz.	Temp. de supraîncălz.	Pres.	Reziduu compoz.	Distilat - componzie	
				Organică	apoi să
ACN	20,10	120	6	ACN	4,30
CN ⁻	2,30	-	-	CN ⁻	1,10
Debito: 1/h					
203	-	-	183	16,8	3,2

Treapta a II-a

Reziduu treapta I, compoz.	Temp. de supraîncălz.	Presiunea	Reziduu compoz.	Distilat compoz.	
				Organică	apoi să
ACN	4,30	170—180	10—12	ACN	0,30
CN ⁻	1,10	-	-	CN ⁻	0,22
Debito: 1/h					
183	-	-	157 ¹⁴	251 ⁶	251 ⁶

In tabelul 11, sunt prezentate rezultatele experimentale obtinute la instalatia pilot. Expandarile au avut loc la presiunea normală.

3.5. Posibilități de aplicare la alte amestecuri

Prin supraîncălzirea reziduului coloanelor de rectificare, urmată de expandare și reciclarea fazei de vapori separată, în zona de epuizare a coloanelor de rectificare, se pot crește randamentele de separare, respectiv scurta durata de încălzire pentru reducerea pierderilor de produsi prin degradări termice / 40 /. Procedeul s-a experimentat la separarea acrilonitrilului din soluții apoase diluate. In figura 17, se prezintă fluxul tehnologic la o instalatie de separare prin " antrenare cu rectificare și supraîncălzire - expandare " cu o capacitate de prelucrare de 800 l/h soluție apoasă de acrilonitru. Soluția apoasă cu o concentrație de 1,5% acrilonitru este trimisă din rezervorul 1, cu pompa 2, în coloana de antrenare cu rectificare 3. Soluția epuizată având temperatură de 100°C este introdusă prin intermediul pompei 4, în schimbătorul de căldură 5, unde se supraîncălzește la temperatura de 165°C la presiunea de 9 at. Din schimbătorul de căldură 5, soluția epuizată supraîncălzită este expandată printr-o baterie de duze, în aparatul de expandare 6. Faza de vapori separată la expandare este reciclată la treimea inferioară a coloanei de antrenare cu rectificare, iar faza lichidă reprezentând reziduul, este evacuată. Aburul necesar separării este distribuit atât la coloana de antrenare cu rectificare 3, prin intermediul unui reductor de presiune 7, cât și la schimbătorul de căldură 5.

Datele experimentale sunt redate în tabelul 12. Rezultate similare s-au obținut la separarea amoniacului din apele reziduale / 39 /. Procedeul poate fi aplicat de asemenea în mod avantajos la unele distilări azeotropice, precum și la separarea unor amestecuri la care au loc degradări termice sau reacții chimice secundare / 121 /.

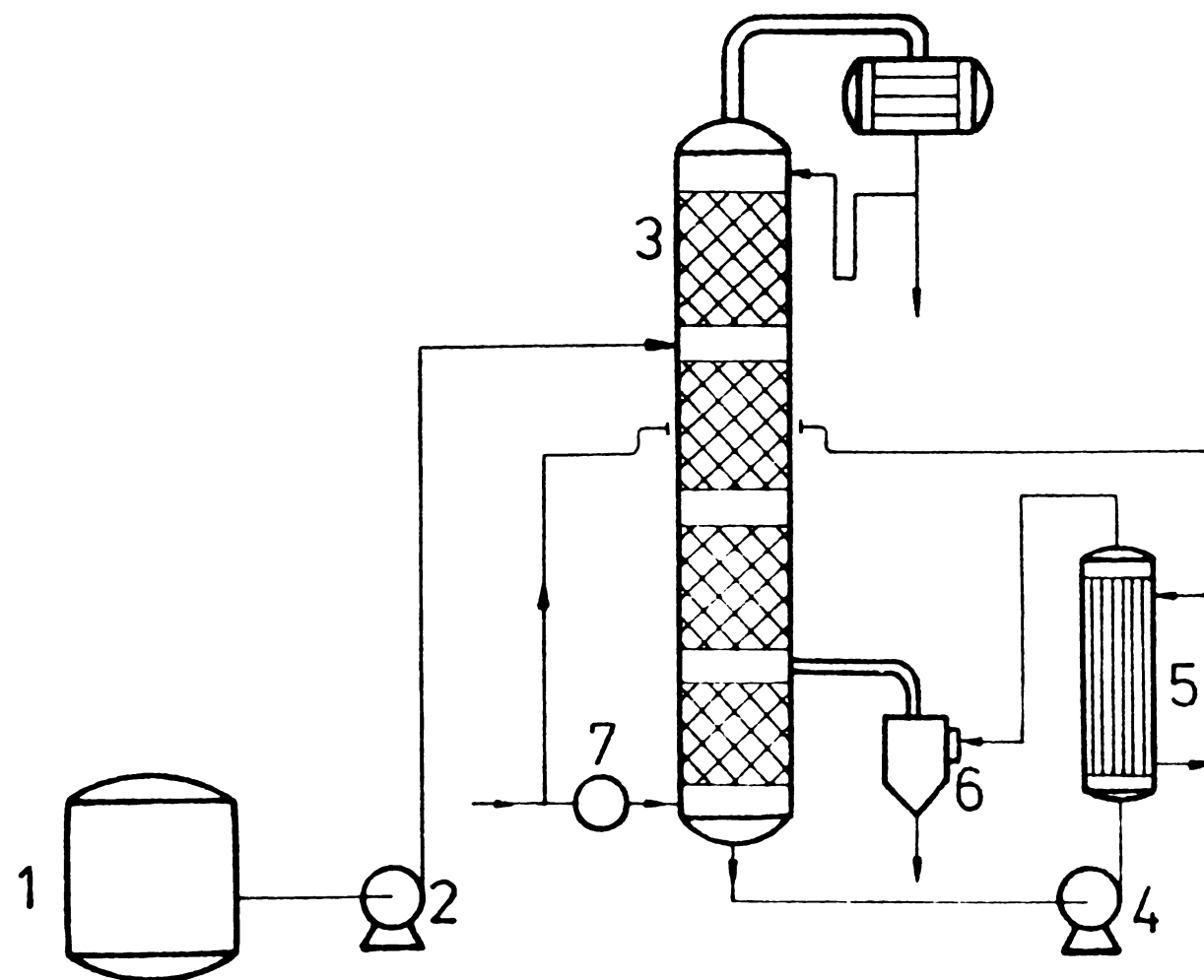


Fig.17 Instalație pilot pentru separarea amestecurilor prin antrenare cu rectificare și supraîncălzire-expansare.

TABLEUL 12

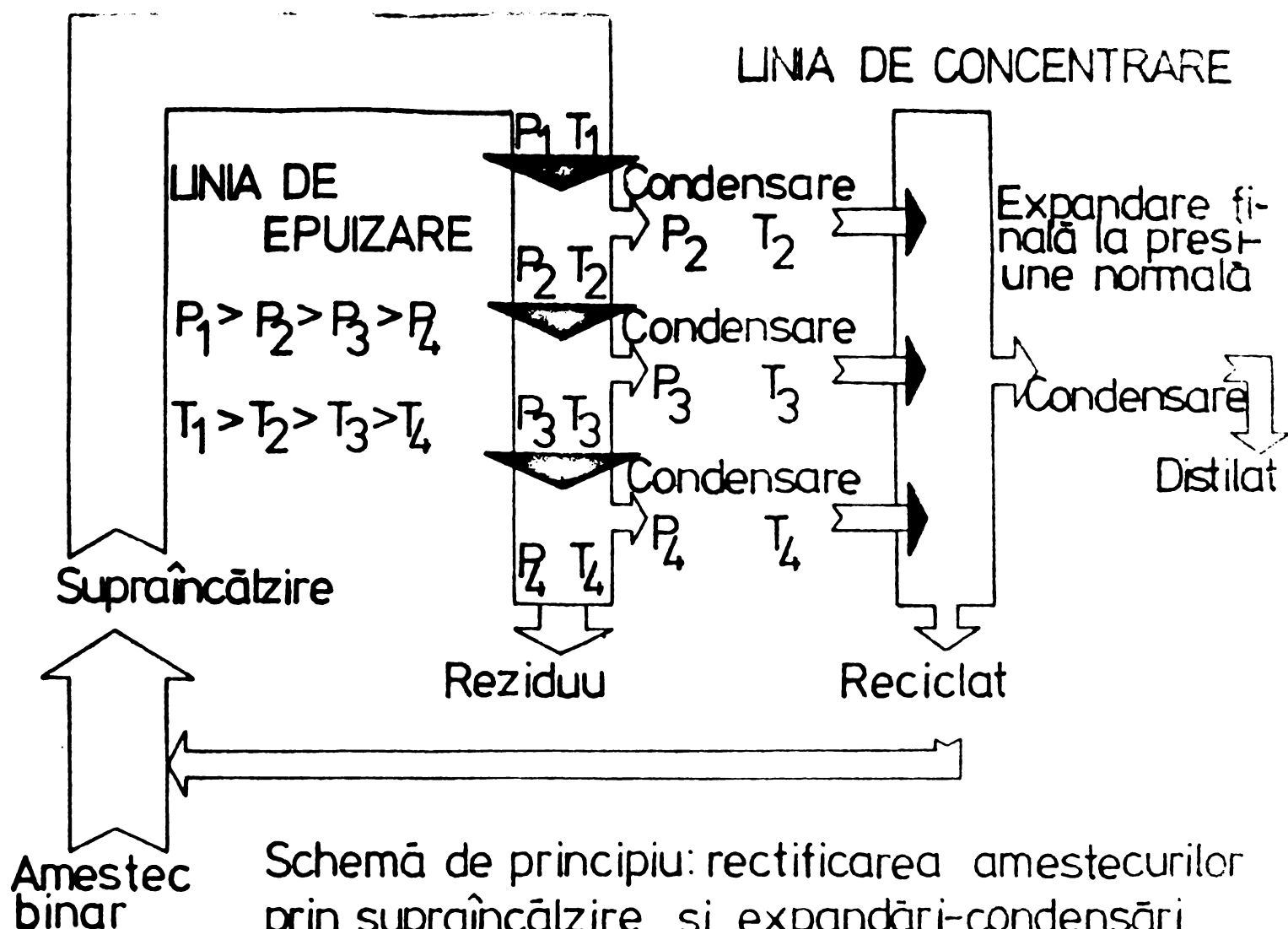
**Separea acrilonitrilului (ACN) din soluții apăsă diluate
de concentrație 1,5%**

Antrenare cu rectificare zire - expandare Temp. de sustragere = 165°C			
Debit alimentare	Conc. (ACN) în reziduu	Conc. (ACN) în recepție	Conc. (ACN) în receptor
1/h	%	1/h	%
800	0,051	88	800
1000	0,150	88	1000
			0,0049
			88
			0,015

3.6. Procedeu de rectificare prin vaporizări adiabate și condensări successive

Caracteristica cea mai importantă a procedeului de distilare continuă în echilibru prin supraîncălzire - expandare - condensare, și anume realizarea practic instantanea a vaporizării și a echilibrelor termodinamice lichid - vapozi, la nivelul duzelor de expansie, oferă posibilitatea rectificării amestecurilor cu viteze mari, prin expandări - condensări successive ale amestecului supraîncălzit / 41, 42 / (schema de principiu din fig.18). Amestecul lichid supraîncălzit, trecând din treaptă în treaptă de expandare - condensare, se epuizează în componentul ușor volatil. La fiecare treaptă de expandare - condensare se condensează, fără răcire, o fracțiune din cantitatea totală de vapozi corespunzătoare disponibilului calorice format la supraîncălzire. Fiecare treaptă a expandării succesive reprezintă un sistem lichid - vapozi în echilibru termodinamic și, deci un taler teoretic de distilare. Condensatele sunt și ele supuse unei trepte de expandare - condensare (taleri de distilare). Treapta comună de expandare finală la presiunea normală a condensatorilor reprezintă primul taler de concentrare; fază lichidă separată în această treaptă și reciclată la supraîncălzire reprezintă, din punct de vedere energetic, refluxul, iar fază de vapozi care se condensează reprezintă recepția. Ca și la procedeul clasic, rectificarea are loc prin două procese, care decurg simultan: epuizarea și concentrarea în componentul ușor volatil. În schema de principiu sunt prevăzute trei expandări pe linia de epuizare și trei expandări pe linia de concentrare.

În cazul procedeului clasic de rectificare, la un număr infinit de talere teoretice refluxul este minim adică consumul de energie este minim. La rectificarea prin supraîncălzire și expandări - condensări successive, consumul de energie este minim cind numărul de expandări - condensări este infinit. La un număr infinit de expandări - condensări fază lichidă separată pe linia de concentrare și reciclată la supraîncălzire, R, este cantitativ minimă, și recepția în component ușor volatil D, este maximă.



Schemă de principiu: rectificarea amestecurilor prin supraîncălzire și expandări-condensări successive

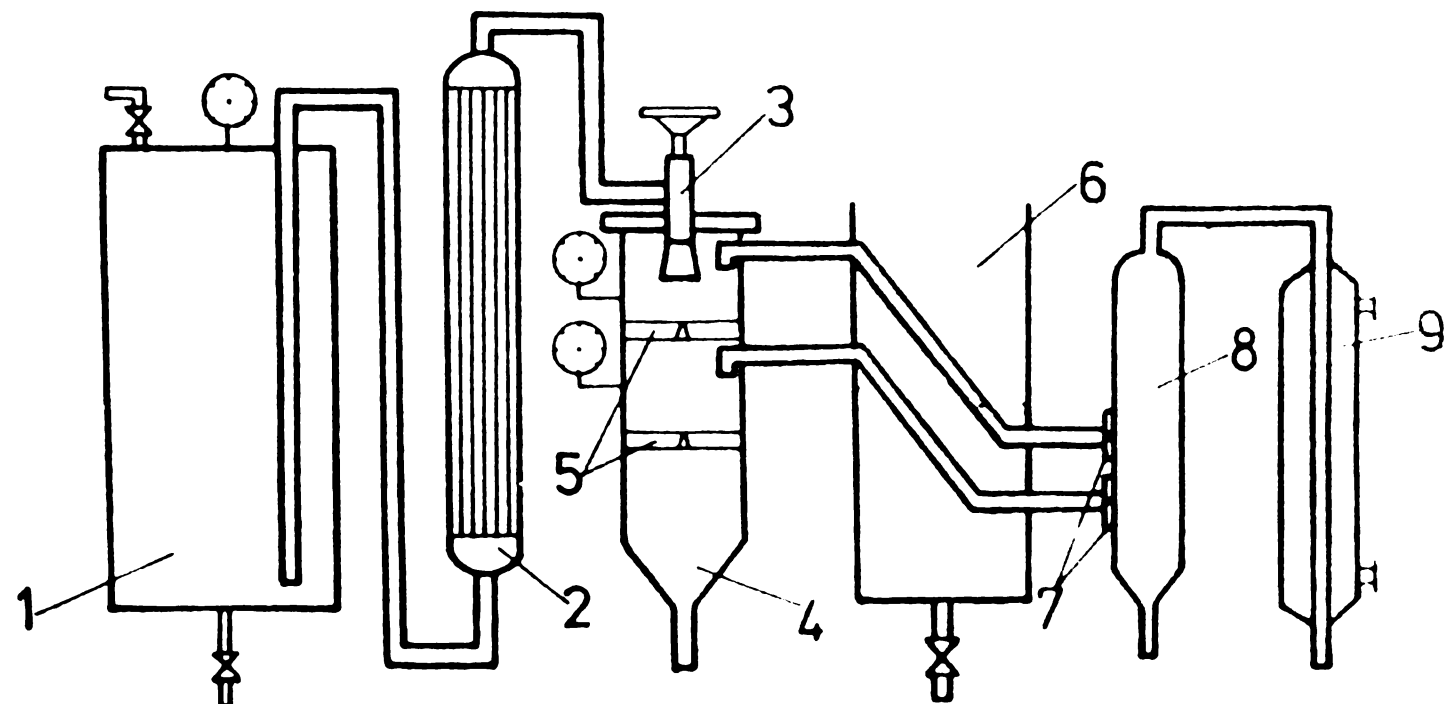


Fig.18 Instalație pilot pentru rectificarea amestecurilor prin supraîncălzire și expandări-condensări successive

TABLEU 12

Rezultate experimentale obținute la pilotul de rectificare
a amestecurilor prin suprafincălzire și expandări-condensări
sucesive

Apx - acetona		x_1	$T_g, {}^{\circ}C$	$y_1(D)$	$y_1(R)$	Pres. supraîncălz.	Pres. treapta I	Pres. treapta II
x_2	x_3							
0,305	138	0,108	0,90	0,42	13	1,6	0,6	

Benzon - acetona								
0,300	145	0,210	0,530	0,360	13	2,1	1,2	

In figura 18, este prezentată, alături de schema de principiu, schema de construcție a pilotului de rectificare format din: rezervor cu monjusare 1, schimbător de căldură 2, duză de expansiune cu secțiune reglabilă 3, coloană de epuizare 4, cu două trepte de expandare, respectiv două duze de expandare 3 și 5 superioară și o duză pentru menținerea nivelului 5, inferioară, condensator 6, două duze de expandare pentru condensate 7, coloană de expandare finală 8, pentru expandarea condensatelor și separarea fazelor lichide pentru reciclare, de faza de vaporii, și condensator pentru distilat 9.

Diminuarea vitezei jetului de expansie și separarea fazelor s-a realizat prin trecerea jetului de expansie în spații reduse formate prin montarea concentrică a unor cărăi tronconice cu perete subțire.

Caracteristicile tehnice ale pilotului:

1. Coloana de epuizare, poz.4

$H = 700 \text{ mm}$; $\varnothing = 60 \text{ mm}$.

\varnothing duze poz.5: 3 mm; 2,5 mm.

2. \varnothing țevi condensator, poz.6 : 20 mm

L țevi: 600 mm; 420 mm

3. Coloana de expandare finală, poz.8.

$H = 400 \text{ mm}$; $\varnothing 60 \text{ mm}$

\varnothing duze expandare condensate : 1,5 mm , 1 mm.

4. Capacitate de rectificare: ~ 2 l/min amestecuri.

Pilotul s-a putut menține în regim optim de funcționare circa 10 minute.

Rezultatele experimentale sunt redate în tabelul 13.

3.7. Rendamente obținute la separarea acetaldehidcianhidrinei din apele reziduale prin distilare cu vaporizare adiabatică.

3.7.1. Faza de laborator.

La baza experimentelor au stat ape reziduale pro-

venite de la instalația de fabricare a acrilonitrilului din acid cianhidric și acetilenă, care a funcționat la Combinatul de Fibre Sintetice Săvînești. Concentrația în cianhidrină, exprimată în ion CN^- , în acest caz, nu diferă semnificativ de cea a apelor reziduale provenite de la fabricarea acrilonitrilului din propilenă amoniac și aer, cu deosebirea că în primul caz este reprezentată în exclusivitate de acetaldehidcianhidrina iar în cazul al doilea de acetoncianhidrina, mai ușor de separat atât ca urmare a vitezei mai mari de descompunere la supraîncălzire cît și a faptului că produși de descompunere nu se adiționează în fază de vapori, la procesul de separare a fazei lichide de fază de vapori din jetul de expansiune.

De asemenea apele reziduale conțin, în cantități relativ mici, produși specifici celor două tehnologii, anume sulfat de amoniu și în deosebi acetonitril în cazul procedeului pe bază de propilenă amoniac și aer și respectiv produși de adiție ai acetilenei, în cazul procedeului pe bază de acid cianhidric și acetilenă, produși care în ambele cazuri nu afectează randamentele de separare a cianhidrinelor.

Aapele reziduale care au stat la baza experimentelor au avut pH-ul 3 - 5, și compoziția prezentată în tabelul 14.

TABELUL 14

Compoziția apelor reziduale de la fabricarea acrilonitrilului din acid cianhidric și acetilenă.

Denumirea produsului	Concentrația medie, %
acrilonitril	0,04
acetaldehidcianhidrina	0,13 exprimată în CN^-
	0,22 exprimată în aldehidă acetică echivalentă.
alți produși, respectiv:	0,0035
- monovinilacetilenă	
- metilvinilcetonă	
- divinilacetilenă	

- Continuare la tabelul 14 -

- acetonitril

- propionitril

Din studiul reacțiilor de eliminare în soluții apoa-se (fig.4), rezultă că vitezele de eliminare la cianhidrine sunt apreciabil întârziate la pH sub 5. În cazul tehnologiilor de fabricare a acrilonitrilului pe bază de propilenă amoniac și aer, pH-ul apelor reziduale variază, în general, între valorile 5 - 6, pH care permite obținerea unor randamente superioare de separare a cianhidrinei.

Instalația de laborator pentru eliminarea acetaldehidcianhidrinei din apele reziduale este formată, în acord cu poziționarea din schema, din:

1. - recipient de supraîncălzire cu rezistență electrică și termometru. $V = 15 \text{ l.}$ (fig. 19)
2. - duză de expansie cu secțiune circulară și deschidere conică, cu dublă înclinare în direcția lateral și în jos.
3. - Expandor cu perete cilindric. $V = 0,42 \text{ l.}$
4. - Condensator
5. - Vas colector pentru reziduu.
6. - Vas colector pentru distilat.
7. - Pompă de vid

Capacitatea maximă : 1 l/min. ape reziduale.

Experimentările la instalația de laborator au avut drept scop verificarea ipotezei privind posibilitatea unei eliminări mai avansate a acetaldehidcianhidrinei, prin supraîncălzirea apelor reziduale urmată de expandare și condensarea fazei de vapori, precum și stabilirea efectelor presiunii din volumul de expandare - condensare a fazei de vapori, asupra procesului de eliminare a acesteia. Rezultatele obținute sunt redate în tabelul 15.

Din datele prezentate rezultă că eliminarea acetaldehidcianhidrinei este mai avansată odată cu creșterea temperatu-

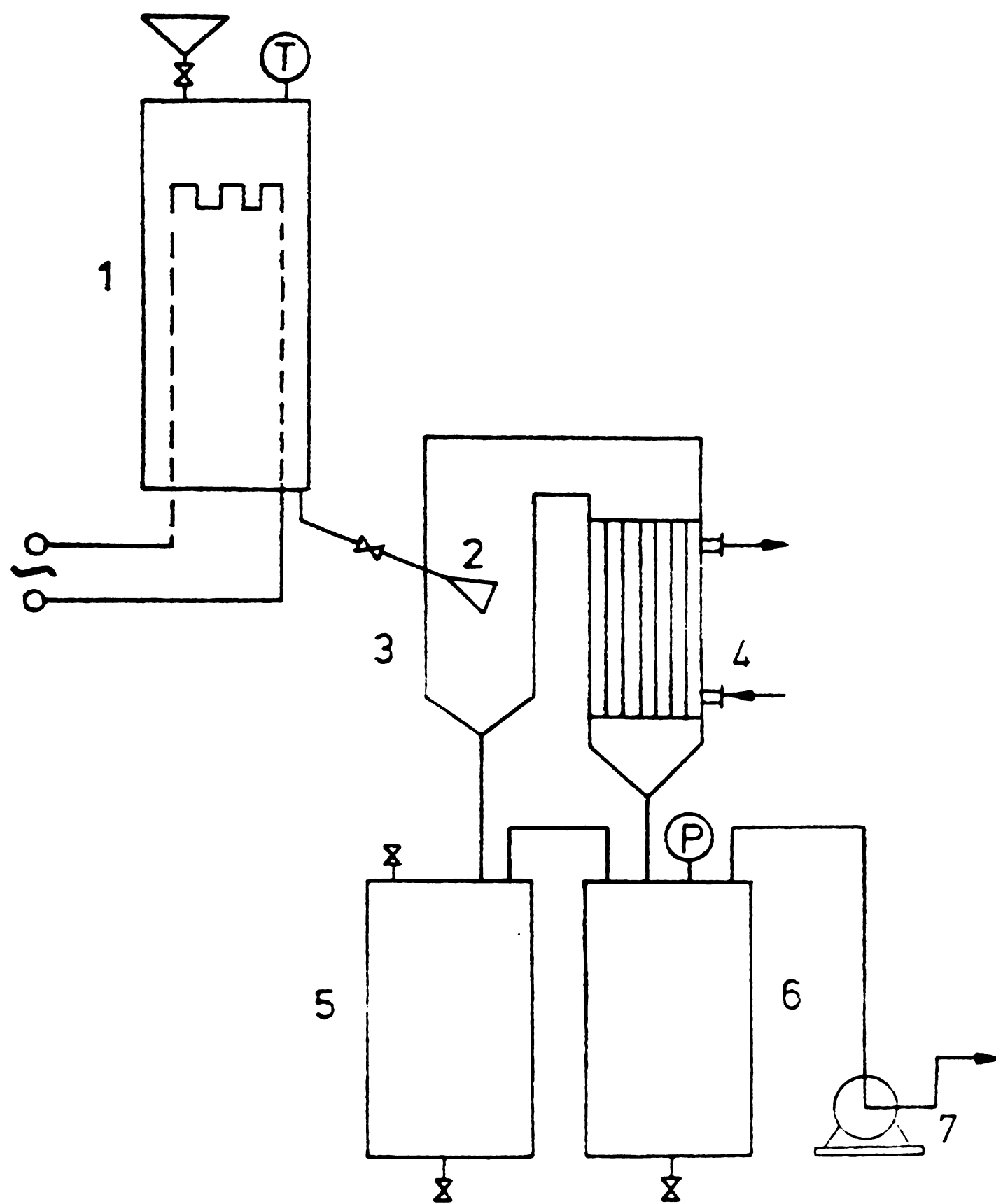


Fig.19 Instalația de laborator pentru eliminarea acetaldehidcyanhidrinei din apele reziduale

TABELUL 15

Eliminarea acetaldehidului din apele reziduale efectuată la instalația de laborator la temperaturi de suprafincăzire de $120 - 180^{\circ}\text{C}$ și presiuni de $760 - 50 \text{ mmHg}$

Nr. crt.	Compoz.ape reziduale $\text{mg/l}_1 \text{ CN}^-$	Temperatura de suprafincăz. $^{\circ}\text{C}$	Presiunea din volumul de expand. - cond. mmHg	Compoz.rezi- duu $\text{mg/l}_1 \text{ CN}^-$
1.		120	760	827
2.		150	760	520
3.		180	760	420
4.	1.446	180	660	404
5.		180	370	382
6.		180	220	440
7.		180	100	588
8.		180	50	638

TABELUL 16

Eliminarea acetaldehidului din apele reziduale
la instalația micropilort la temperaturi de suprafață -
sire de 180 - 230°C și presiunea de 760 mmHg

Nr.	Compoz.ape rezid. art.	Temp. de suprafață C	Compoz. reziduum mg/l, CN ⁻
1.	1080	180	230
2.	1080	220	208
3.	1080	230	187
4.	6390	230	1950

rii de supraîncălzire a apelor reziduale și respectiv cu scăderea presiunii din volumul de expandare - condensare, dar nu sub anumite valori, la care devine mai puțin eficientă decât la presiunea normală.

Scăderea presiunii din volumul de expandare - condensare are două efecte cu influențe contrare asupra evoluției procesului de separare a acetaldehidcianhidrinei din apele reziduale prin procedeul de supraîncălzire - expandare - condensare. Intr-un sens îngreunează adiția acidului cianhidric la aldehyda acetică în fază gazoasă, reacție care are loc cu scădere de volum, favorizând procesul, iar în alt sens scade viteza de condensare și respectiv de separare a fazelor, ca urmare a creșterii volumului specific al vaporilor, defavorizându-l.

In condițiile de experimentare, rezultatele cele mai bune, dar nu de eficiență deosebită, s-au obținut la presiuni în volumul de expandare - condensare, de 660 - 370 mmHg, tabelul 15.

Din datele prezentate în tabelul 16, rezultă că temperaturi de supraîncălzire de peste 180°C nu duc la scăderi considerabile de acetaldehidcianhidrină în reziduu. Era, de altfel de așteptat, ca odată cu creșterea concentrației componentilor de descompunere în fază de vapor, viteza de reformare a acetaldehidcianhidrinei în fază gazoasă și respectiv viteza de separare a fazelor prin condensare să devină limitativă la obținerea unor concentrații reduse în reziduu. Ca urmare la creșterea concentrației de acetaldehidcianhidrină în soluția apoasă, tabelul 16, experimentul nr.4, o separare avansată s-a putut realiza numai la o instalație de supraîncălzire - expandare - condensare în trepte, fig. 16 și tabelul 11. Obținerea unor rezultate mai bune, la o singură treaptă, implică, în consecință, perfecționarea aparatului de expandare - condensare, respectiv mărirea vitezei de condensare care este determinantă de proces la separarea acetaldehidcianhidrinei prin vaporizare adiabatică și condensare.

3.7.2. Faza pilot.

Datorită faptului că apele reziduale de la instalația

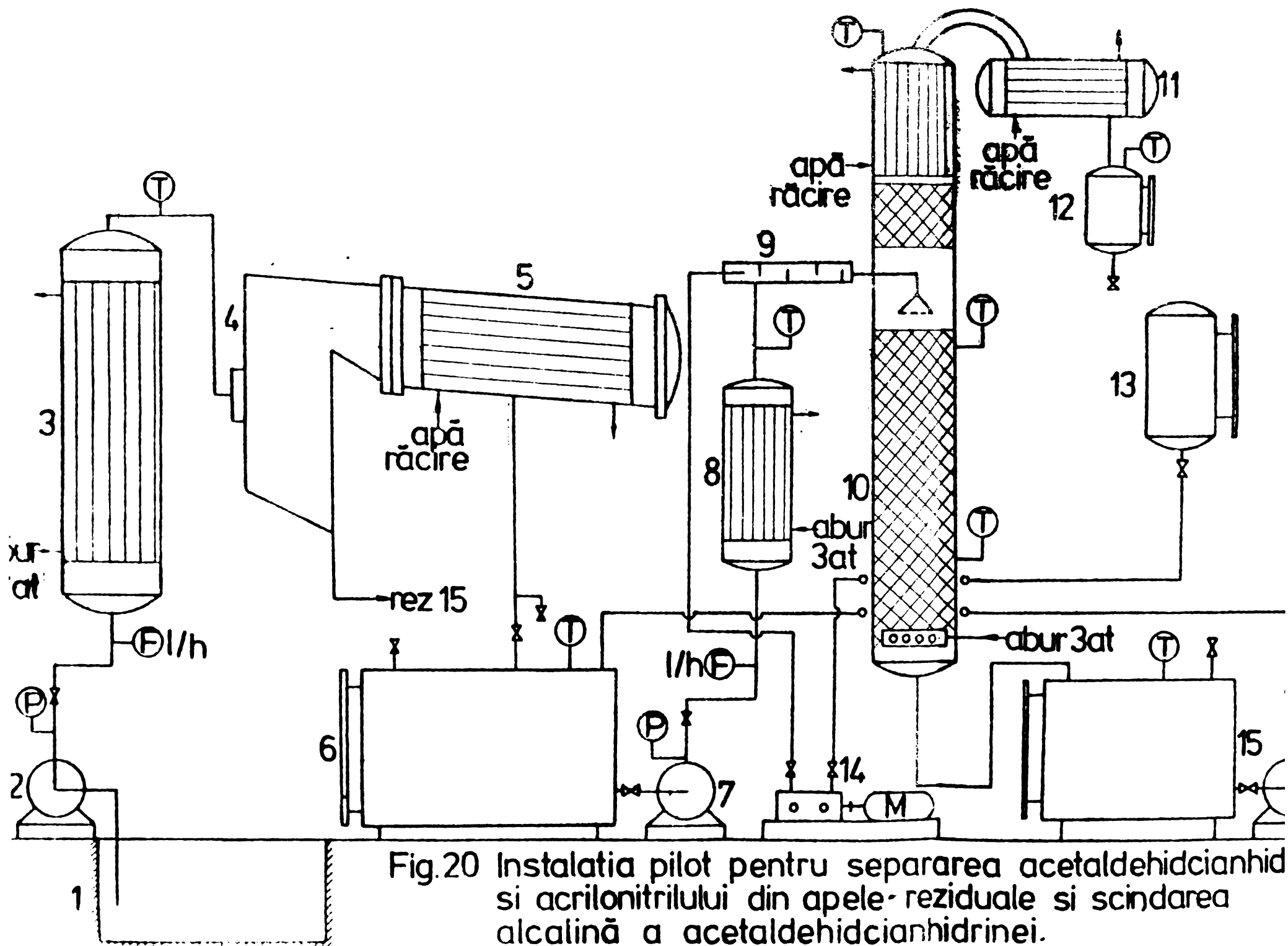


Fig.20 Instalatia pilot pentru separarea acetaldehidcianhidriului si acrilonitrilului din apele-reziduale si scindarea alcalină a acetaldehidcianhidrinei.

de fabricare a acrilonitrilului pe bază de acetilenă și acid cianhidric, care a funcționat la CFS Săvînești, au avut un conținut relativ ridicat de acrilonitril, a fost necesar ca distilatul obținut prin expandare - condensare (concentratul apos) să fie supus unei antrenări cu deflegmare, în vederea separării acrilonitrilului.

Instalația pilot prezentată în figura 20, este formată, în acord cu poziționarea din schema, din:

1. Bazin de ape reziduale
2. Pompă de alimentare
3. Schimbător de căldură.
4. Aparat de expandare semicilindric, prevăzut cu o baterie de duze de expansie și izolație termică.
5. Condensator.
6. Rezervor colector distilat (concentrat apos de acetaldehidcianhidrină și acrilonitril), prevăzut cu indicator de nivel.
7. Pompă de alimentare coloană de antrenare.
8. Schimbător de căldură.
9. Amestecător static cu gicane ($\varnothing = 40$ mm, $l = 300$ mm) și sită de dispersie pentru concentratul apos și soluția de hidroxid de sodiu.
10. Coloană de antrenare cu deflegmator.
11. Condensator.
12. Rezervor recepție azeotrop acrilonitril - apă și respectiv condensat cu conținut de aldehidă acetică, prevăzut cu indicator de nivel.
13. Rezervor soluție de hidroxid de sodiu, prevăzut cu indicator de nivel.
14. Pompă de dozare soluție hidroxid de sodiu,
15. Rezervor colector reziduu coloană de antrenare, utilizat și la colectarea reziduului de la faza de expandare - condensare, prevăzut cu indicator de nivel.

16. Pompă recirculare reziduu caloană de antrenare.

Passa de separare a acrilonitrilului prin antrenare cu abur, a fost utilizată totodată și la scindarea alcalină a acetaldihidroanhidridinei și separarea concomitentă cu abur a aldehidelor acetice, fapt ce s-a avut în vedere la proiectarea ei.

Aparatul de expandare - condensare, prezentat și în figura 15, are capacitatea maximă de prelucrare de 6000 l/h ape reziduale supraîncălzite la 180°C . S-au utilizat baterii de duse cu deschidere comună de expansie și orificii circulare de $\varnothing = 2$ și $3,5$ mm. În tabelul 17, se redau debitele determinate experimental la dusele cu $\varnothing = 2$ și $3,5$ mm, cu apele reziduale cu conținut de acetaldihidroanhidridină și acrilenitril, tabelul 14, supraîncălzite la 180°C .

Caloana de antrenare are înălțimea de 4500 mm, din care 500 mm este (este) înălțimea deflegmatorului, și diametrul de 200 mm.

TABELUL 17.

Debitele determinate experimental la dusele de expansie cu secțiuni circulare.

Ape reziduale supraîncălzite la 180°C la pre-	Diametrul dusei	Debitul, calculat prin in-
sarcină:	mm	marea rezidului și a conden-
10	2	230
15	2	260
10	3,5	530
15	3,5	550

Înplătirea este formată din inele Rastig cu $d = 32$ mm. Alimentarea este efectuată la distanța de 1500 mm de la vîrful caloanei. Antrenarea se realizează cu abur de 5 at. Capacitatea de

TABLEUL 18

separarea acetaldehidului hidronel (CN^-) și acrilonitrilului (ACN) din apele reziduale prin procedul de suprarezăcire-expansare-condensare, la instalația pilot (fig. 20). Expansarea se realizează la presiunea normală.

Compoz. ape reziduale	Debit ape rezid.	Temp. de supra- fincălz.	Presiunea la supra- fincălz.	Debit re- ziduu(ape epuiz.)	Compoz. • reziduu (ape epuiz.)	Debit distilat (condensat)	Volum dis- tillat ra- portat la apele re- zid. supra- fincălz.	Compoz. • distilat
CN^- ... 0,13	3500	180	10	2951	CN^- ... 0,200	539	15,4	15,3
ACN ... 0,045					ACN ... 0,00266			ACN ... 0,277
.....
Bilanț de materiale:								
Intrat cu apele reziduale	Rămas în reziduu (în apele epuizate)	Separat în distilat (condensat)	Recuperat din apele reziduale în distilat (condensat)					
g/h	g/h	g/h	%					
CN^- ... 0 ... 4550	CN^- ... 0 ... 591,5	CN^- ... 0 ... 3958,5	CN^- ... 0 ... 87					
ACN ... 0 ... 1575	ACN ... 0 ... 78,75	ACN ... 0 ... 1496,25	ACN ... 0 ... 95					

=TABLEUL 12=

Separarea acrilonitrilului (ACN) din concentratul apos obținut prin suprafincăzirea apelor reziduale, expandare și condensarea fazei de vaporii la instalația pilot (fig.20).

Compoz. conc.apos	Debit ali- ment.coloa- nă	Temp.fund. ment.coloană	Temp. vîrf coloană	Compoz. reziduu de antrenare	Recepție azeotrop ACN:H ₂ O	Recepție azeotrop ACN:H ₂ O
%	l/h	°C	°C	%	1/h	1/h
CN ⁻ - - 0,734	600	60	100	71	CN ⁻ - - 0,623	2,34
ACN - - 0,277					ACN - - 0,015	

prelucrare a coloanei de antrenare este de 800 l/h concentrat apos de acetaldehidcianhidrină și acrilonitril, concentrat a cărui compoziție este redată în tabelul 19.

In continuare se prezintă fluxul tehnologic, în legătură cu figura 20, la separarea acetaldehidcianhidrinei și acrilonitrilului din apele reziduale prin procesul de supraîncălzire-expandare - condensare, și respectiv la separarea acrilonitrilului din concentratul apos obținut, prin antrenare cu abur și deflegmare. Apele reziduale din bazinul colector, 1, având temperatură de $60 - 70^{\circ}\text{C}$, sunt trimise cu pompa 2, la presiunea de 10 at și debitul de 3500 l/h, la schimbătorul de căldură 3, unde sunt supraîncălzite la temperatură de 180°C . Din schimbătorul de căldură 3, apele reziduale supraîncălzite, sunt expandate în aparatul de expansare 4, prin intermediul unei baterii de duze. Faza de vapori este condensată în condensatorul 5, și colectată în rezervorul 6. Reziduu, respectiv apele reziduale epuizate având temperatură de 100°C , sunt colectate în rezervorul 15, iar după stabilirea debitului și a compoziției sunt evacuate. Distilatul, respectiv concentratul apos de acetaldehidcianhidrină și acrilonitril colectat în rezervorul 6, având temperatură de 30°C , este trimis cu pompa 7, în schimbătorul de căldură 8. Din schimbătorul de căldură 8, concentratul apos având temperatură de 60°C intră în coloana de antrenare cu deflegmare 10. Separarea acrilonitrilului sub formă de azeotrop acrilonitril / apă, 88/12 %, se realizează prin antrenare cu abur la temperatură de 100°C , la fundul coloanei, și respectiv deflegmare la temperatură de 71°C . Produsul de vîrf este condensat în condensatorul 11, și recepționat în rezervorul 12. Reziduu de la antrenare este colectat în rezervorul 15, de unde în final este reciclat cu pompa 16, în rezervorul 6, în vederea scindării alcaline a acetaldehidcianhidrinei. Rezultatele obținute sunt redate în tabelele 18 și 19.

Din datele prezentate rezultă că la temperatura de supraîncălzire de 180°C și la tipul de aparat de expandare - condensare utilizat, acetaldehidcianhidrina se recuperă din apele reziduale cu un randament de 87% (consumul de hipoclorit pentru denocivizare scade cu 80%).

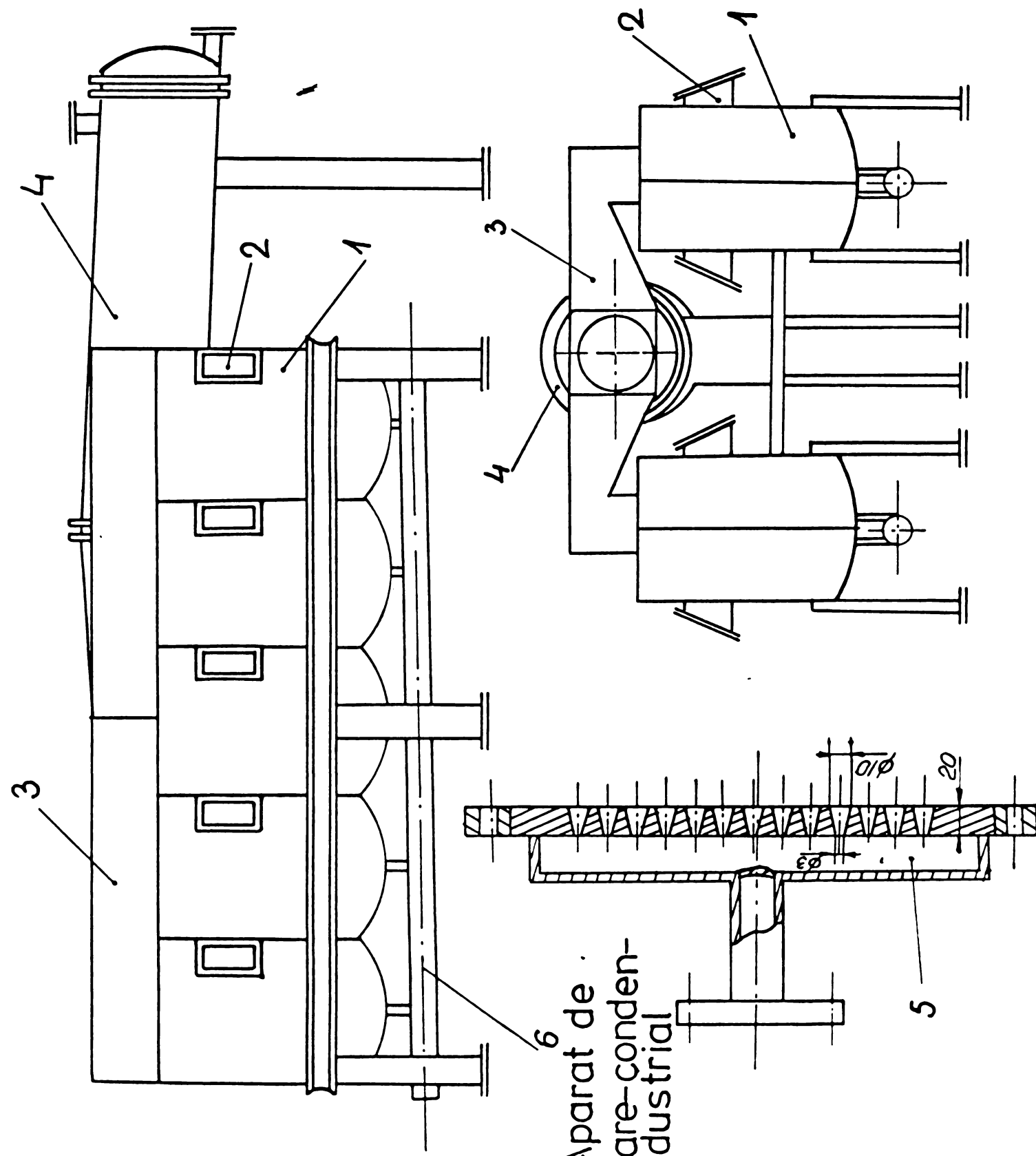


Fig. 2 Aparat de
expandare-conden-
sare industrial

TABLE II-29

separarea acrilonitrilului (ACN) din apele reziduale la aparatul de expandare-condensare industrial. Expansarea se realizează la presiunea normală

3 "

	ACN	C ₈	C ₉	C ₁₀	C ₁₁	C ₁₂	C ₁₃
% exper. calculat	1						
% calcd.							

Billant de matériaux

Bilant de materiale	In trat cu apele reziduale	Rămas în reziduu (în apele epuizate)	Separat în distilat (condensat)	Recuperat din apele reziduale în distilat (condensat)
de antrenare				

	kg/h	kg/h	kg/h	%
18	1.80	1.80	16.20	90

TABLEU 21

separarea acetaldehidului dei (CN⁻) din apele reziduale la aparatul de expandare-condensare industrial. Expansarea se realizează la presiunea normală

Compos.	Debit	Temp. de	Pres. la	Debit re-	Compos.	Debit	Volum distill.	Compos.
ape rezid.	ape	supra-	ziduu	reziduu	distil-	(cond.)	distillat	(cond.)

Aug 20. Calcutta

CNT...0,13 40 165 10 34,96 CNT...0,045 5,04 12,6 12,5 CNT...0,0,78

Ballant de mātērīale

Intrat cu specie resid.	Rămas în reziduu (apele epulzate)	Separat în distilat (condensat)	Recuperat din apele rezid. în distilat (condensat)
kg/h	kg/h	kg/h	%
1000	100	100	100

70
36,4
15,6
52

3.7.3. Faza industrială

Ca urmare a faptului că instalația de fabricare a acrilonitrilului pe bază de acetilen și acid cianhidric de la Combinatul de Fibre Sintetice Săvinești, a devenit nerentabil după adoptarea procedeului de fabricare pe bază de propilen, amoniac și aer și urma să fie scoasă din funcțiune, s-a acceptat pentru aplicare industrială o variantă simplificată (mai puțin costisitoare) care se limită la eliminarea pierderilor de acrilonitruil cu apele reziduale. În acest scop apele reziduale s-au suprafăcălzit la temperatură de 135°C iar condensatul de la fază de expandare – condensare, având temperatură de $60 - 70^{\circ}\text{C}$, s-a reciclat la zona de epuizare a coloanelor de antrenare cu rectificare din instalația de fabricare a acrilonitrilului.

Aparatul de expandare – condensare industrial fig.24 / 38 / , având o capacitate de prelucrare de $40 \text{ m}^3/\text{h}$ ape reziduale, este format din douăzeci de elemente 1, (identice cu cel prezentat în fig.15) cu fereastră cu dublă înclinație 2, pentru bateria de duze 5, grupate în două baterii a zece elemente, cu o hotă comună de expandare 3, legată la un singur condensator 4, și o conductă colectoare de reziduu de distilare 6.

Rezultatele obținute și prezentate în tabelul 20, au fost omologate de Combinatul de Fibre Sintetice Săvinești.

Aparatul de expandare – condensare industrial, a fost experimentat și în vederea stabilirii eficienței de separare a acetaldehidcianhidrinei din apele reziduale suprafăcălzite la temperatură de 165°C (temperatură maximă ce se putea realiza la această instalație) și expandate la presiunea normală.

Rezultatele obținute sunt redate în tabelul 21.

4. CONTRIBUTII PRIVIND RECUPERAREA SI VALORIZIFICAREA CIANHIDRINELOR DIN REZIDUURILE APOASE

4.1. Procedeu de scindare alcalină a cianhidrinelor.

Procedeul constă în alcalinizarea soluțiilor apoase cu conținut de acetaldehidcianhidrină și acetoncianhidrină, la pH 9,5 - 10,5, cu o soluție de hidroxid de sodiu, de concentrația 20 - 25%, și antrenare concomitentă cu abur, la temperatura de 100°C , a aldehydei acetice respectiv acetonei, urmată de condensarea produsului de antrenare / 34, 43 /.

Că urmare a faptului că apele reziduale care stau la baza acestor experimentări au un conținut relativ ridicat de acrilonitril, scindarea alcalină a acetaldehidcianhidrinei este însoțită de reacțiile acrilonitrilului generate de bazicitatea mediului, reacții care duc la scăderea randamentelor de recuperare. Astfel, bazicitatea mediului catalizează reacția de hidroliză a acrilonitrilului. Pentru estimarea pierderilor de acrilonitril s-au făcut determinări cinetice privind reacția de hidroliză alcalină a acestuia.

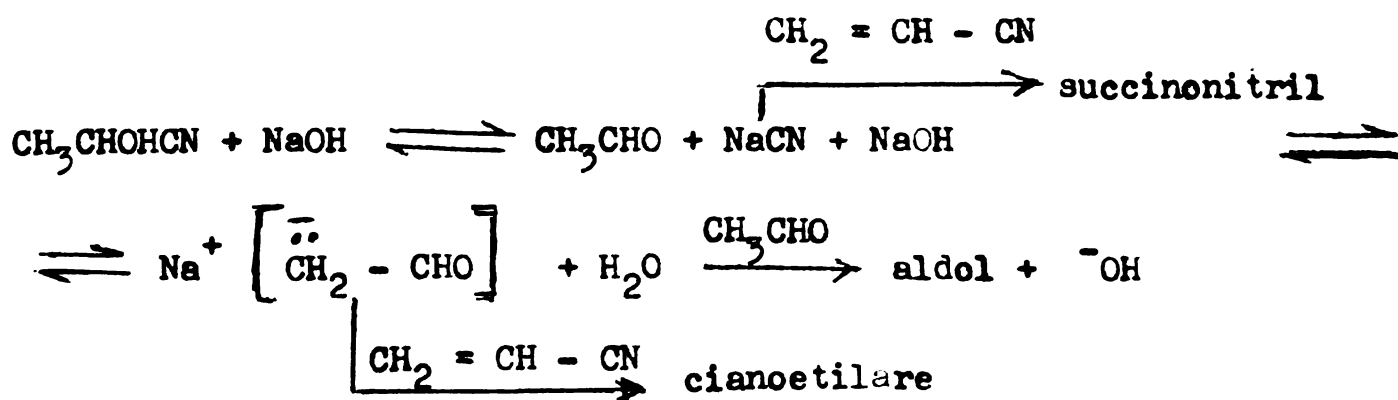
Măsurările cinetice, la temperatura de 100°C și pH 10, 11 și 12, s-au efectuat într-un balon termostatat cu refrigerent ascendent cu reflux total. Scăderea concentrației în acrilonitril s-a urmărit prin analize cromatografice. Înghețarea reacției la timpi respectivi s-a realizat prin răcirea rapidă a probelor colectate, concomitent cu neutralizarea ei. Rezultatele experimentale sunt redată în tabelul 22. La pH = 10, constanta de viteză determinată grafic are valoarea $k = 0,0328 \text{ min.}^{-1}$ / 34 /.

De asemenea pierderile de acrilonitril pot fi determinate și de următoarele reacții paralele cu reacțiile succeseive de eliminare și condensare aldolică, determinate de NaOH la acetaldehidcianhidrina:

TABELUL 22

Hidroliza alcalină a acrilonitrilului(ACN)
la temperatura de 100°C

temp min.	pH = 10 % ACN	pH = 11 % ACN	pH = 12 % ACN
0	1,156	1,719	1,335
2	1,151	1,658	1,127
5	1,140	1,567	1,020
7	1,038	1,491	0,869
10	0,970	1,307	0,624
15	0,964	1,304	0,434



(XXIX)

Aceste reacții au fost în mare măsură evitate, prin antrenarea (prealabilă) cu deflegmare a acrilonitrilului din concentratul apos de acetaldehidcianhidrină, obținut la supraîncălzirea apelor reziduale urmată de expandare și condensarea fazei de vaporii.

4.2. Instalație experimentală

Scindarea alcalină a acetaldehidcianhidrinei din concentratul apos, și separarea aldehydei acetice, s-a realizat la pilotul prezentat în figura 20. În continuare se prezintă fluxul tehnologic, în legătură cu fig. 20.

Concentratul apos de acetaldehidcianhidrină din rezervorul 6, este trimis cu pompa 7, în schimbătorul de căldură 8. Din schimbătorul de căldură 8, concentratul apos preîncălzit la temperatura de 100°C , intră în amestecătorul static cu șicare 9, unde se amestecă cu soluția de hidroxid de sodiu, de concentrație 25%, trimisă din rezervorul 13, cu pompa de dozare 14. Din amestecătorul 9, amestecul este dispersat printr-o pîlnie cu sită în coloana de antrenare cu abur 10. Temperaturile de lucru la fund, mijloc și vîrful coloanei sunt aceeași valoare, respectiv 100°C . Reziduul de antrenare, conținând cianuri de sodiu este colectat în rezervorul 15. Produsul de antrenare, respectiv aldehida acetica, trece în condensatorul 11 și este recepționat în rezervorul 12. Rezultatele obținute sunt redată în tabelele 23 și 24. Din datele prezentate rezultă că, în cazul instalației la care

TABEUL 22

Scindarea alcalină a acetaldihidcianhidrinei (CN^-) din concentratul apelor și separarea aldehidelor acetice (A.Ac) la instalația pilot

Nr. ord.	Compos. conc. apos.	Debit alim. col.	pH cond.	Compoz. fund col.	CN^- (acetald) (NaCN) cianh.)	Compoz., condensat		OBSERVAȚII
						A.Ac.	A.Cr.	
%		l/h		%	%	%	%	
1.	CN^- ... 0,623		9	0,497	2,93	11,10	0,051	Aldehida crotonică este notată A.Cr.
2.	A.Ac. echiv. 1,053	600	9,5	0,510	1,33	11,48	0,072	Reziduu de antrenare conține alături de NaCN(CN^-) următorii produsă:
3.			10	0,610	0,04	13,33	0,110	A.Ac. - 0,000150 - 0,000212%.
4.	ACN..... 0,015		10,5	0,610	0,04	13,20	0,152	A.Cr. - 0,000485 - 0,000556%.
								ACN - 0,000416 - 0,000502 concentrațiile producătorilor volatili s-au determinat cromatografic.

TABELUL 24

Mulțime de materiale la separarea producătorilor de scindare
aloeljnă a aldehidcloridină pe baza rezultatelor pro-
genate în tabelul 23

Nr. Intrat în coloana de ort. antranare	Ramas în reziduu CN ⁻ (NaCN)	Separat în condensat -		A.AC (acetald.cianh.)	$\frac{\text{kg}}{\text{h}}$ (aldehidă acetilică)
		ON	A.C.		
		kg/h	kg/h		
1.		3,980	1,760		6,700
2.	CN ⁻ (acetald.cianh.):	4,084		0,800	
3.		4,984	4,880	0,024	8,040
4.	A.AC.ochiv.: 8,424		4,880	0,024	7,920

s-au făcut experimentările, la valori ale pH-ului, în coloana de antrenare, mai mici de 10, o cantitate însemnată de acetaldehidcianhidrină nu este scindată și respectiv este antrenată și separată în condensat. La pH = 10 scindarea este practic totală și randamentul de recuperare pentru aldehida acetică este maxim, respectiv 95%. Odată cu creșterea pH-ului peste valoarea 10, randamentul de recuperare scade datorită formării aldehidei crotонice în cantități din ce în ce mai mari. Randamentul de recuperare al acidului cianhidric, este de asemenea maxim, respectiv 98%, începând cu pH-ul 10. Se menționează că la concentrații ale soluției de hidroxid de sodiu de peste 25%, randamentele de recuperare ale aldehidei acetice scad datorită condensărilor crotонice și respectiv formării de răgini macromoleculare.

Din datele prezentate în tabelul 23, se remarcă puritatea destul de avansată a soluției de cianuri de sodiu, rezultată ca reziduu de antrenare, care poate fi utilizată ca atare, de exemplu la fabricarea clorurii de cianuril, sau la generarea acidului cianhidric.

Din studiul cinetic al reacțiilor succesive determinate de bazicitatea mediului, la acetaldehidcianhidrină și acetoncianhidrină, rezultă că acetona se poate separa cu randamente mai mari decât aldehida acetică, reacția succesivă de eliminare și condensare aldolică având, în cazul acesteia, timpul de inductie, $\delta_{\text{max.}}$, respectiv concentrația maximă $[x]_{\text{max.}}$, mai mare, relațiile (33) și (35).

5. CONCLUZII FINALE

Din cercetarea literaturii și datele experimentale obținute și prezentate în lucrare, se pot trage următoarele concluzii:

1. Apele reziduale finale de la fabricarea acrilonitrilului, atât pe bază de acetilen și acid cianhidric cât și prin amonoxidarea propilenei, conțin cianhidrine, în medie 0,13% exprimate în ion cian, în special acetaldehidcianhidrină și acetoncianhidrină, produși recuperabili care pot fi valorificate.

2. Conținutul relativ ridicat de cianhidrine din apele reziduale este determinat de dificultatea de separare a acestora din amestecuri apoase prin procese de distilare respectiv rectificare, ca urmare a intervenției echilibrului cianhidri^{nă} / / eliminare - adiție, atât în fază lichidă cât și în fază gazoasă (în cazul acetaldehidcianhidrinei). / /

3. Procedeele cunoscute de recuperare și valorificare a cianhidrinelor din reziduuri apoase se bazează, în general, pe scindarea alcalină a cianhidrinelor în componente și respectiv separarea acestora. Aceste procedee nu sunt practicabile, respectiv rentabile, în cazul apelor reziduale finale având o diluție prea mare.

4. Datele de literatură privind cinetica și mecanismele reacțiilor asociate eliminare - adiție la cianhidrine, se rezumă, în general, la studiul global al echilibrelor acestor reacții în fază lichidă. În ceea ce privește eliminarea propriu zisă se găsesc puține date, studiul experimental și respectiv măsurările cinetice fiind, în mare măsură, limitate de reacțiile succeseive de condensare a componentelor carbonilice și de polimerizare și hidroliză a acidului cianhidric.

5. Contribuțiiile originale privind reacțiile asociate eliminare - adiție sunt:

- stabilirea cineticii și propunere de mecanism pentru reacția de adiție a acidului cianhidric la aldehyda acetică în

fază gazoasă. Astfel, adiția are loc după o cinetică de ordinul 3, într-o primă etapă rapidă formându-se, printr-un proces de echilibru, un complex de asociere moleculară între acidul cianhidric și aldehida acetică. Viteza de reacție scade ușor cu temperatura. Acidul cianhidric formează un complex și cu acetona care însă nu reacționează mai departe (în lipsa unor catalizatori) pentru a forma acetoncianhidrina.

- stabilirea cineticii și a mecanismelor de reacție la eliminările din acetaldehidcianhidrină și acetoncianhidrină în medii polare. Prin controlul kinetic al reacției de eliminare, realizat prin expulzarea componentelor de eliminare din sistemul de reacție la temperaturi de peste 80°C , s-au putut efectua măsurători cinetice la pH-uri între puternic acid și puternic bazic. Astfel, s-a putut identifica, pentru prima oară la cianhidrine, un mecanism sincron de eliminare unimoleculară și de asemenea un mecanism de tip E 1 (în medii puternic acide).

- stabilirea cineticii reacțiilor succesive de eliminare și condensare aldolică la acetaldehidcianhidrina și acetoncianhidrină, determinate de baze tari în mediu apăs. Astfel, s-au stabilit relațiile pentru calculul timpului de inducție și condițiile pentru obținerea concentrațiilor maxime ale produsilor intermediari, aldehida acetică și acetona. Studiul experimental s-a bazat pe scindarea alcalină a acetaldehidcianhidrinei concomitent cu antrenarea cu abur, și respectiv separarea, aldehydei acetice din sistemul de reacție.

6. Contribuțiile originale privind tehnica separării cianhidrinelor din reziduurile apoase prin distilare sunt:

- elaborarea unor procedee și aparate de separare prin vaporizare adiabatică, respectiv prin "supraîncălzire - expandare - condensare" (cu posibilități de aplicare și la alte amestecuri) a căror eficiență se datorează eliminării, în mare măsură, a reacției de reformare a cianhidrinelor în procesul de distilare ca urmare a vitezelor mari de vaporizare și de separare a fazelor lichide de fază de vaporii. Aceste procedee și aparate, brevetate și experimentate la scară pilot și industrial, permit separarea cianhidrine-

lor cu randamente de 70 - 87% , într-un condensat apos reprezentând 12,5 - 15,4% din volumul apelor reziduale.

- stabilirea unor relații pentru calcule tehnice la proceeedele de distilare prin vaporizare adiabată elaborate.

7. Procedeul brevetat și experimentat (la scară pilot capacitate 800 l/h) de scindare alcalină a cianhidrinelor din reziduuri apoase, respectiv din condensatul separat la distilare prin vaporizare adiabată, permite recuperarea componentei carbonilice și a acidului cianhidric cu randamente de circa 95%.

B I B L I O G R A F I E

1. Asahi Chemical Ind., brevet britanic, 948014(1964)
2. Farbenfabriken Bayer AG., brevet SUA, 3280167 (1966)
3. Knapsack Griesheim AG., brevet RFG, 1189989 (1965)
4. Asahi Chemical Ind., brevet SUA, 3164626 (1965)
5. Knapsack Griesheim AG., brevet britanic, 947364 (1964)
6. Montecatini Edison Spa., brevet RDG, 55943 (1967)
7. Farbenfabriken Bayer AG., brevet austrian, 225687 (1966)
8. OSW, brevet SUA, 2807573 (1957)
9. OSW, brevet britanic, 719911 (1954)
10. Goodrich Co., brevet SUA, 3326961 (1967)
11. E., Guccione., Chem. Engng., 72, 125 (1965)
12. Distillers Co Ltd., brevet SUA, 3051630 (1962)
13. Distillers Co Ltd., brevet framcez, 1285761 (1962)
14. Distillers Co Ltd., brevet britanic, 840831 (1962)
15. Monsanto Chemical Co., brevet SUA, 2998443 (1961)
16. Montecatini, brevet italian, 509993 (1955)
17. Du Pont, brevet SUA, 3189642 (1965)
18. Monsanto Chem. Co., brevet RFG, 949739 (1956)
19. National Res Co., brevet SUA, 2748158 (1956)
20. Montecatini, brevet RFG, 960193 (1957)
21. Montecatini, brevet SUA, 2796426 (1957)
22. Escambia Chemical Corp., brevet SUA, 2780640 (1957)
23. Escambia Chemical Corp., brevet SUA, 2840592 (1958)
24. Farbenfabriken Bayer AG., brevet SUA, 2854473 (1958)
25. Du Pont, brevet RFG, 1180758 (1964)
26. Escambia Chemical Corp., brevet britanic, 790462 (1958)
27. H.J., Zimmer, brevet RFG, 1090195 (1960)

28. Du Pont, brevet SUA, 3053881 (1962)
29. H.J., Zimmer, brevet SUA, 3114764 (1963)
30. P.W. Sherwood, brevet britanic, 942570 (1963)
31. A.Pascariu,V.Jumanca, brevet RSR, 57046 (1972)
32. Gh.Frunză, Rev.Chimie, 17, 131 (1966)
33. Leamington Spa., brevet britanic, 965351(1964)
34. V.Jumanca, Rev.Chimie,26, 273 (1975)
35. V.Jumanca,M.Igna, A.Pascariu și M.Oancă,brevet RSR,55854(1970)
36. V.Jumanca, brevet RSR, 57507 (1973)
37. V.Jumanca, brevet RSR, 61043 (1975)
38. V.Jumanca, brevet RSR, 65259 (1976)
39. V.Jumanca, B.Antoniuc, N.Antohe,D.Borcia și E.,Kiss,
brevet RSR, 61718 (1975)
40. V.Jumanca,N.Săndescu, brevet RSR, 65047 (1977)
41. V.Jumanca, Rev.Chimie, 25, 27, (1974)
42. V.Jumanca, Rev.Chimie, 27, 210 (1976)
43. V.Jumanca,A.Pascariu,R.Balogh și V.Ulmeanu,brevet RSR,55904(1972)
44. O.A.Reutov "Probleme teoretice ale chimiei organice "
Ed.Academiei Republicii Populare Române,Bucuresti,1964, p.275
45. F.,Badea "Mecanism de reacție în chimia organică " Ed.II-a,
Ed.Stiințifică, Bucuresti,1973, p.86,150,194,279,284,444,462,
475,478,479,537.
46. F.,Badea "Reaction Mechanisms in Organic Chemistry,Abacus Press,
Tunbridge Wells,Kent, 1977, p.191, 515
47. N.V.,Sidgwick " The Organic Chemistry of Nitrogen"Third Edition,
Clarendon Press, Oxford, 1966, p.449, 456.
48. I.,Ernest, "Bindung, Struktur und Reaktionsmechanismen in der
Organischen Chemie"Springer-Verlag,Wien,New York, 1972, p.195.
49. G.,Fodor "Organische Chemie ",Band 2, Veb Deutscher Verlag
Der Wissenschaften, Berlin, 1965, p.848.
50. J.,March "Advanced Organic Chemistry,Reactions,Mechanisms and
Structure" MC Graw-Hill, New York, 1977, p.873.

51. L.F., Fieser, M. Fieser "Organische Chemie" 2 Verbesserte Auflage, Verlag Chemie, Weinheim, 1972, p.493.
52. L.F., Fieser, M., Fieser "Advanced Organic Chemistry" Reinhold Publishing Corporation, London, 1962, p.365, 418.
53. O., Wichterle "Allgemeine Organische Chemie" Akademie-Verlag, Berlin, 1959, p.567."
54. C.D., Nenitescu "Chimie Organică" volum 1, Ed.VI-a, Editura Didactică și Pedagogică, București, 1966, p.80, 157, 658.
55. C.D., Nenitescu "Chimie Generală" Ed.II-a, Ed.Tehnică, București, 1972, p.192.
56. L., Pauling "Chimie Generală" Ed.Stiințifică, București, 1972, p.192.
57. E.S., Gould "Mechanismus und Struktur in der organischen Chemie, Verlag Chemie, Gm b H., Weinheim /Bergstr., 1962, p.249.
58. Kirk-Othmer, Encyclopedia of Chemical Technology, volume 6, Second Edition, Interscience Publishers a division of John Wiley, New York, 1965, p.634, 668 - 672.
59. J.A., Marshall, L.J., Karas, J.Amer.Chem. Soc., 100, 3615(1978)
60. Wei-Mei, Ching; R.G., Kallen, J.Amer.Chem.Soc., 100, 6119(1978)
61. Rohm and Haas Co., brevet RFG, 811952(1951)
62. Rohm and Haas Co., brevet SUA, 4130580(1978)
63. Société d'Electro-Chimie, d'Electro-Métallurgie et des Aciereries Électriques d'Ugine, brevet SUA, 3301890(1967)
64. Société d'Electro-Chimie etc., brevet francez, 1350752(1963)
65. Standard Oil Company, brevet britanic, 965351(1964)
66. Distillers Co., brevet britanic, 1012013(1965)
67. Du Pont, brevet SUA, 2416624 (1947)
68. American Cyanamid Co., brevet britanic 834265(1960)
69. M., Hoffman, brevet SUA, 2672434 (1954)
70. E., Anca, V. Saveluc, G., Nicolăită, și G., Stoian, brevet RSR 51684 (1969)

71. American Cyanamid Co., brevet SUA, 1013672 (1952)
72. Lonza Akt.Ges., brevet RFG, 1174303 (1964)
73. Société d'Electro-Chimie etc., brevet britanic, 1022426(1966)
74. Y.S.,Karev, V.S.,Antipin, V.P.,Krupnov, L.A.,Kiryukhin,
brevet URSS, 524797 (1979);
Chem.Abstr. 90, 151624 r (1979)
75. L.Y.,Sklyarov, V.I.,Gunar, brevet URSS, 530023(1976);Chem.
Abstr. V. 86, 70992 Z, (1977)
76. Universal Oil Products Co.,brevet japonez, 21721(1961)
77. Goodrich Co.,brevet SUA, 2868828 (1958)
78. T.,Rez, S.,Matache, G.,Frunză, brevet RDG, 43189 (1966)
79. Société d'Electro-Chimie etc., brevet francez,1392660(1965)
- 80.Monsanto Chemical Co., brevet SUA, 2664396, (1953)
81. A.G.,Guseinov, V.A.,Linetkii,Khim.Prom., 1969, 264
82. D.,Zăvoianu, F.,Cocu, Rev.Chimie, 18, 324 (1967)
83. D.,Zăvoianu, A.Mori, Rev.Chimie, 18, 587 (1967)
84. V.A.,Linetki, B.R.,Seredriakov, Khim Prom., 1965, 498
85. M.,Kurabayashi,K.,Yanagiya, T.,Kamakura, J.Chem.Soc.Japan,
Ind.Chem.Sect., 70, 352 (1967)
86. V.,Jumanca, Rev.Chimie, 30, 528 (1979)
87. "Notiuni de cinetică", Traducere-prelucrare din limba rusă,
Ed.Tehnică, Bucureşti, 1963, p.121.
88. Landolt-Börnstein,Zahlenwerte und Funktionen aus Physik.
Astronomie.Geophysik.Tehnik, II Band, 4 Teil, Berlin,
Springer - Verlag, 1961, p.19-23, 26-27.
89. R.,Vîlcu "Termodinamică Chimică" Ed.Tehnică, Bucureşti,
1975, p.146, 148.
90. S.D.,Beakov "Calcule tehnico-chimice" Ed.II-a, Ed.Tehnică,
Bucureşti, 1970, p.106.
91. G.,Niac "Chimie Fizică" Ed.Didactică și Pedagogică,Bucureşti,
1966, p.222.
92. A.,Glück "Metode matematice în industria chimică" Ed.Tehnică,
Bucureşti, 1971, p.16. 118.

93. Ullmanns Encyklopädie der technischen chemie, 5 Band,
Urban Schwarzenberg, München-Berlin, 1954, p.628.
94. Ullmanns Encyklopädie der technischen chemie, 3 Band,
Urban Schwarzenberg, München-Berlin, 1953, p.2, 56
95. Ullmanns Encyklopädie der technischen chemie, 12 Band,
Urban Schwarzenberg, München-Berlin, 1960, p.759
96. V.Jumanca, Rev.Chimie, 30, 983 (1979)
97. F.,Badea, Studii Cercetări Chim.,, 14, 501, (1966)
98. J.,Kunisch, L.,Döhring, G.,Hermann, "Organische Chemie"
Veb Deutscher Verlag für Grundstoffindustrie,Leipzig,1966,p.197
99. P.D.,Bartlett,I.,Pöcksl,J.Amer.Chem.Soc.,60,1585 (1938)
100. P.D.,Bartlett,R.W.,Nebel,J.Amer.Chem.Soc.,62,1345 (1940)
101. Y.,Pocker,J.Chem.Soc, 1959, 1179
102. C.K.,Ingold "Structure and Mechanism in Organic Chemistry"
Cornell University press,Ithaca, 1953, p.345, 453.
103. E.D. Hughes, C.K.,Ingold, J.Chem.Soc, 1935, 244.
104. K.A.,Cooper, M.L.,Dhar, E.D.,Hughes,C.K.,Ingold, B.J.,Mac
Nulty, L.I.,Woolf, J.Chem.Soc, 1948, 2043.
105. D.V.,Banthorpe,"Elimination Reactions Elsevier",Amsterdam,
1963, p.40
106. J.,Steigman, L.P.,Hammett, J.Amer.Chem.Soc, 59, 2536 (1937)
107. L.P.,Hammett "Physical Organic Chemistry" MC.Graw-Hill,
New York, 1940, p.52.
108. B.Tchoubar, Bull.Soc.Chim. France, 1964, 2059.
109. D.J.,Cram,Chem.Engng, 41, 92 (1963)
110. E.A.S.,Cavell, J.Chem.Soc., 1958, 4217
111. E.A.S.,Cavell, J.A.,Speed, J.Chem.Soc, 1960, 1453.
112. C.,Reichard "Lösungsmittel-Effekte in der organischen Chemie"
Chemische Taschenbücher, vol.4,Verlag Chemie, 1969, p.142, 160.
113. C.,Liteanu "Chimie analitică cantitativă - volumetrie"
Ed.Didactică și Pedagogică,București, 1969, p.500, 548.



114. I.A., Schneider "Cinetică Chimică" Ed.Didactică și Pedagogică, București, 1974, p.16, 19, 134.
115. V.Jumanca, Rev.de Chimie, 29, 1022 (1978)
116. R.Breslow "Organic Reaction Mechanism" W.A. Benjamin, inc. New York, Amsterdam, 1966, p.105, 173.
117. V.I., Robu "Distilare-Fracționare" Ed.Tehnică ,București, 1963, p.140.
118. Em.A.Bratu "Operații și utilaje în industria chimică" vol.2, Ed.Tehnică, 1961, p.388, 397.
119. Kirk-Othmer, Encyclopedia of. Chemical Technology, Second Edition, vol.3, Interscience Publishers a division of John Wiley, New York, 1964, p.370.
120. K.F., Pavlov, P.G., Romankov, A.A., Noskov "Exerciții și probleme de procese și aparate în tehnologia chimică" Traducere din limba rusă după ediția a 7-a, Ed.Tehnică, București 1973, p.619, 646, 658.
121. V.Jumanca, I.Geczi, A.Vizitiu, brevet RSR, 51191(1974).